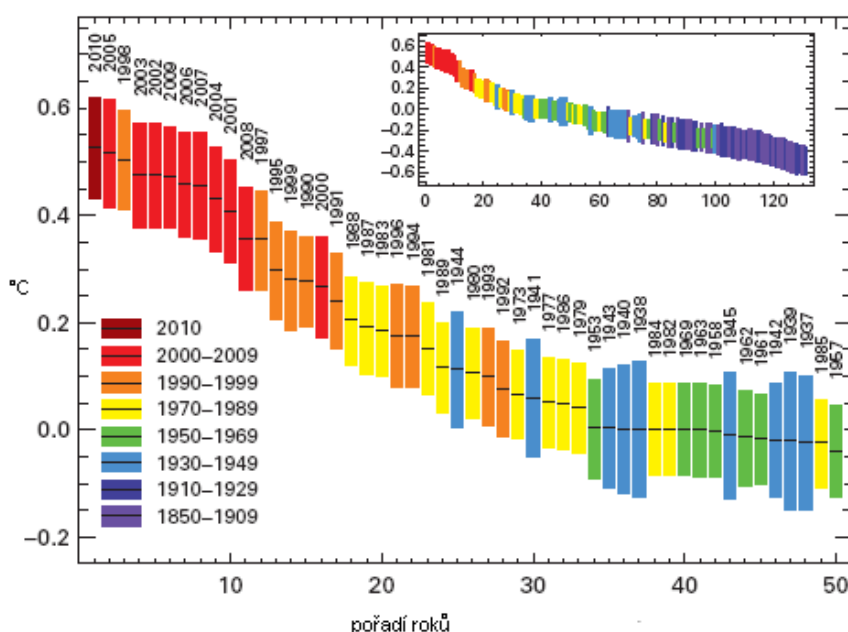


Příloha A

Změny klimatu za posledních 100 let

Níže uvedené shrnutí změn klimatu za posledních 100 let bylo vypracováno na základě zpráv IPCC (2007) a WMO (2011). Podle vyhodnocení údajů za rok 2010 předními klimatickými centry byl rok 2010 nejteplejším rokem od roku 1850. Globální roční průměr teploty vzduchu² pro rok 2010 byl o $(0,53 \pm 0,09)$ °C vyšší než průměr za období 1961–1990. Po roce 2010 jsou dalšími nejteplejšími roky 2005, 1998, 2003 a 2002 (obr. a.1) (WMO, 2011).

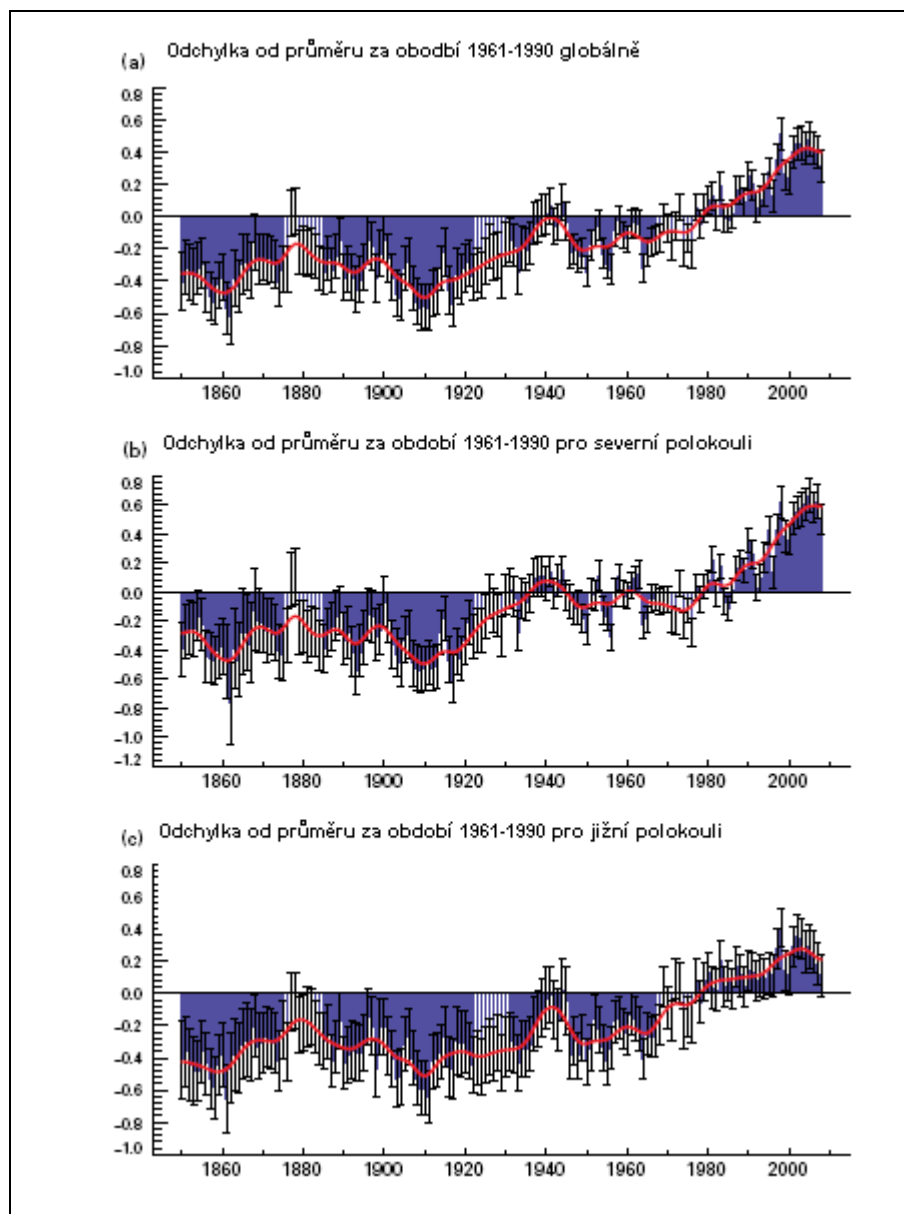


Obr. a.1: Globální průměrné teploty padesáti nejteplejších roků, sestupně seřazených podle teploty, výčet je od roku 1850 do roku 2010. Barevně znázorněné odchylky udávají limit 95% jistoty pro daný rok. Na ose x je pořadí jednotlivých roků, na ose y odchylka ve °C oproti období 1961–1990. Obrázek převzat z WMO (2011).

Změny klimatu jsou způsobovány změnami sluneční činnosti, změnami parametrů oběžné dráhy Země kolem Slunce, změnami v rozložení pevnin a oceánů, horotvornými procesy, sopečnou činností, změnami ve složení atmosféry a biosféry, změnami fyzikálních a chemických vlastností oceánů a oceánské cirkulace, vnitřní variabilitou a vlivem činnosti člověka obecně. Zvyšování střední teploty klimatického systému v průběhu posledních cca 100 let je nepochybné a prokázané řadou dlouhodobých pozorování ať už v regionálním, kontinentálním či oceánickém měřítku. Jedná se především o pozorovaný růst globálních průměrných troposférických teplot, růst teploty povrchu oceánu (SST), výrazné odtávání

² Průměr teploty vzduchu u zemského povrchu a teploty povrchu oceánu podle Hadley Centra (WMO, 2011).

sněhové a ledovcové pokrývky Země, změny ve srážkových úhrnech a salinitě světového oceánu, rostoucí úroveň hladiny oceánu a v neposlední řadě také o změny charakteristik projevů extrémního počasí – extrémní sucha, intenzivní srážky, horké vlny, intenzita tropických cyklon. Mezi nejdůležitější poznatky IV. hodnotící zprávy (IPCC, 2007) patří ty, které jsou níže uvedené.



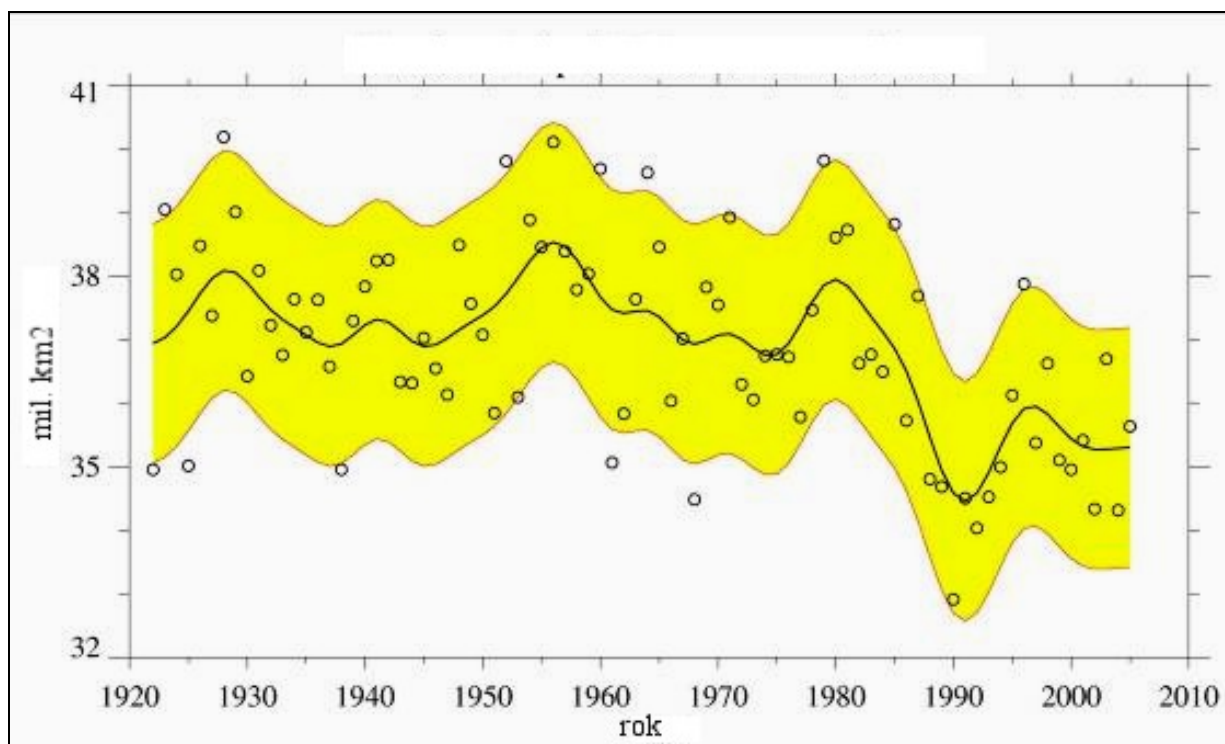
Obr. a.2: Průběh odchylky ročního globálního průměru teploty pevniny a oceánu za období 1850–2008 od průměru za období 1961–1990 (a), pro severní polokouli (b) a jižní polokouli (c). Na ose x je časová škála, na ose y odchylky daného roku ve °C od průměru teploty za období 1961–1990. Obrázek převzat z IPCC (2007).

Teplota se nezvyšovala rovnoměrně a ne na všech místech Země stejně. Obecně se dá říci, že nad pevninami rostla teplota rychleji než nad oceány a rychleji se oteplovala severní polokoule než jižní (viz obr. a.2). Na některých místech nebyl trend oteplování zaznamenán vůbec nebo byl statisticky nevýznamný, na některých se projevil trend opačný – docházelo

k ochlazování. V globálním průměru ale na většině území světa převládá trend vedoucí k oteplování.

Rychlost růstu globálních průměrných teplot se zvyšovala, což je patrné také z obrázku a.2. Mezi 12 nejteplejších let od roku 1860 patřily téměř výhradně roky konce 90. let 20. století a na začátku 21. století. Jedná se o roky 2010, 1998, 2005, 2003, 2002, 2004, 2006, 2001, 1997, 2008, 1995, 1999, 1990 a 2000.

Mezi další poznatky patří ten, že průměrné teploty v Arktidě se za posledních 100 let zvyšovaly ve srovnání s globálním průměrem téměř dvojnásobnou rychlostí. Došlo také k poklesu rozsahu sněhové pokrývky, kdy např. jarní pokrývka zmenšila v průběhu 80. let 20. století svoji rozlohu o 5 %, od 90. let se už udržuje na přibližně stejné úrovni (viz obr. a.3).



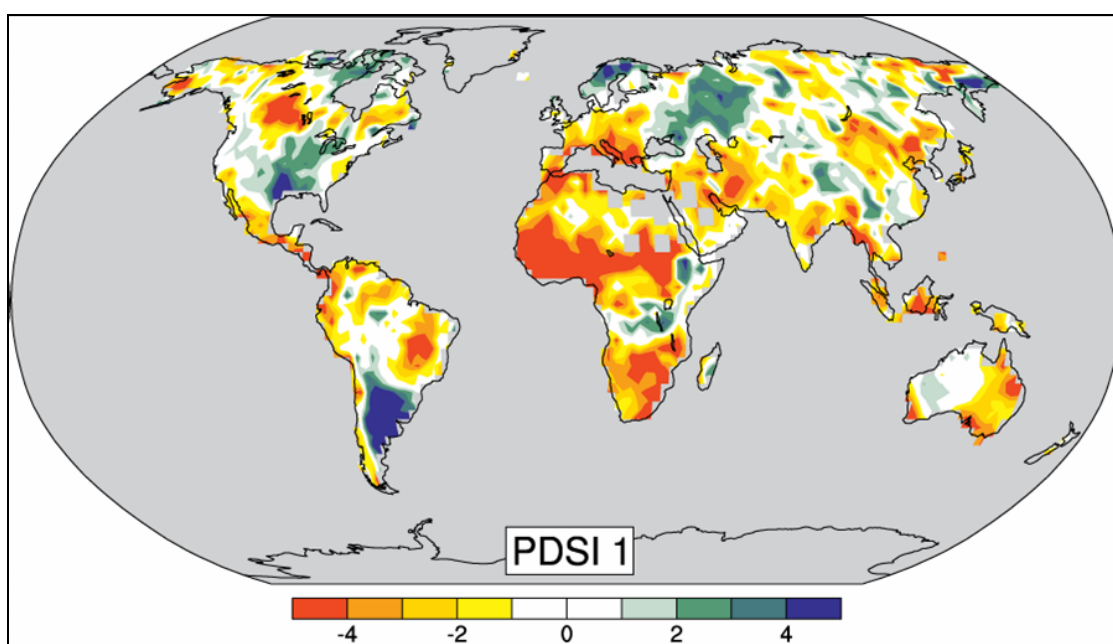
Obr. a.3: Rozloha jarní sněhové pokrývky (březen až duben) a její změny na severní polokouli v období 1920–2005 z měření z meteorologických stanic (do roku 1972) a družicových měření (od roku 1972 včetně). Hlazená křivka představuje desetileté změny a žlutá oblast rozsah dat v konfidenčním intervalu 5 % až 95 %. Obrázek převzat z IPCC (2007).

Rostla také teplota věčně zmrzlé půdy (permafrostu) v Arktidě, od 80. let 20. století v průměru až o 3 °C. Také rozloha věčně zmrzlé půdy se zmenšuje, maximální plocha se sezónně zmrzlým povrchem klesla od roku 1900 na severní polokouli o 7 %.

Změny se odrazily také na horských ledovcích a sněhové pokrývce na obou polokoulích, které v průměru zmenšily svůj povrch, a také na rozloze a tloušťce mořského ledu severní

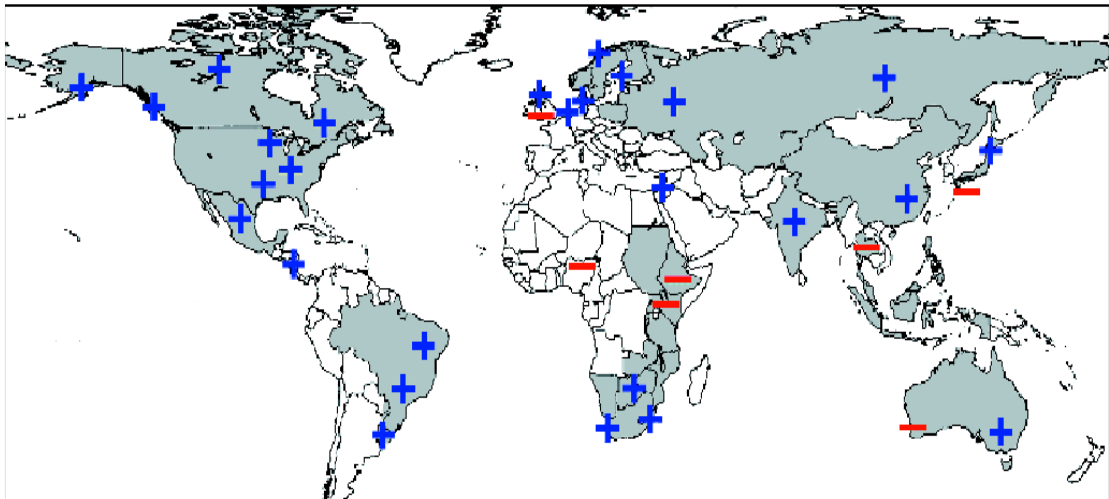
polokoule. K nejrychlejšímu úbytku mořského ledu dochází právě v Arktidě, kde se původně očekávalo jeho téměř kompletní odtávání koncem léta na konci 21. století. Tento jev je pozorován, i když ještě ne v úplné míře, již v současnosti. Změny na antarktickém pevninském ledovci, související s růstem průměrné globální teploty vzduchu u zemského povrchu, zatím pozorovány nebyly, spíše je očekáváno jeho zvětšování v důsledku přibývajících srážek.

Průměrná teplota světového oceánu stoupá, změny byly pozorovány v hloubkách minimálně do 3000 m. Ve větších hloubkách jsou změny statisticky neprůkazné. Především růst teploty oceánů a jejich objemová roztažnost, v menší míře také výše uvedené odtávání ledovců a mořského ledu, vedou ke zvyšování hladiny světového oceánu. Celkové zvýšení hladiny za 20. století je odhadováno na 0,17 m (0,12 až 0,22 m).



Obr. a.4: Prostorové rozložení změn měsíčního Palmerova indexu (Palmer Drought Severity Index) za období 1900–2002. Obrázek převzat z IPCC (2007).

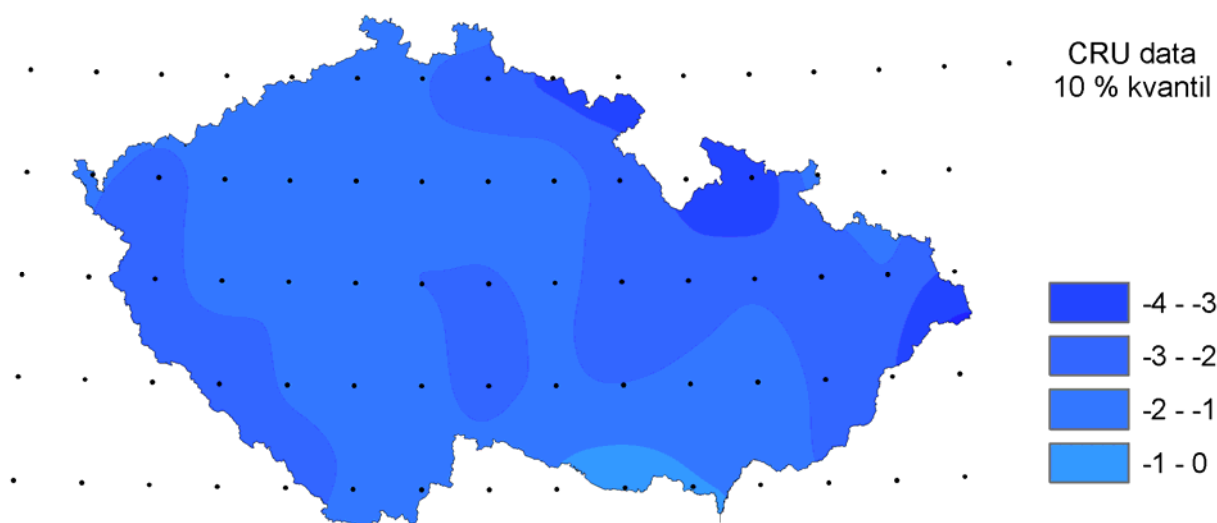
K dalším pozorovaným změnám patří také významný nárůst srážek ve východní části severní a jižní Ameriky, v severní Evropě a v severní a centrální Asii, dále vysychání oblastí Sahelu v Africe, ve Středomoří, v jižní Africe a v některých oblastech jižní Asie (viz obr. a.4). Od roku 1970 bylo také zaznamenáno delší a intenzivnější období sucha v subtropických a tropických oblastech. Z obrázku a.5 je také patrné, že se zvýšila četnost výskytu intenzivních srážek nad většinou pevninských oblastí, která odpovídá růstu průměrné globální teploty a obsahu vodní páry v atmosféře.



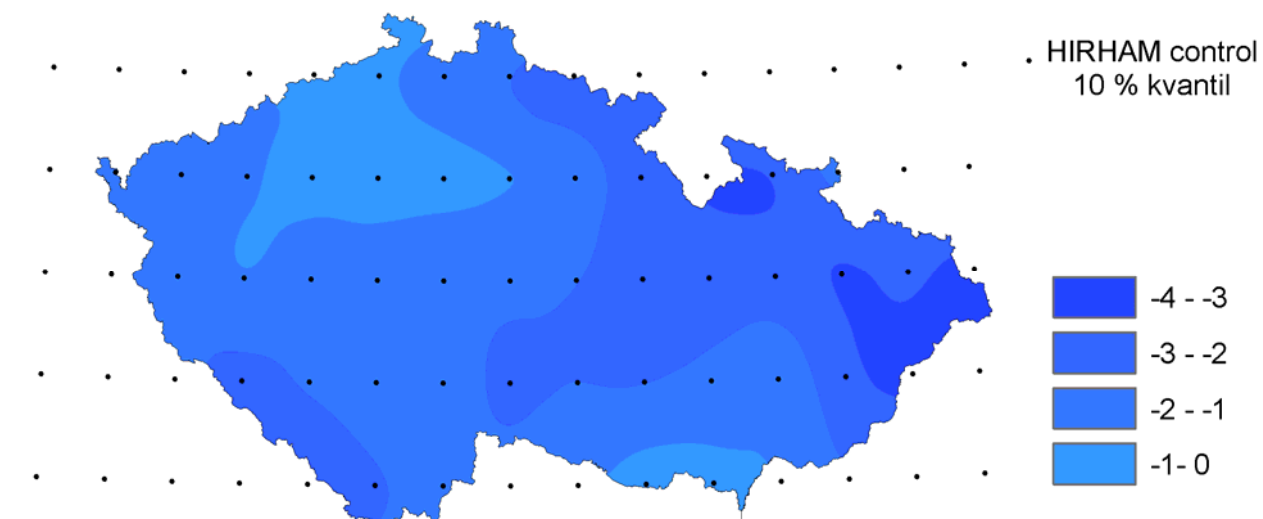
Obr. a.5: Oblasti s výraznými změnami intenzivních srážek (s pravděpodobností vyšší než 95 %, šedě) a velmi intenzivních srážek (nad 99%, znaménka + a -) v jednotlivých částech světa. Obrázek převzat z IPCC (2007).

Tolik k výčtu charakteristik, u kterých byla zaznamenána v průběhu posledních přibližně 100 let statisticky významná změna. V několika dalších charakteristikách změny pozorovány nebyly, například ve výskytu extrémních jevů – tornád, prachových bouří, krup, bleskových výbojů a u již zmíněného Antarktického pevninského ledovce, jehož teplota je natolik nízká, že oteplení za posledních 100 let jeho statisticky významný úbytek nezpůsobilo. Také rozsah mořského ledu v Antarktidě stále vykazuje meziroční variabilitu a lokální změny bez statisticky významných trendů.

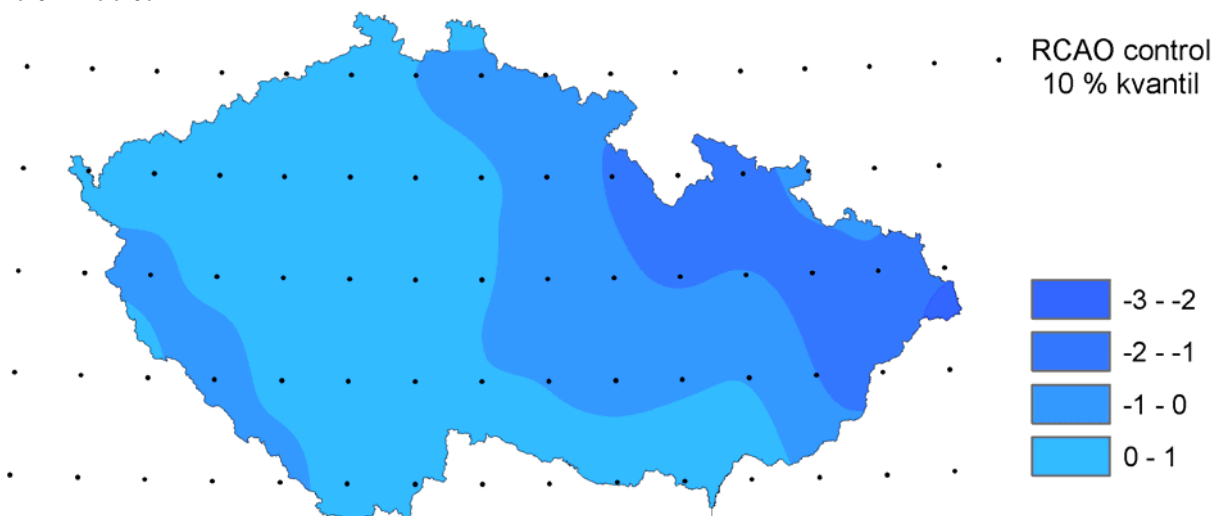
Příloha B



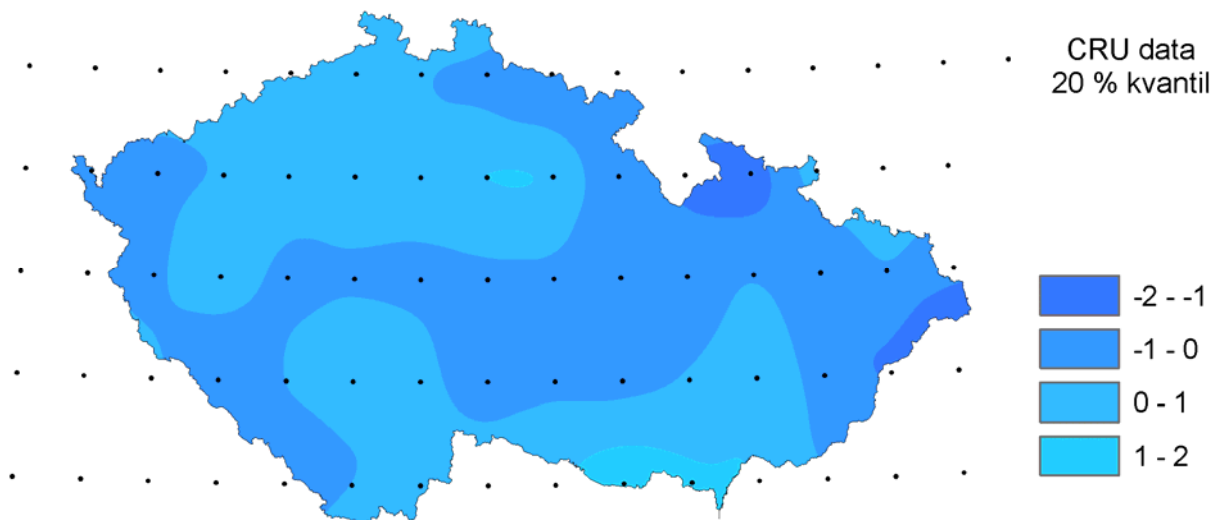
Obr. b.1: Hodnoty 10% kvantilů průměrné měsíční teploty podle CRU dat za období 1961–1990.



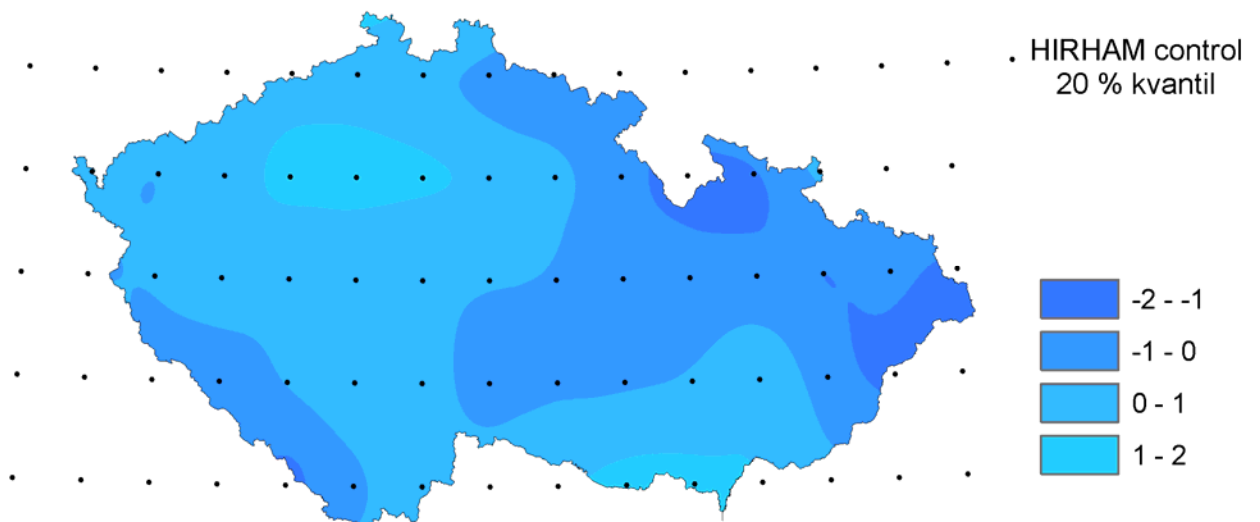
Obr. b.2: Hodnoty 10% kvantilů průměrné měsíční teploty podle modelu HIRHAM za období 1961–1990.



Obr. b.3: Hodnoty 10% kvantilů průměrné měsíční teploty podle modelu RCAO za období 1961–1990.



Obr. b.4: Hodnoty 20% kvantilů průměrné měsíční teploty podle CRU dat za období 1961–1990.



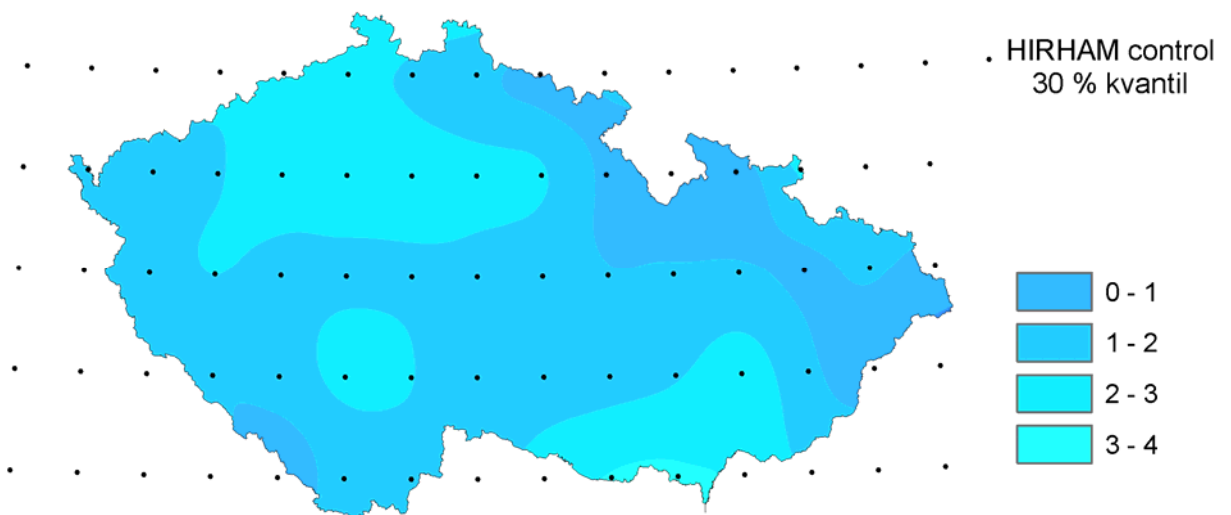
Obr. b.5: Hodnoty 20% kvantilů průměrné měsíční teploty podle modelu HIRHAM za období 1961–1990.



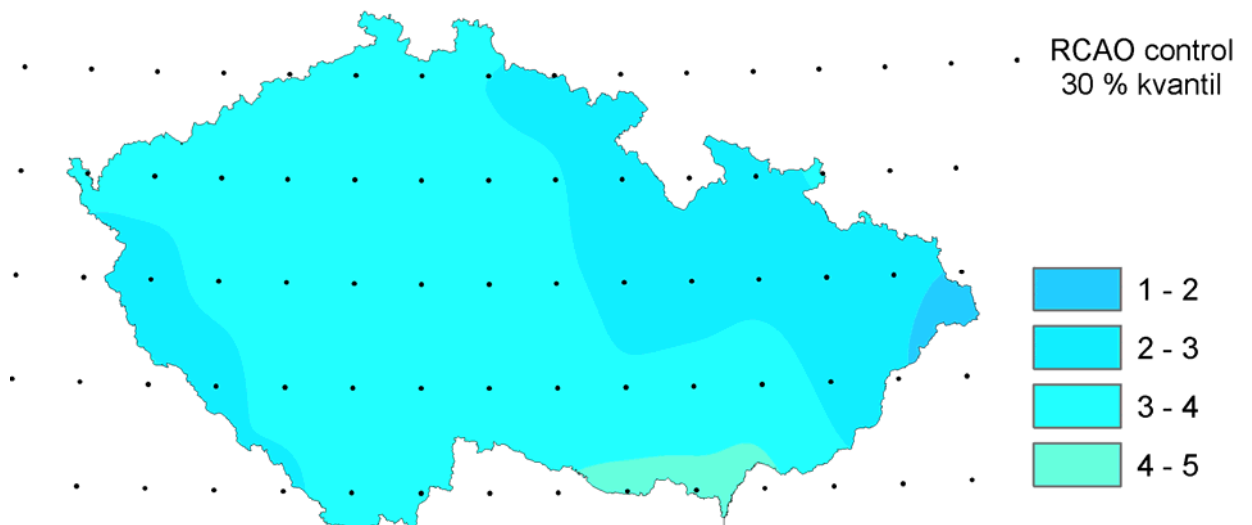
Obr. b.6: Hodnoty 20% kvantilů průměrné měsíční teploty podle modelu RCAO za období 1961–1990.



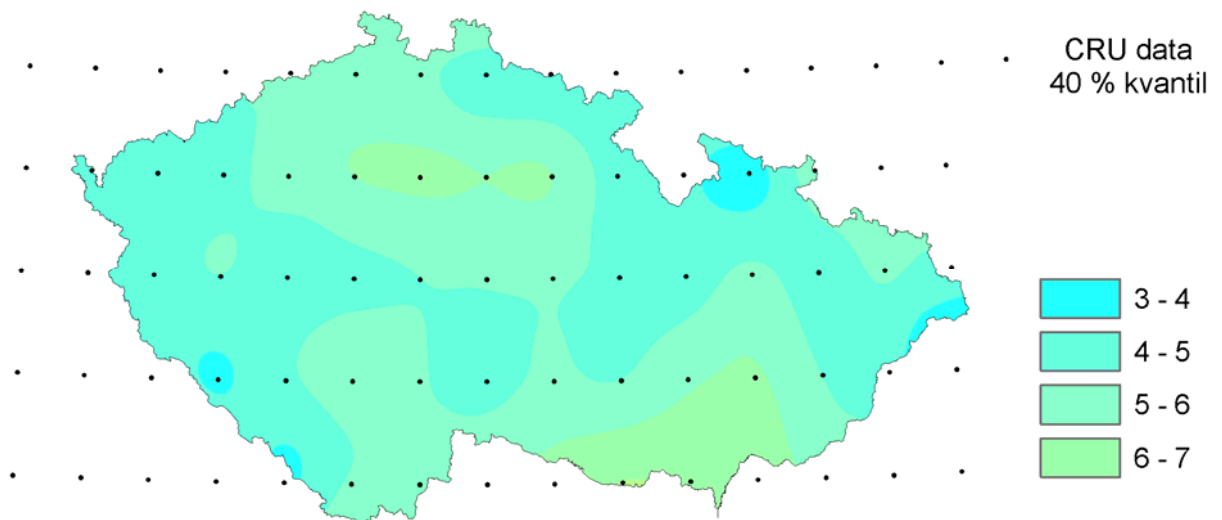
Obr. b.7: Hodnoty 30% kvantilů průměrné měsíční teploty podle CRU dat za období 1961–1990.



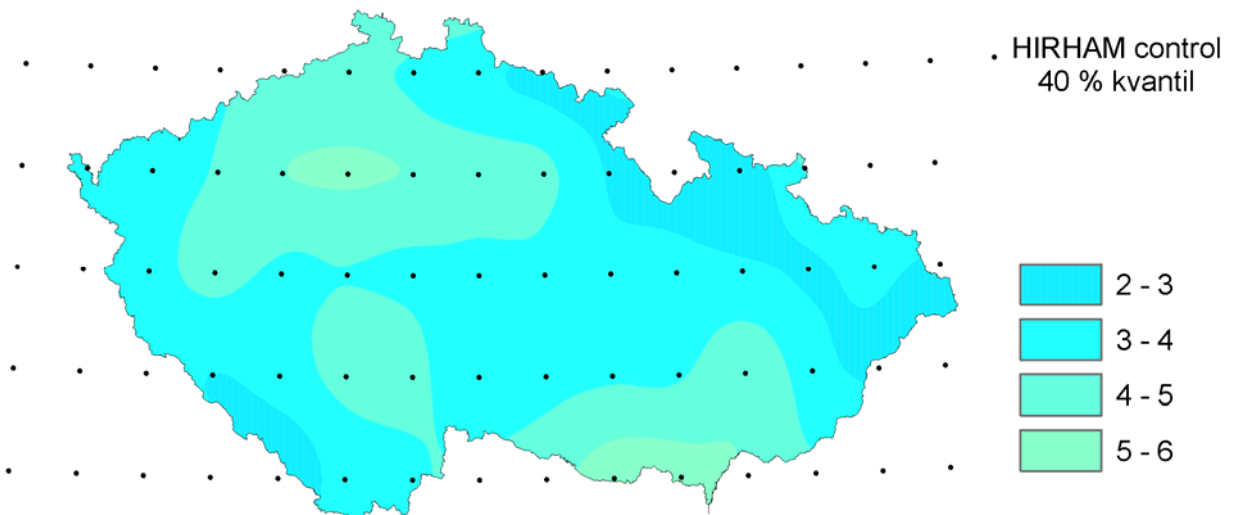
Obr. b.8: Hodnoty 30% kvantilů průměrné měsíční teploty podle modelu HIRHAM za období 1961–1990.



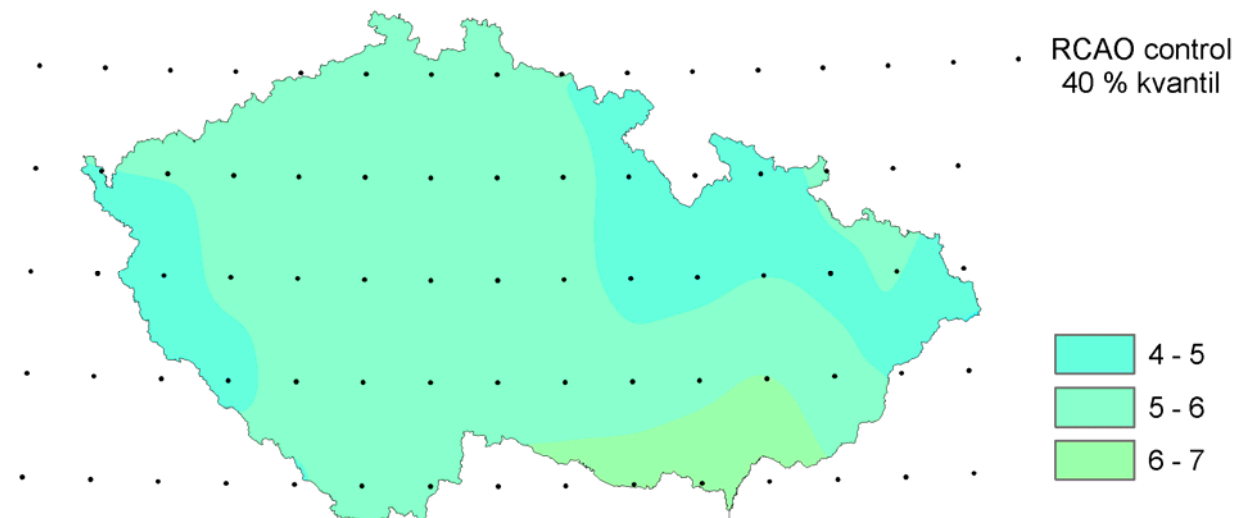
Obr. b.9: Hodnoty 30% kvantilů průměrné měsíční teploty podle modelu RCAO za období 1961–1990.



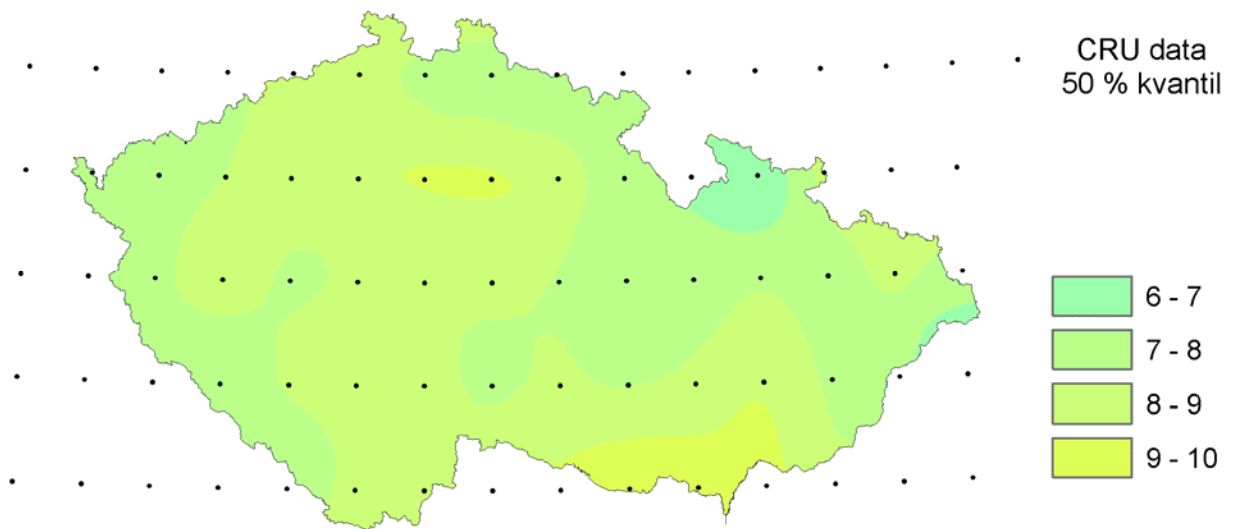
Obr. b.10: Hodnoty 40% kvantilů průměrné měsíční teploty podle CRU dat za období 1961–1990.



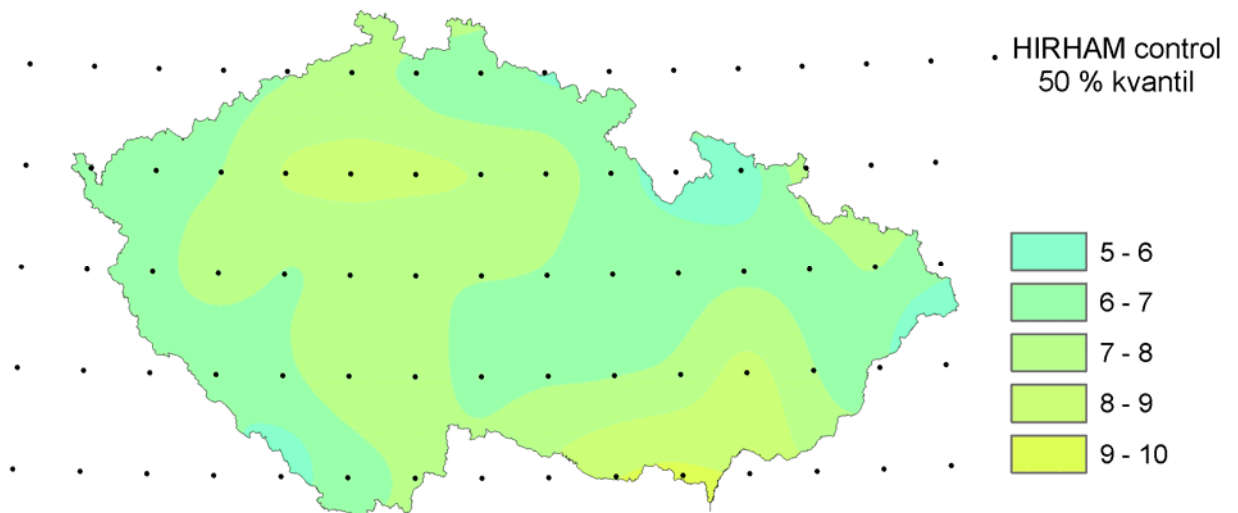
Obr. b.11: Hodnoty 40% kvantilů průměrné měsíční teploty podle modelu HIRHAM za období 1961–1990.



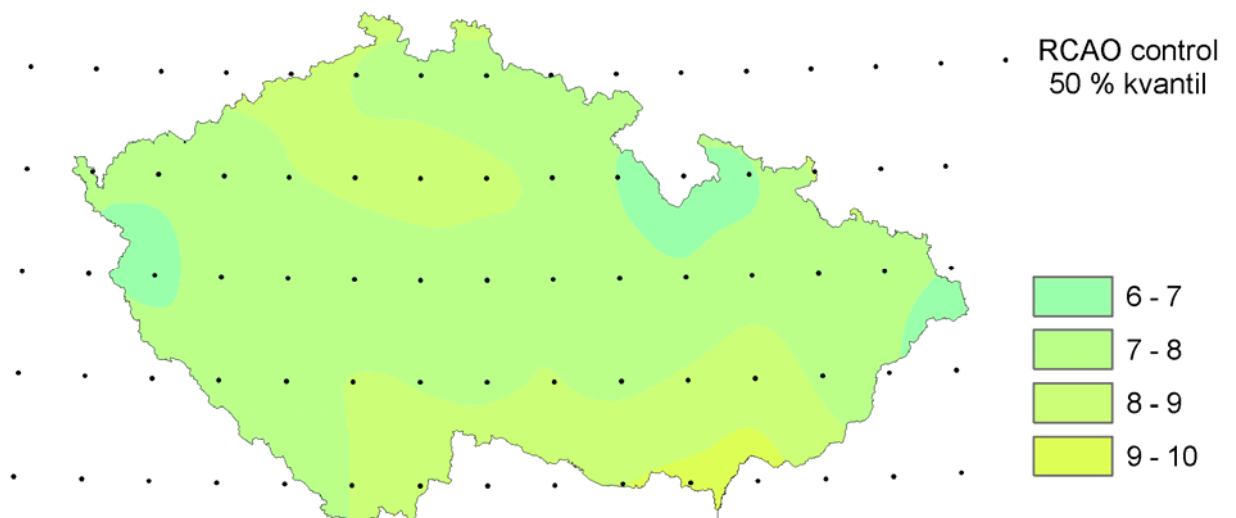
Obr. b.12: Hodnoty 40% kvantilů průměrné měsíční teploty podle modelu RCAO za období 1961–1990.



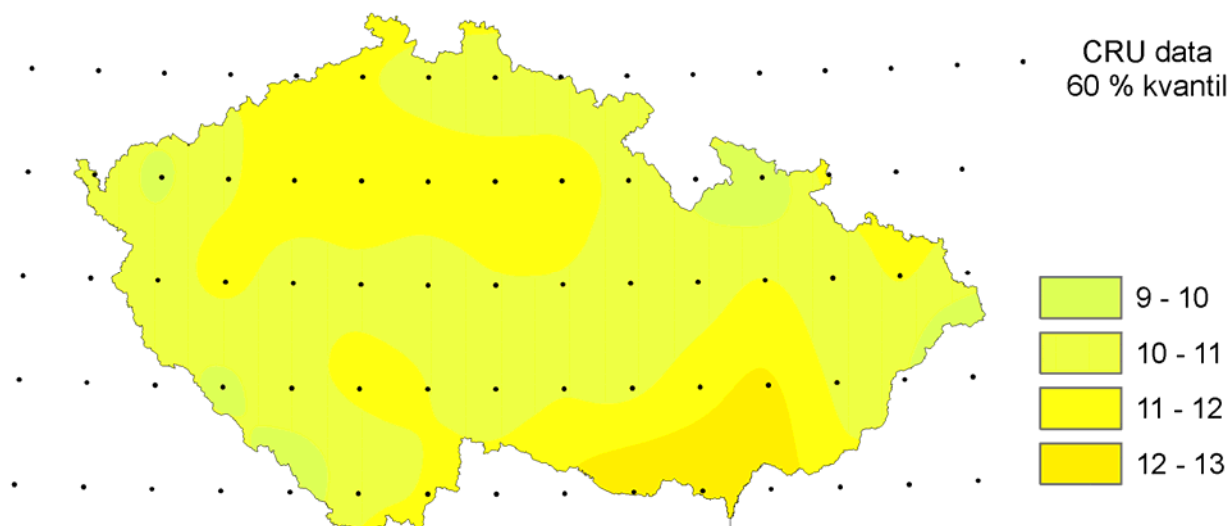
Obr. b.13: Hodnoty 50% kvantilů průměrné měsíční teploty podle CRU dat za období 1961–1990.



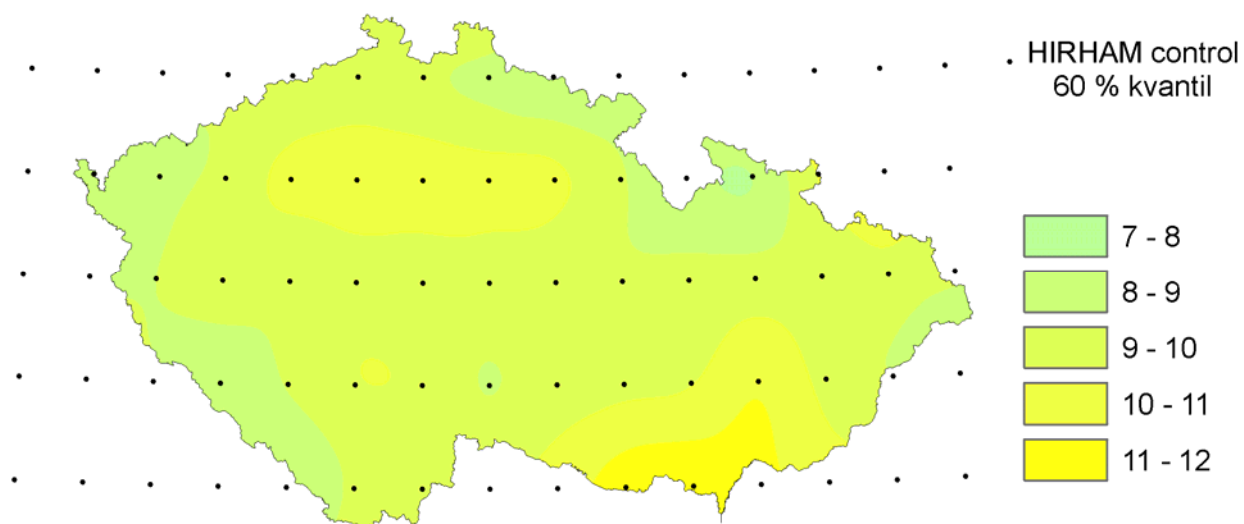
Obr. b.14: Hodnoty 50% kvantilů průměrné měsíční teploty podle modelu HIRHAM za období 1961–1990.



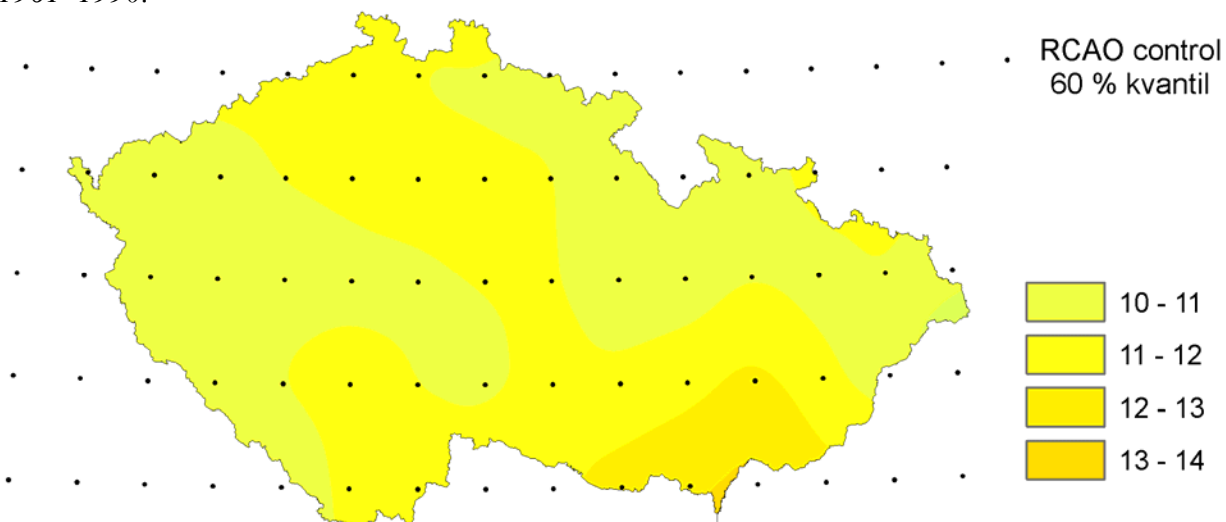
Obr. b.15: Hodnoty 50% kvantilů průměrné měsíční teploty podle modelu RCAO za období 1961–1990.



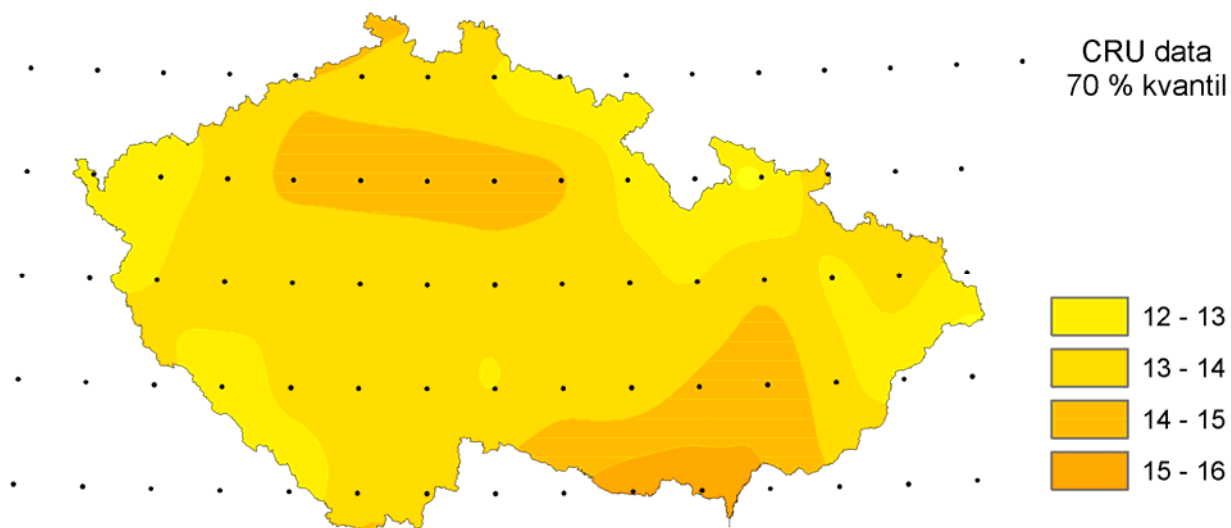
Obr. b.16: Hodnoty 60% kvantilů průměrné měsíční teploty podle CRU dat za období 1961–1990.



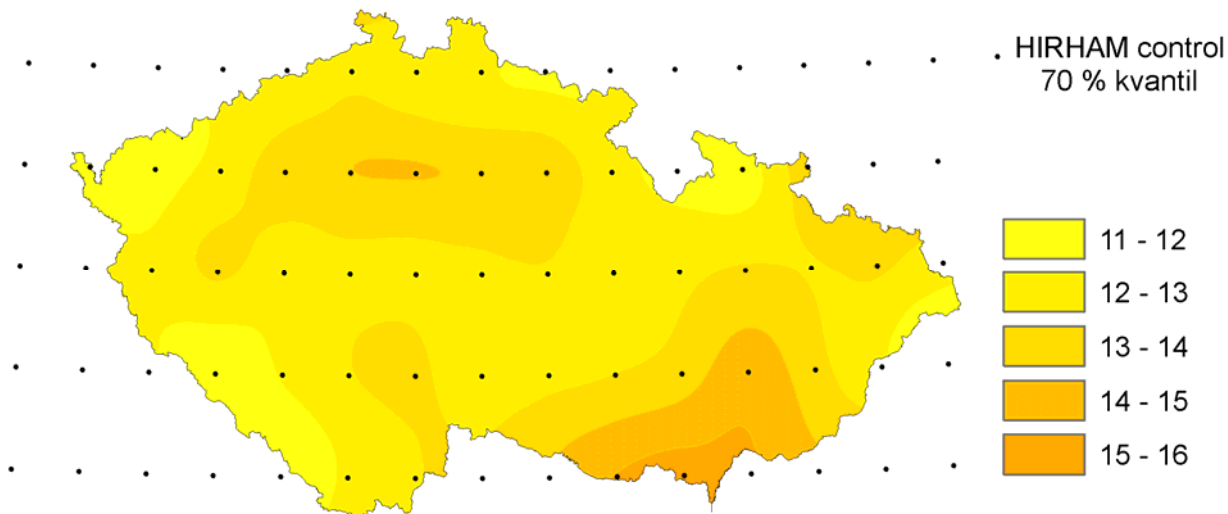
Obr. b.17: Hodnoty 60% kvantilů průměrné měsíční teploty podle modelu HIRHAM za období 1961–1990.



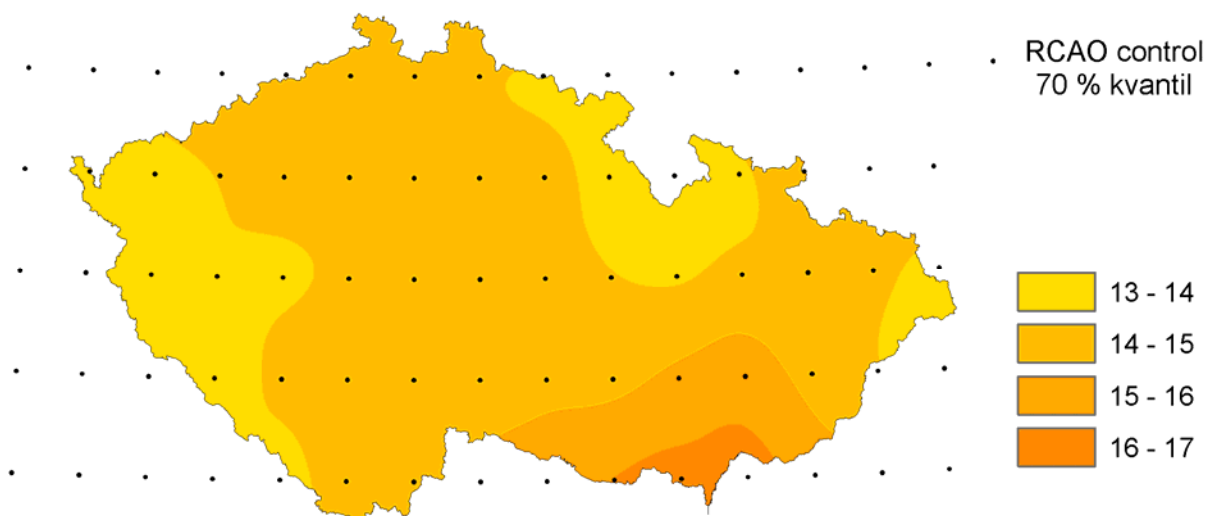
Obr. b.18: Hodnoty 60% kvantilů průměrné měsíční teploty podle modelu RCAO za období 1961–1990.



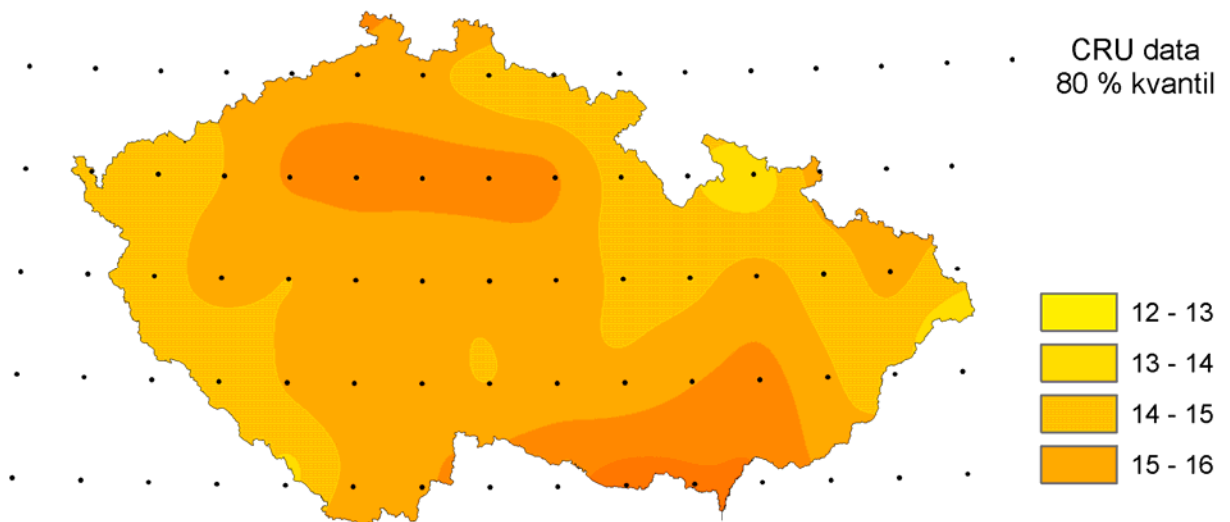
Obr. b.19: Hodnoty 70% kvantilů průměrné měsíční teploty podle CRU dat za období 1961–1990.



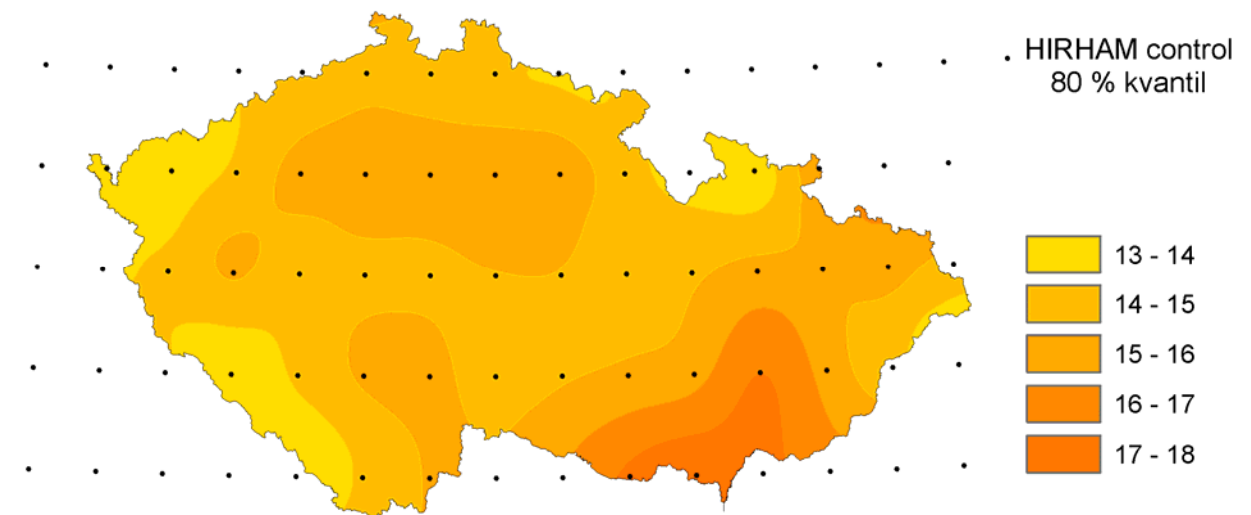
Obr. b.20: Hodnoty 70% kvantilů průměrné měsíční teploty podle modelu HIRHAM za období 1961–1990.



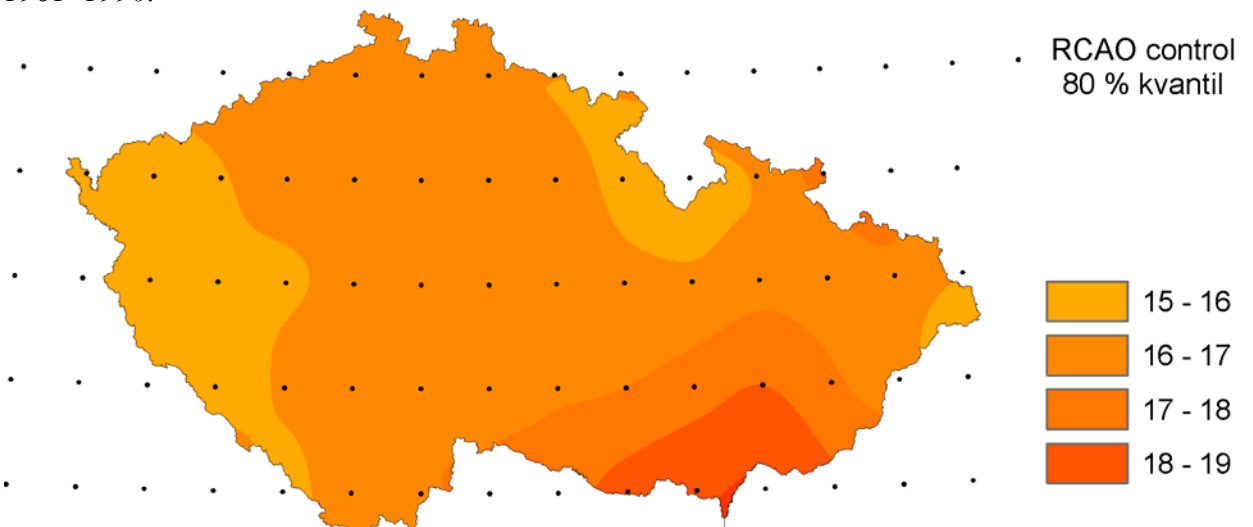
Obr. b.21: Hodnoty 70% kvantilů průměrné měsíční teploty podle modelu RCAO za období 1961–1990.



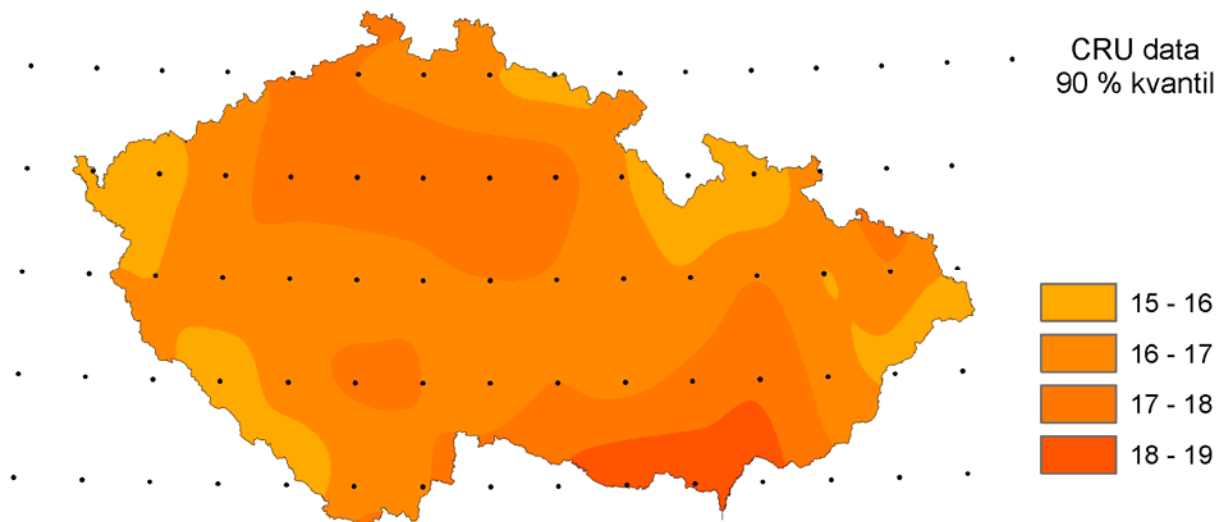
Obr. b.22: Hodnoty 80% kvantilů průměrné měsíční teploty podle CRU dat za období 1961–1990.



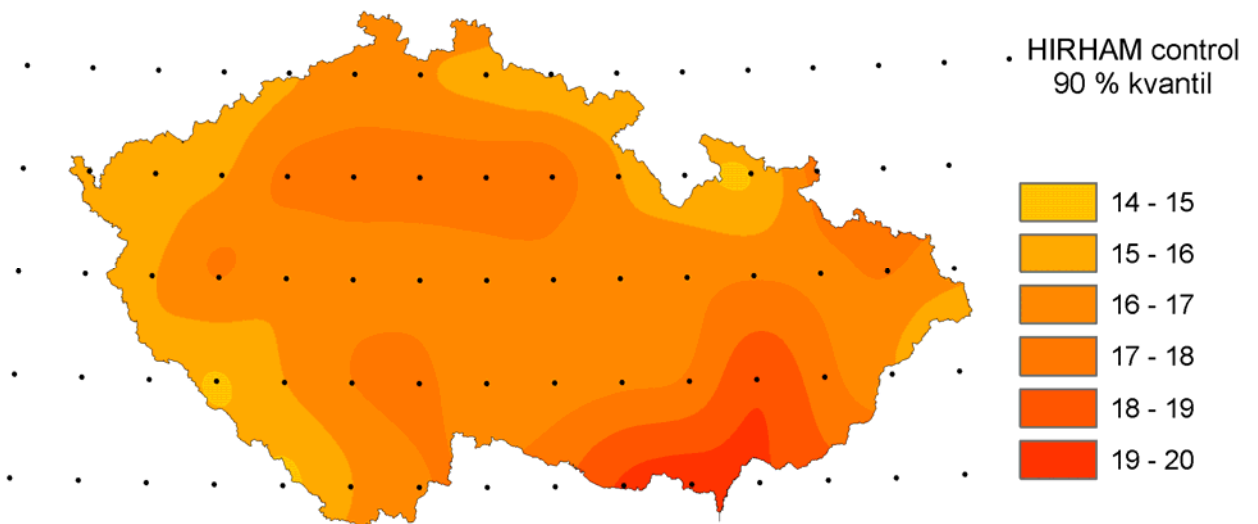
Obr. b.23: Hodnoty 80% kvantilů průměrné měsíční teploty podle modelu HIRHAM za období 1961–1990.



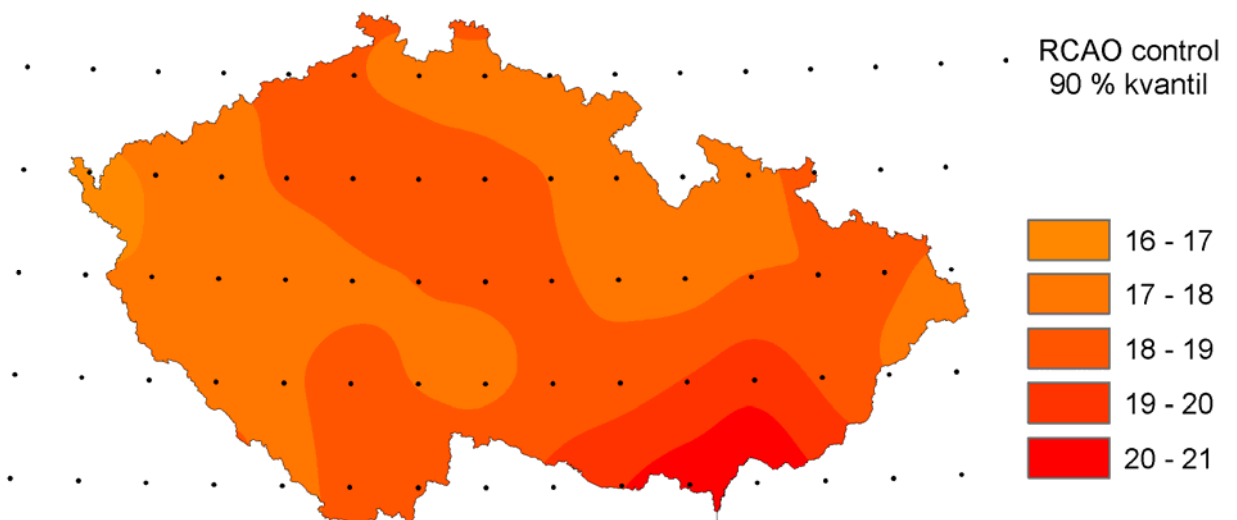
Obr. b.24: Hodnoty 80% kvantilů průměrné měsíční teploty podle modelu RCAO za období 1961–1990.



Obr. b.25: Hodnoty 90% kvantilů průměrné měsíční teploty podle CRU dat za období 1961–1990.

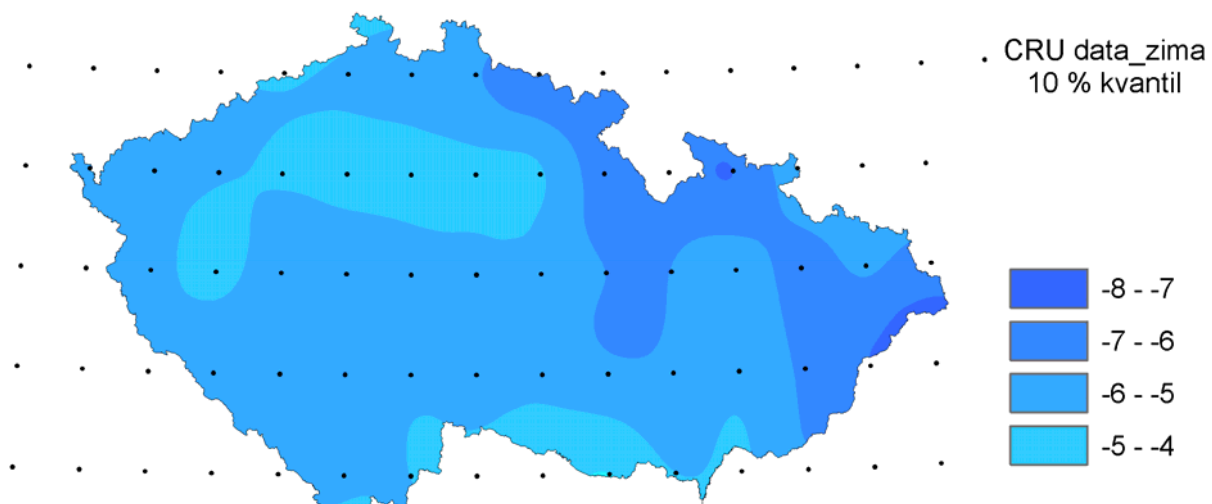


Obr. b.26: Hodnoty 90% kvantilů průměrné měsíční teploty podle modelu HIRHAM za období 1961–1990.

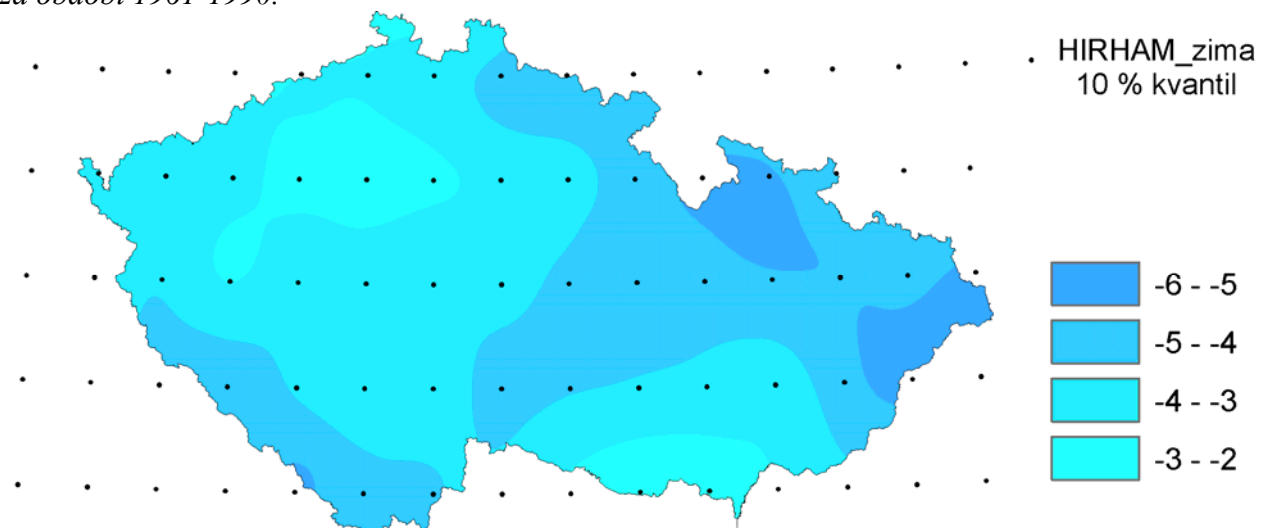


Obr. b.27: Hodnoty 90% kvantilů průměrné měsíční teploty podle modelu RCAO za období 1961–1990.

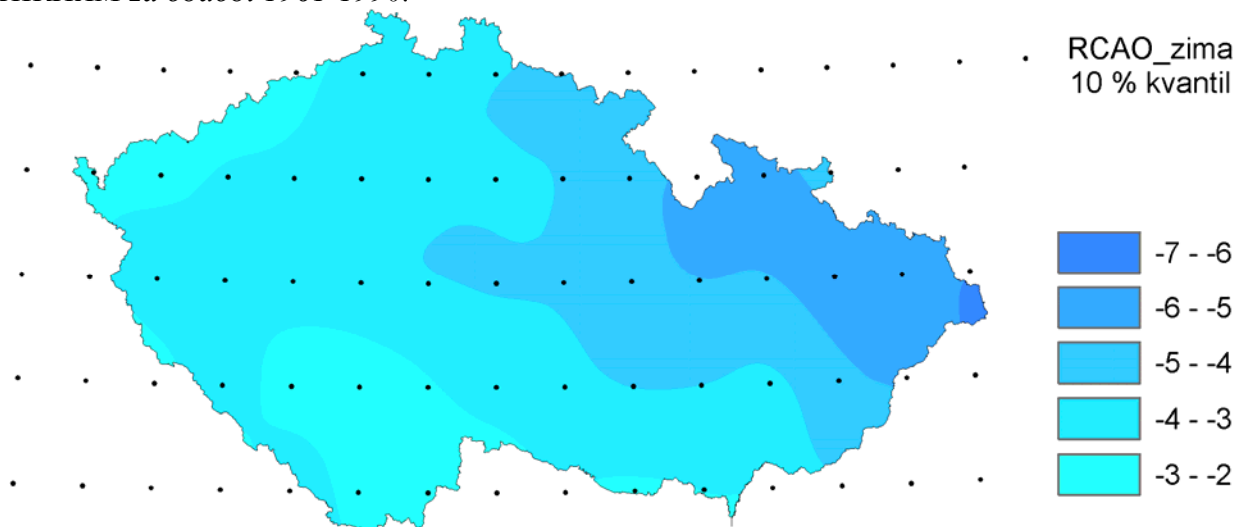
Příloha C



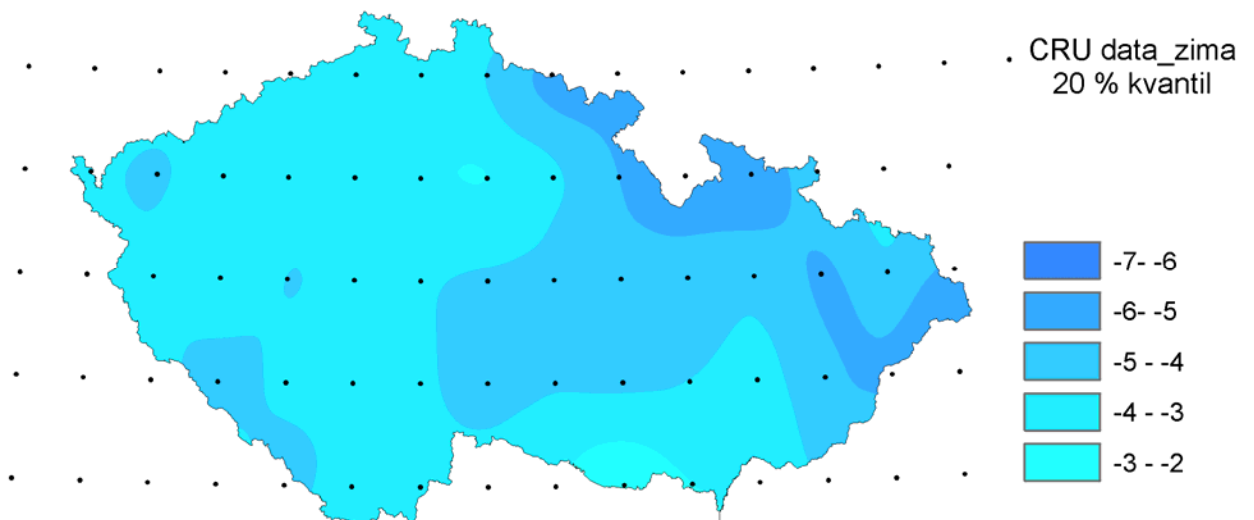
Obr. c.1: Hodnoty 10% kvantilů průměrné měsíční teploty v zimním období podle CRU dat za období 1961-1990.



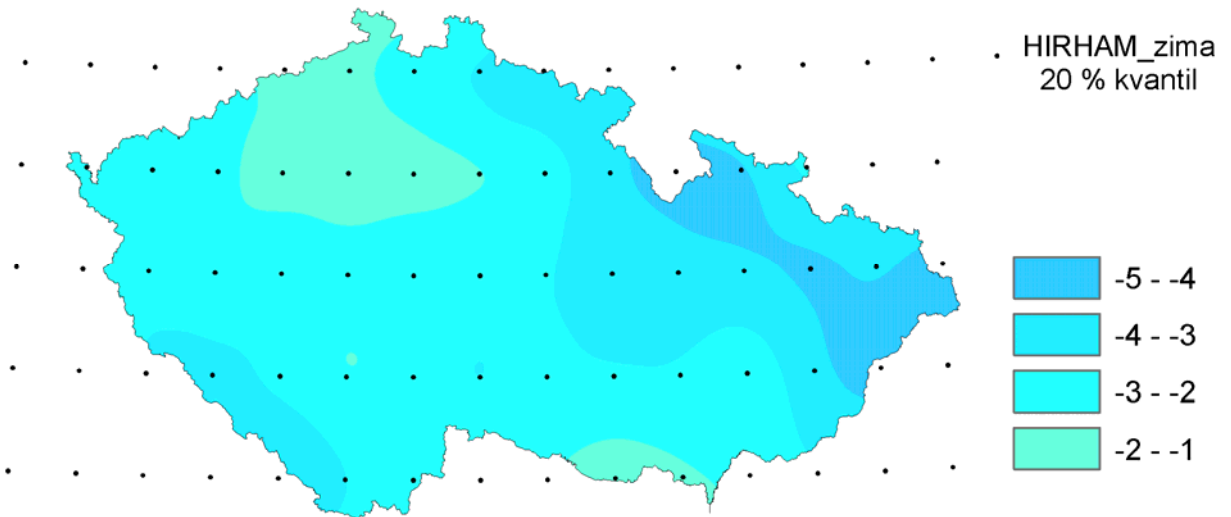
Obr. c.2: Hodnoty 10% kvantilů průměrné měsíční teploty v zimním období podle modelu HIRHAM za období 1961-1990.



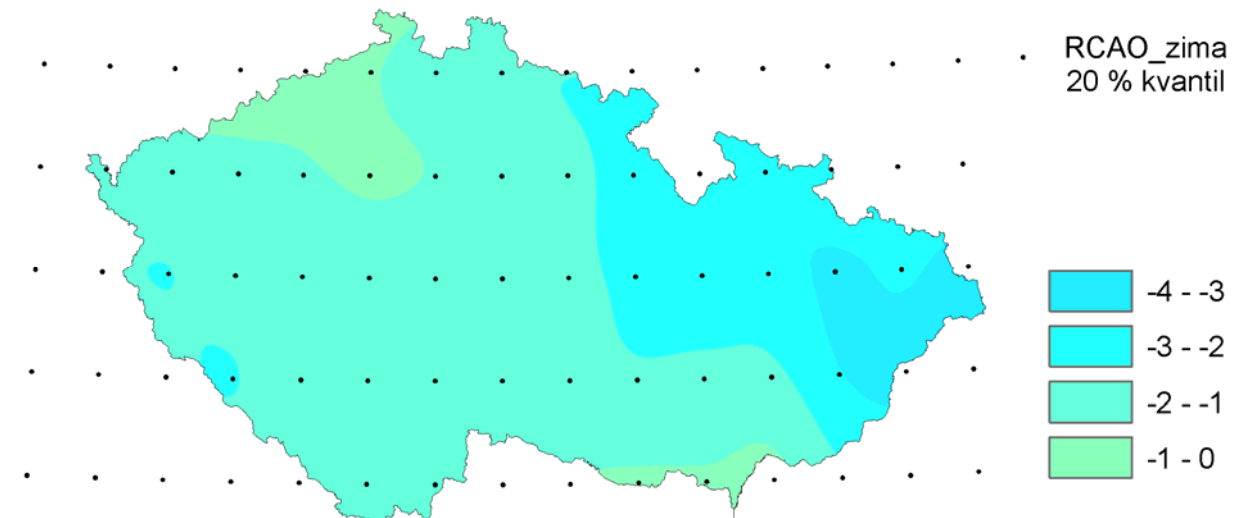
Obr. c.3: Hodnoty 10% kvantilů průměrné měsíční teploty v zimním období podle modelu RCAO za období 1961-1990.



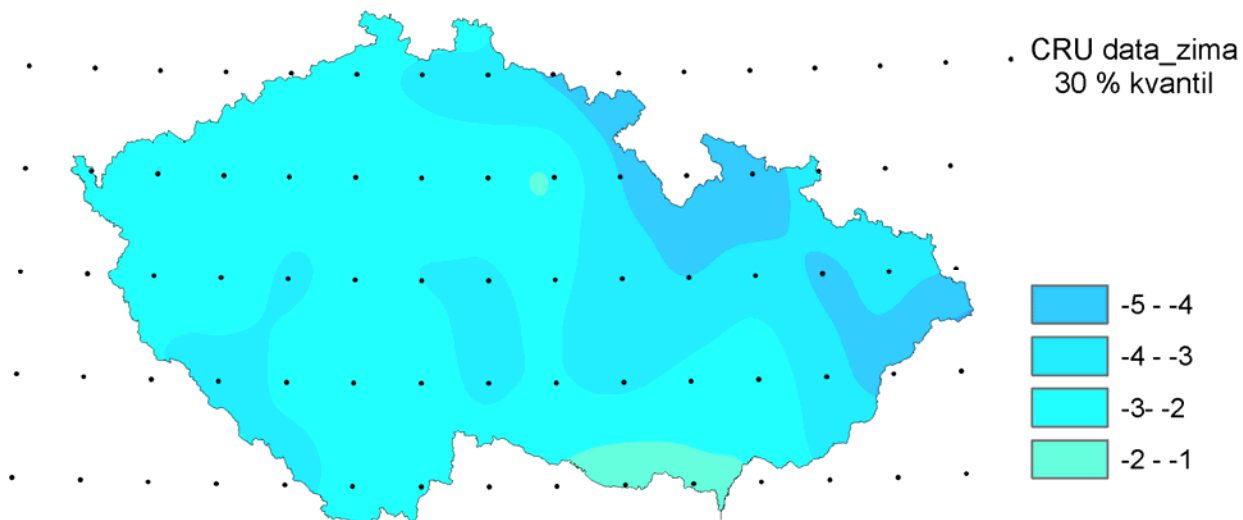
Obr. c.4: Hodnoty 20% kvantilů průměrné měsíční teploty v zimním období podle CRU dat za období 1961-1990.



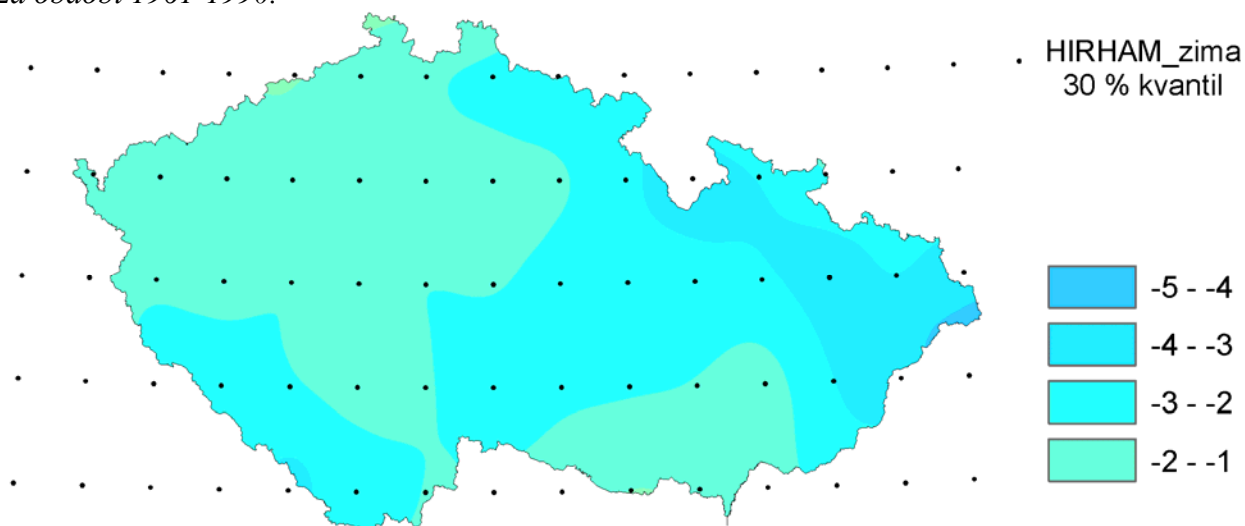
Obr. c.5: Hodnoty 20% kvantilů průměrné měsíční teploty v zimním období podle modelu HIRHAM za období 1961-1990.



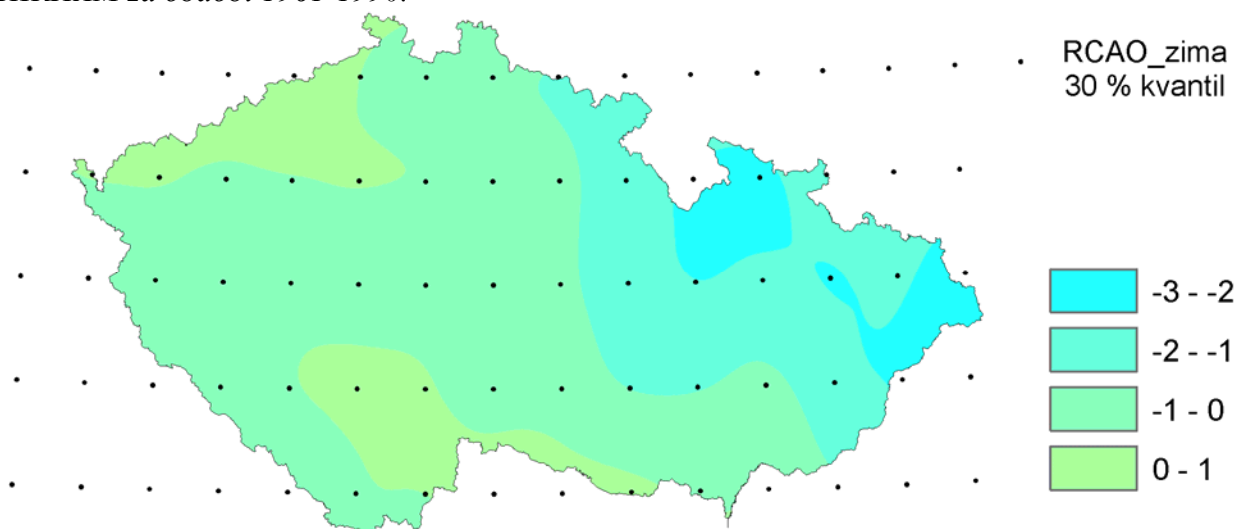
Obr. c.6: Hodnoty 20% kvantilů průměrné měsíční teploty v zimním období podle modelu RCAO za období 1961-1990.



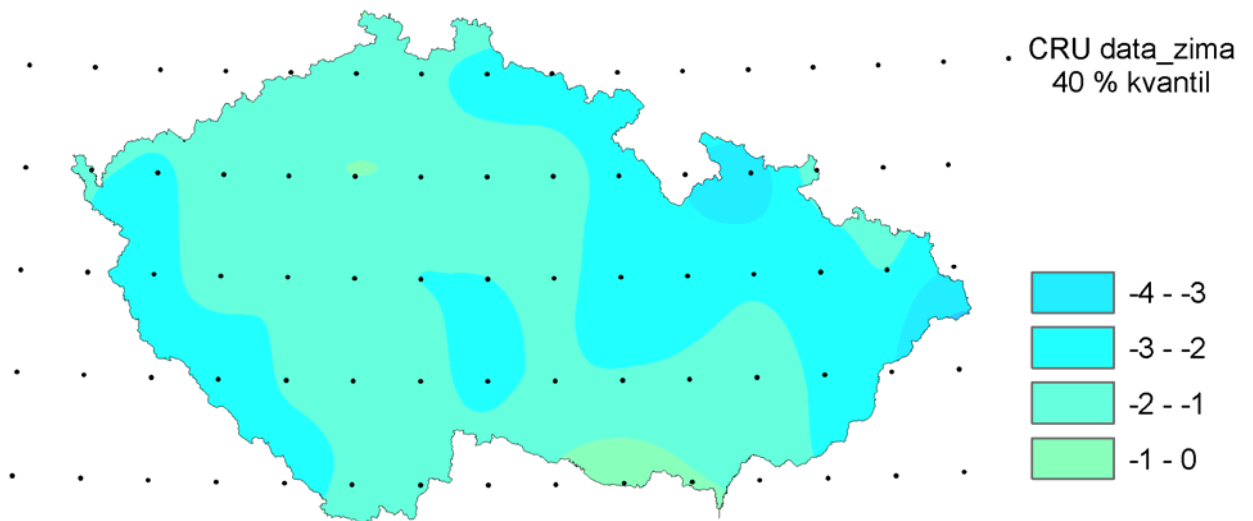
Obr. c.7: Hodnoty 30% kvantilů průměrné měsíční teploty v zimním období podle CRU dat za období 1961-1990.



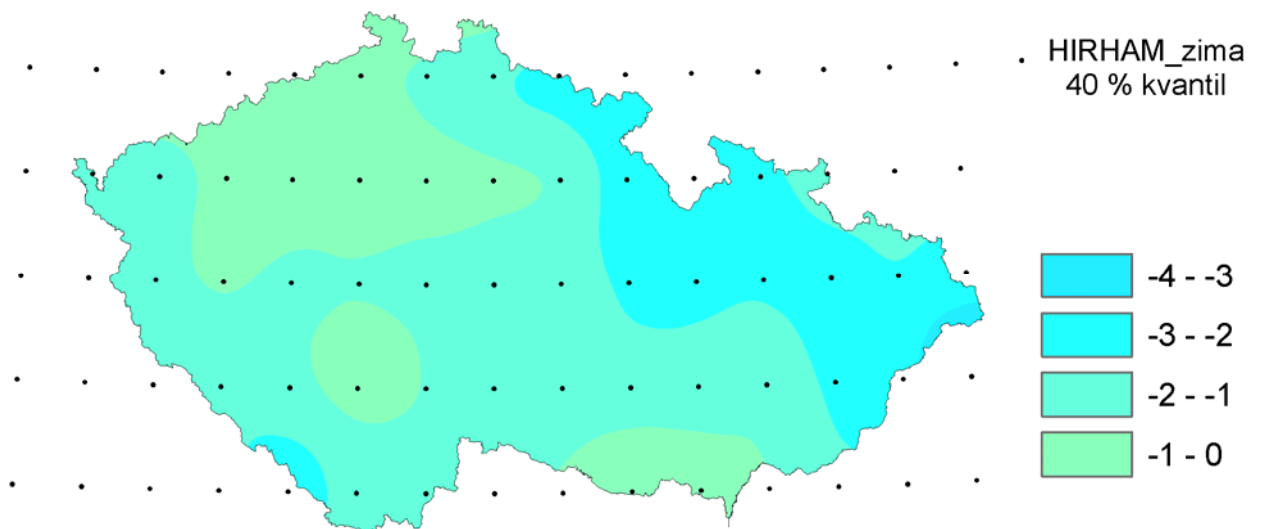
Obr. c.8: Hodnoty 30% kvantilů průměrné měsíční teploty v zimním období podle modelu HIRHAM za období 1961-1990.



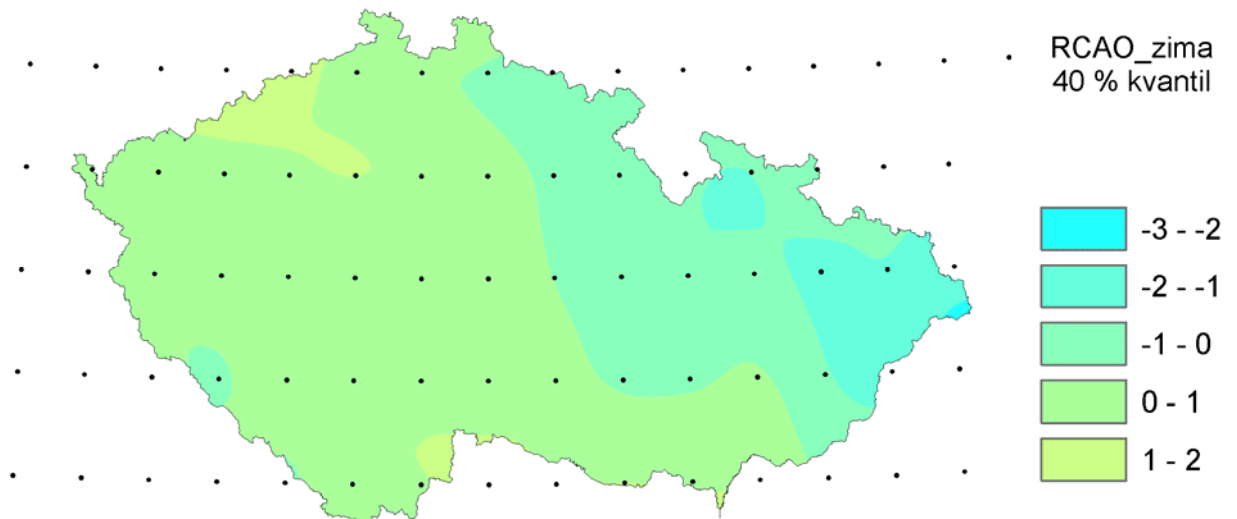
Obr. c.9: Hodnoty 30% kvantilů průměrné měsíční teploty v zimním období podle modelu RCAO za období 1961-1990.



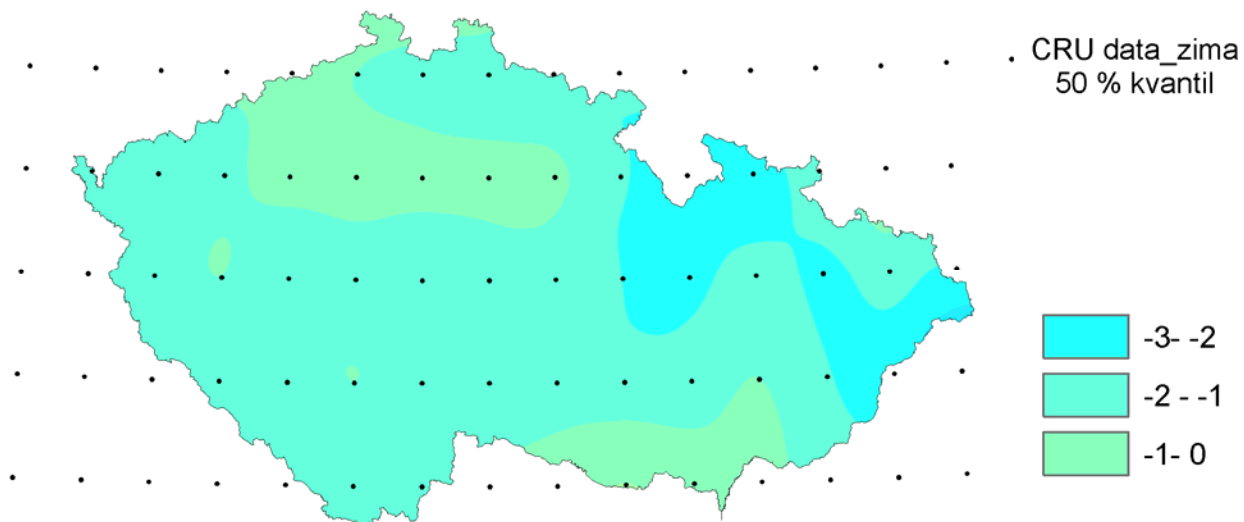
Obr. c.10: Hodnoty 40% kvantilů průměrné měsíční teploty v zimním období podle CRU dat za období 1961-1990.



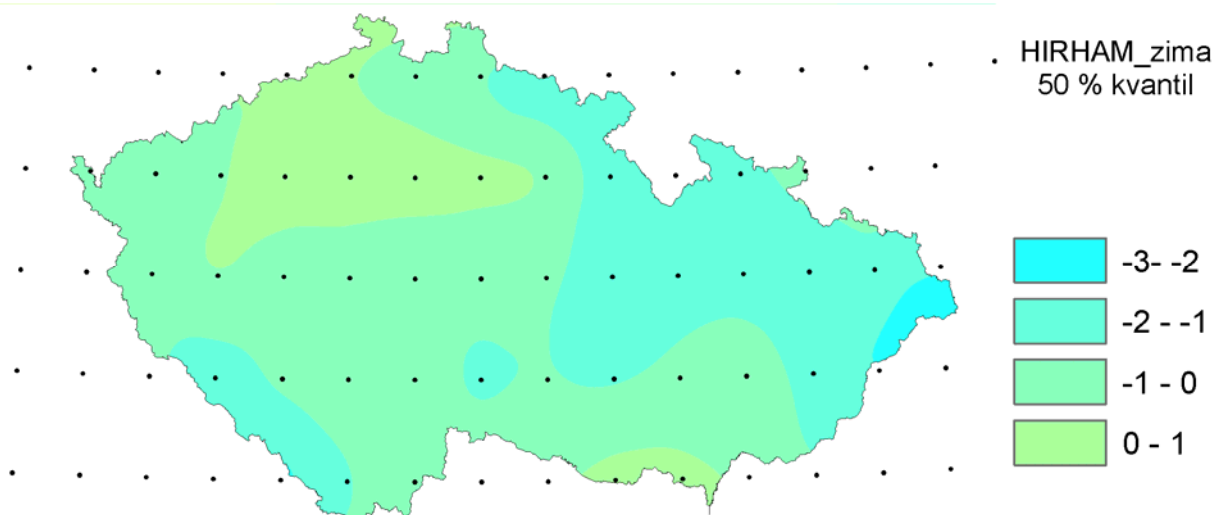
Obr. c.11: Hodnoty 40% kvantilů průměrné měsíční teploty v zimním období podle modelu HIRHAM za období 1961-1990.



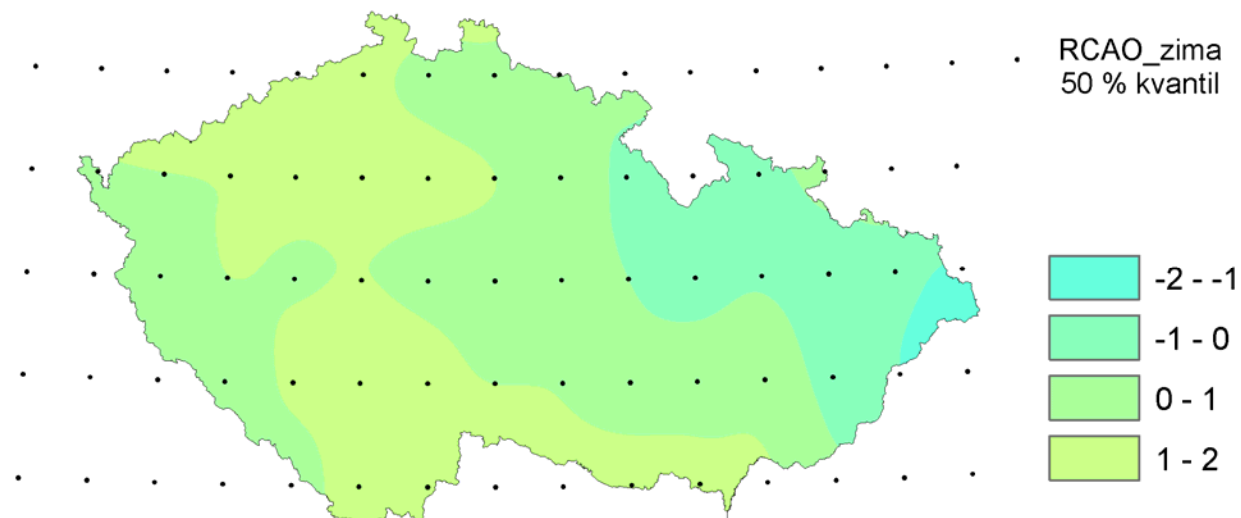
Obr. c.12: Hodnoty 40% kvantilů průměrné měsíční teploty v zimním období podle modelu RCAO za období 1961-1990.



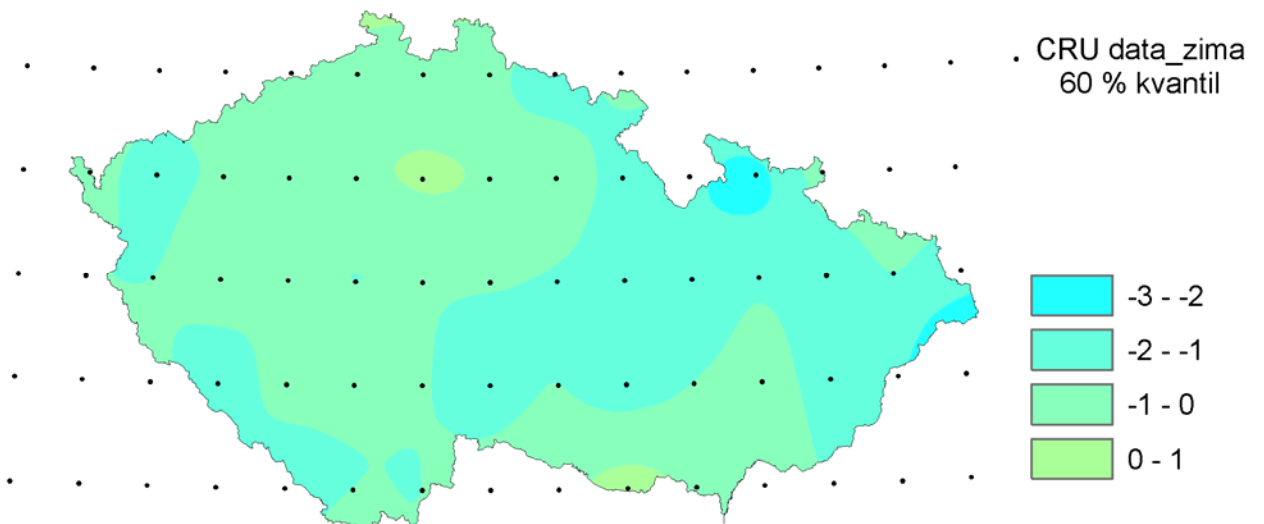
Obr. c.13: Hodnoty 50% kvantilů průměrné měsíční teploty v zimním období podle CRU dat za období 1961-1990.



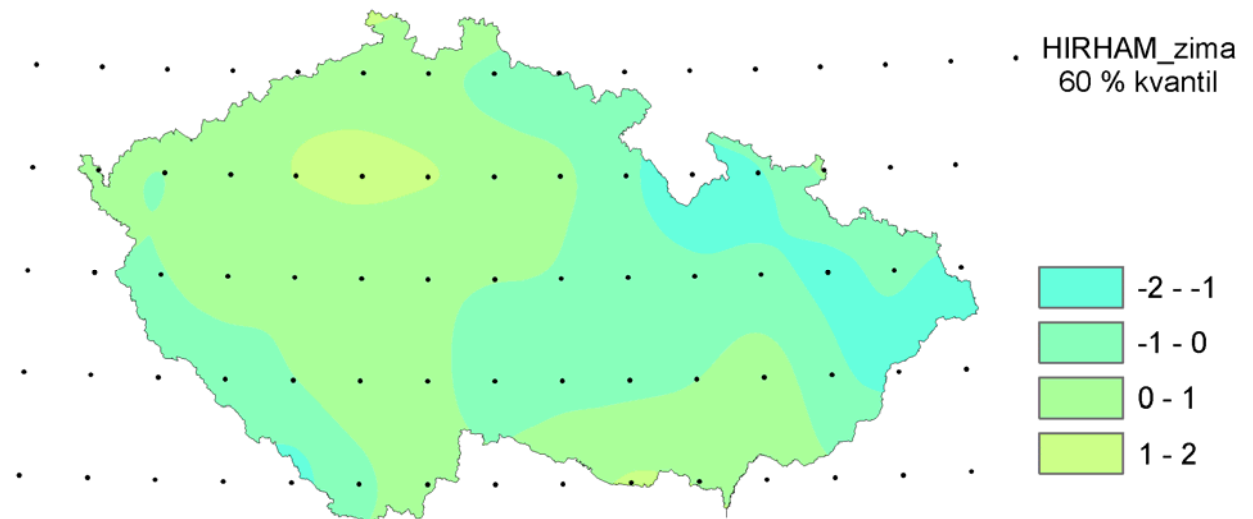
Obr. c.14: Hodnoty 50% kvantilů průměrné měsíční teploty v zimním období podle modelu HIRHAM za období 1961-1990.



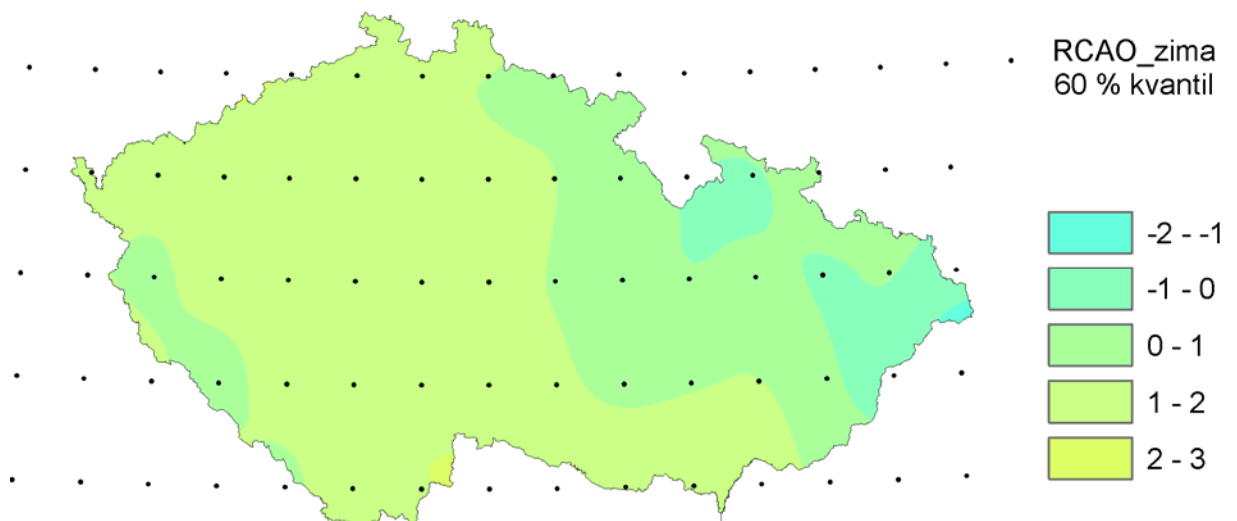
Obr. c.15: Hodnoty 50% kvantilů průměrné měsíční teploty v zimním období podle modelu RCAO za období 1961-1990.



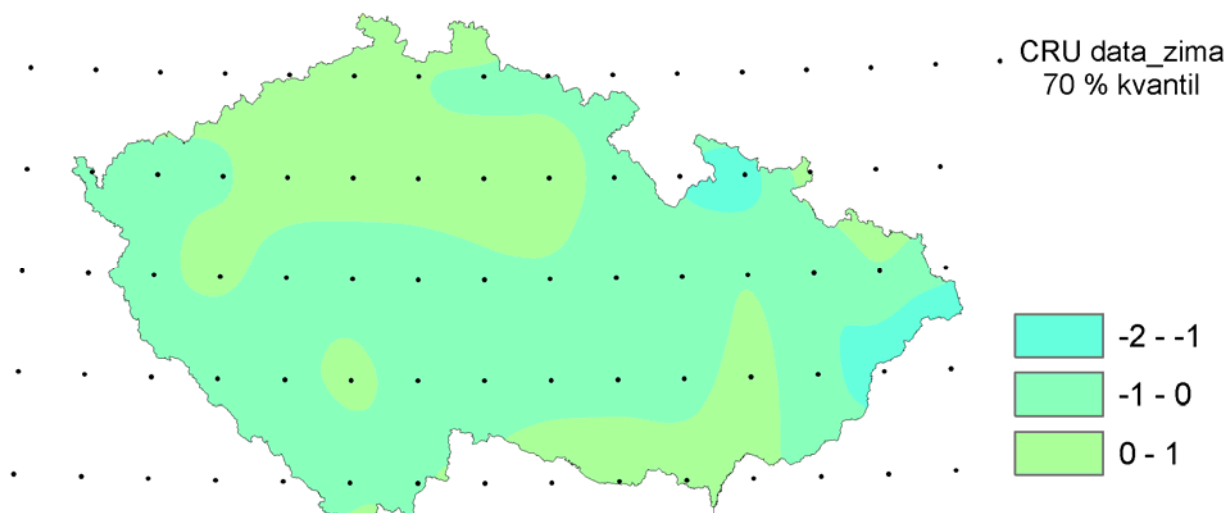
Obr. c.16: Hodnoty 60% kvantilů průměrné měsíční teploty v zimním období podle CRU dat za období 1961-1990.



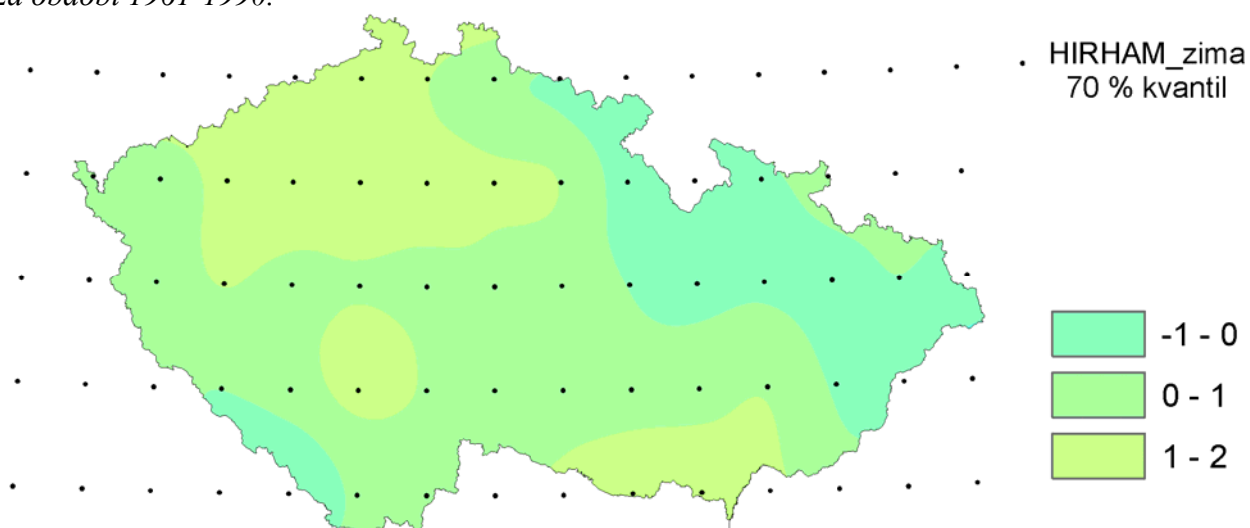
Obr. c.17: Hodnoty 60% kvantilů průměrné měsíční teploty v zimním období podle modelu HIRHAM za období 1961-1990.



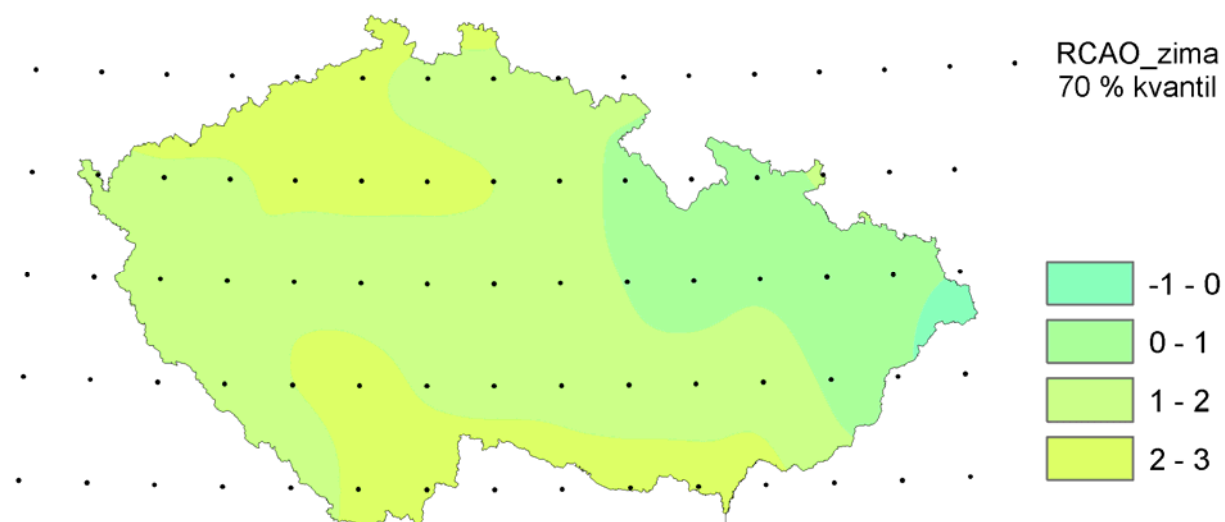
Obr. c.18: Hodnoty 60% kvantilů průměrné měsíční teploty v zimním období podle modelu RCAO za období 1961-1990.



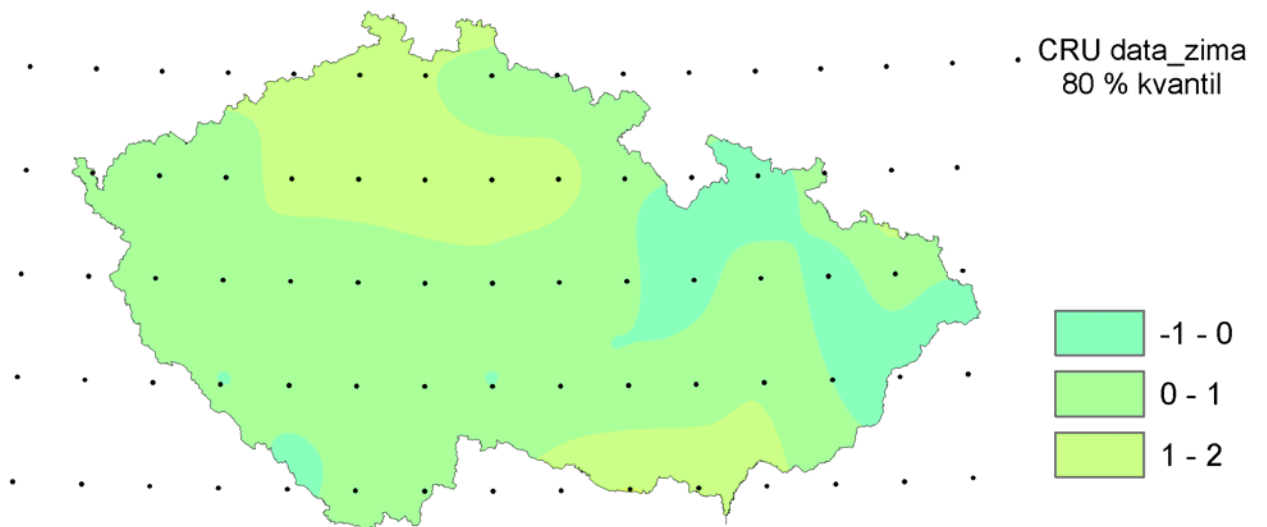
Obr. c.19: Hodnoty 70% kvantilů průměrné měsíční teploty v zimním období podle CRU dat za období 1961-1990.



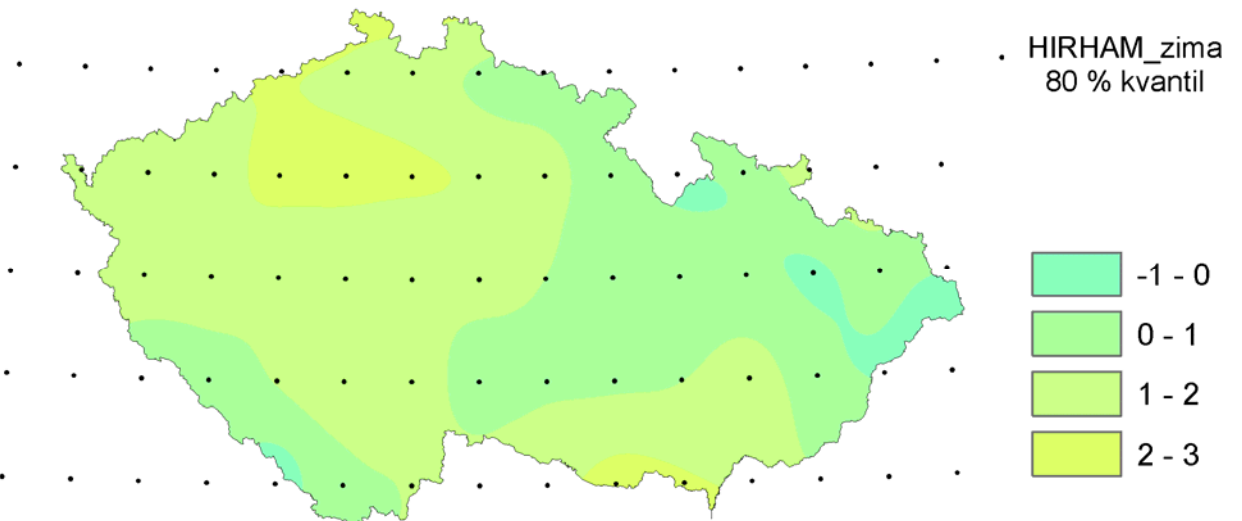
Obr. c.20: Hodnoty 70% kvantilů průměrné měsíční teploty v zimním období podle modelu HIRHAM za období 1961-1990.



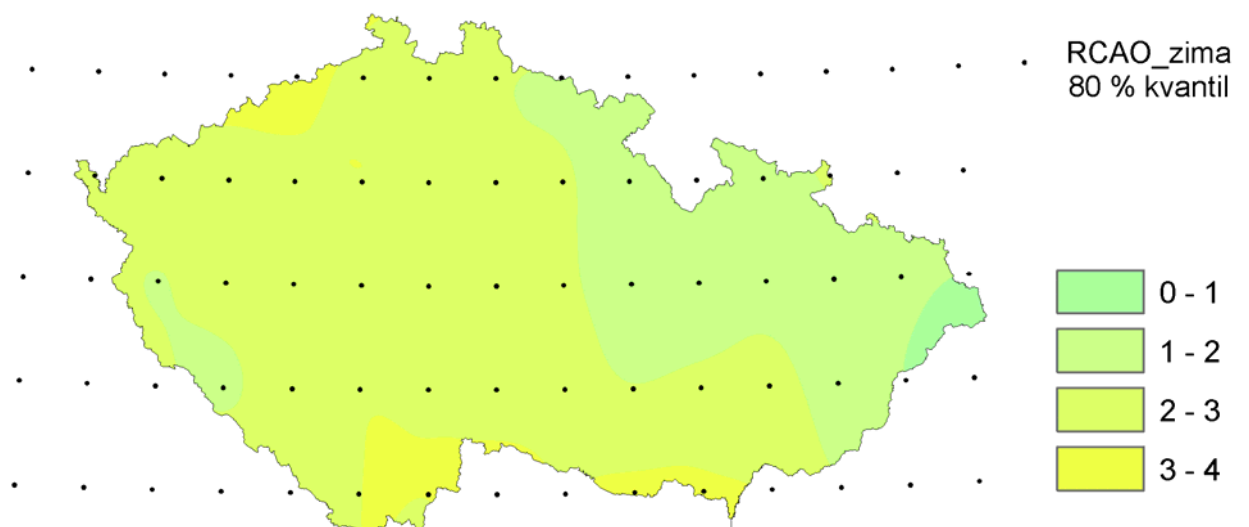
Obr. c.21: Hodnoty 70% kvantilů průměrné měsíční teploty v zimním období podle modelu RCAO za období 1961-1990.



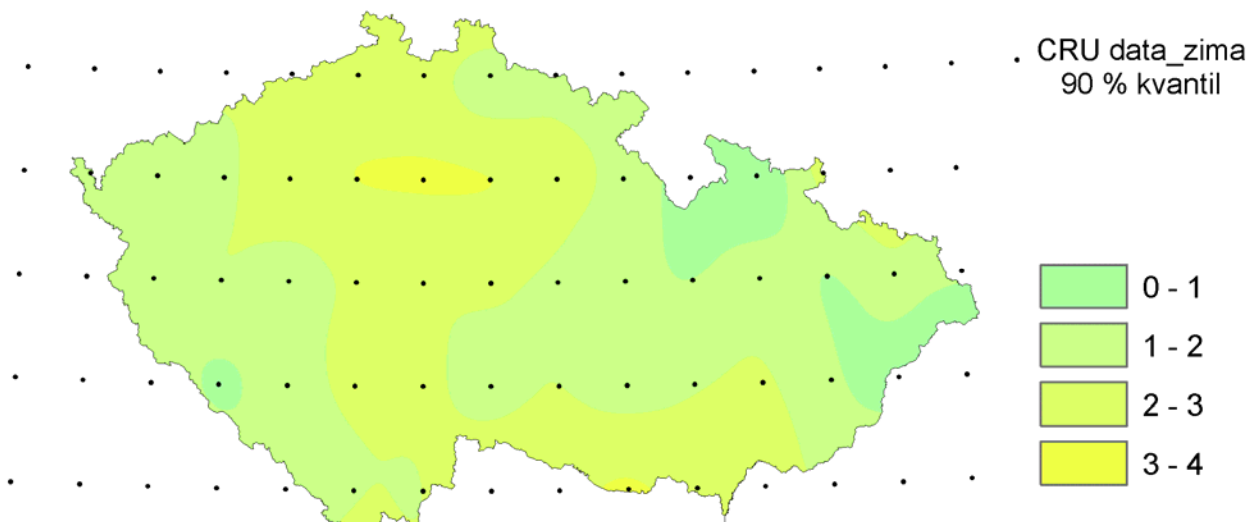
Obr. c.22: Hodnoty 80% kvantilů průměrné měsíční teploty v zimním období podle CRU dat za období 1961-1990.



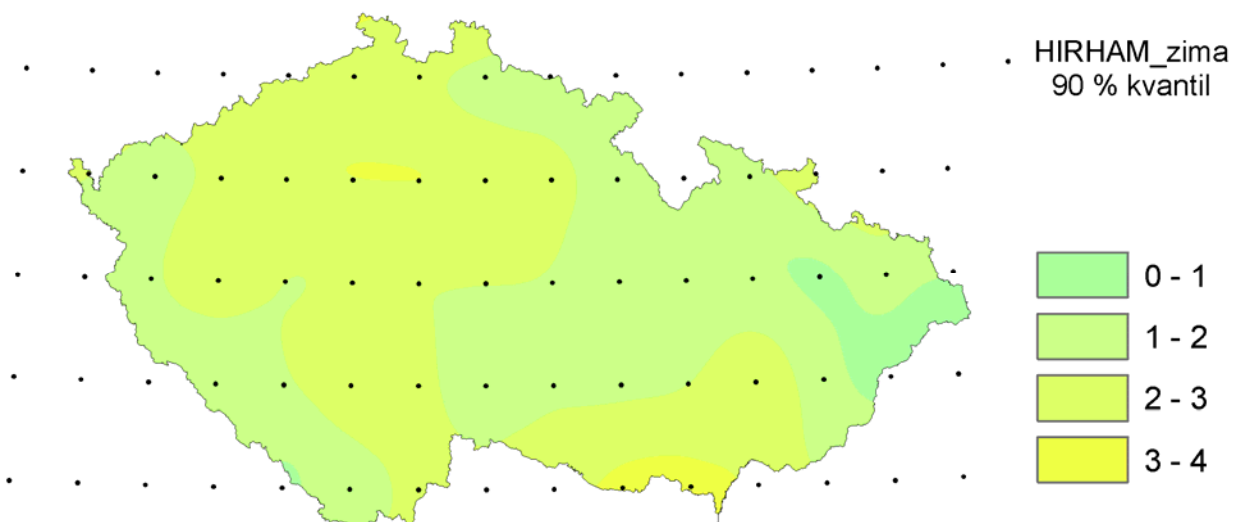
Obr. c.23: Hodnoty 80% kvantilů průměrné měsíční teploty v zimním období podle modelu HIRHAM za období 1961-1990.



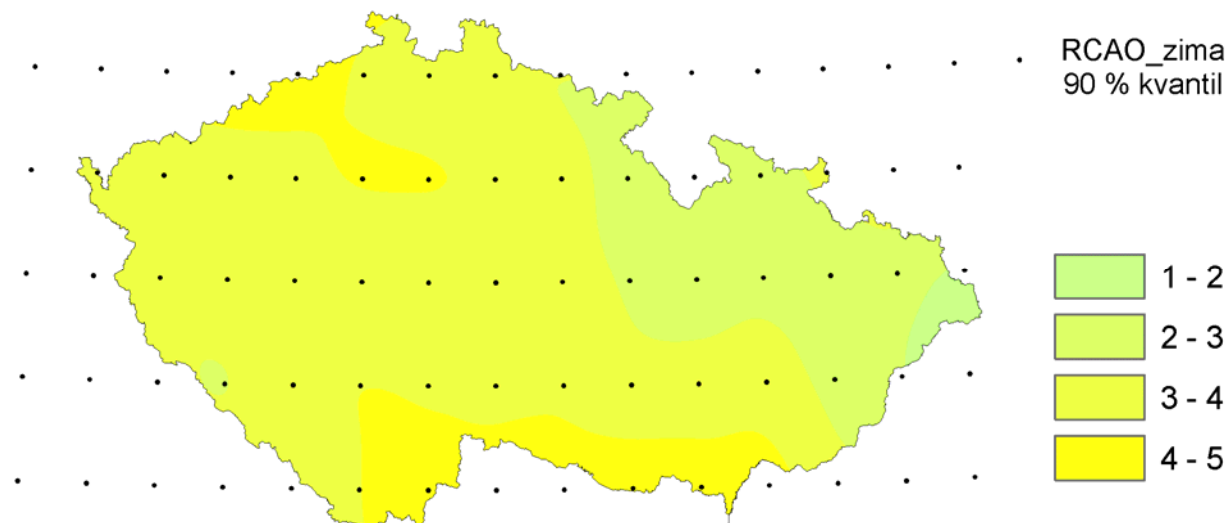
Obr. c.24: Hodnoty 80% kvantilů průměrné měsíční teploty v zimním období podle modelu RCAO za období 1961-1990.



Obr. c.25: Hodnoty 90% kvantilů průměrné měsíční teploty v zimním období podle CRU dat za období 1961-1990.

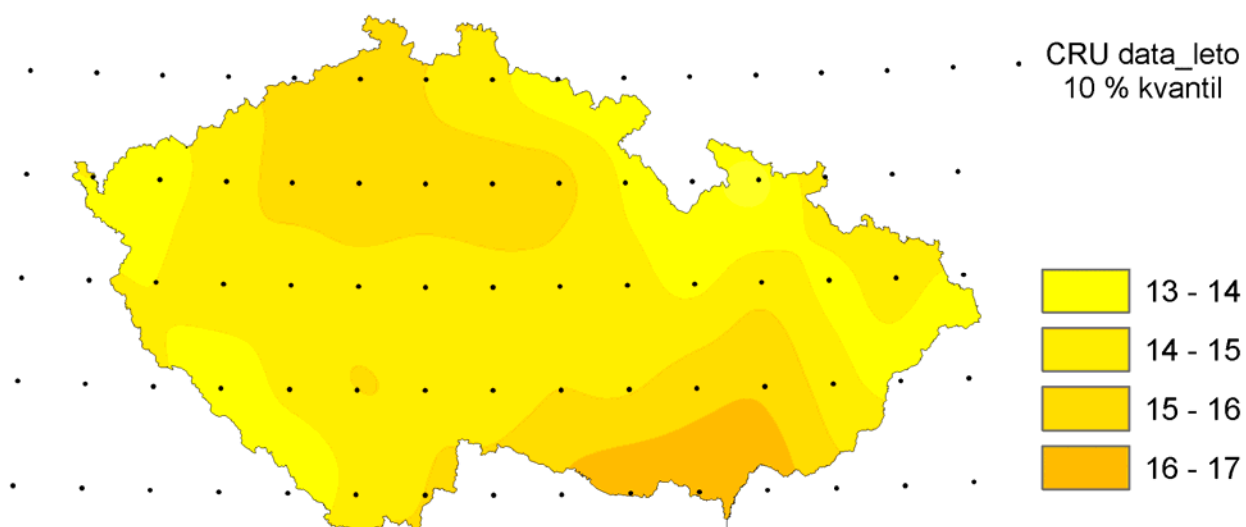


Obr. c.26: Hodnoty 90% kvantilů průměrné měsíční teploty v zimním období podle modelu HIRHAM za období 1961-1990.

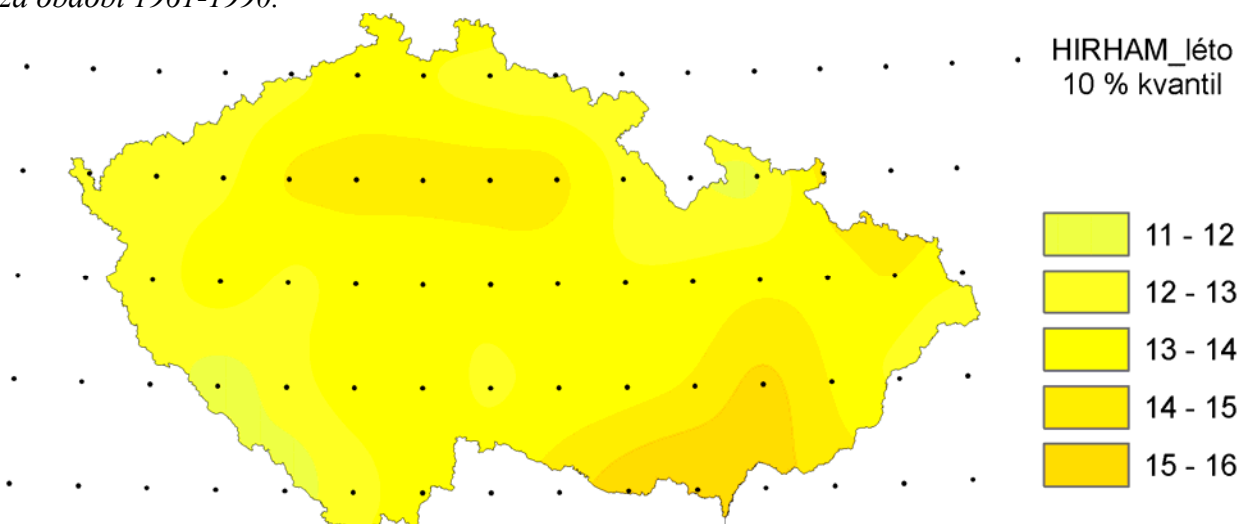


Obr. c.27: Hodnoty 90% kvantilů průměrné měsíční teploty v zimním období podle modelu RCAO za období 1961-1990.

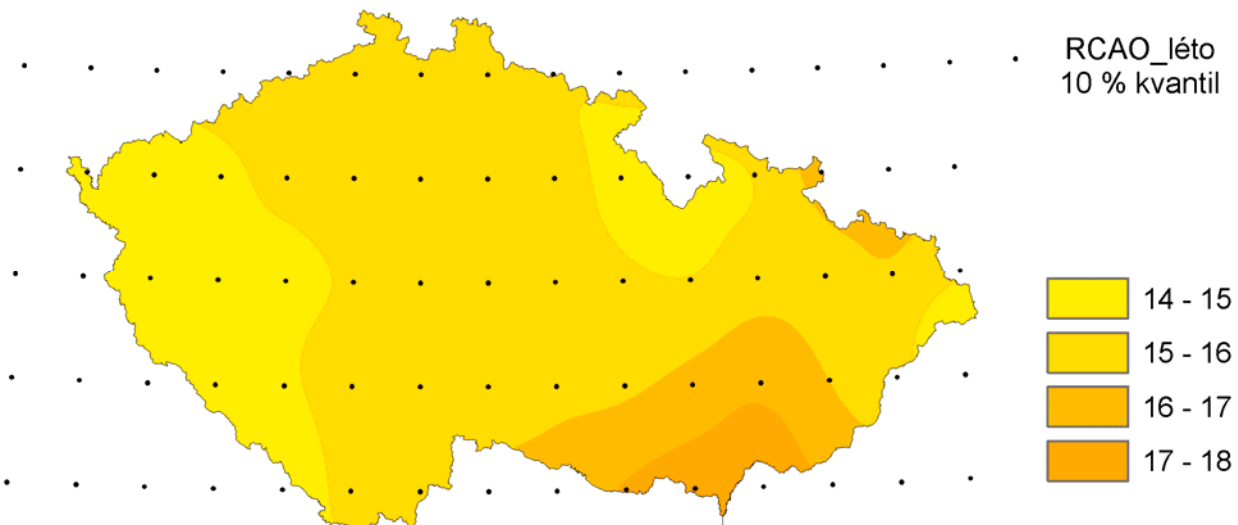
Příloha D



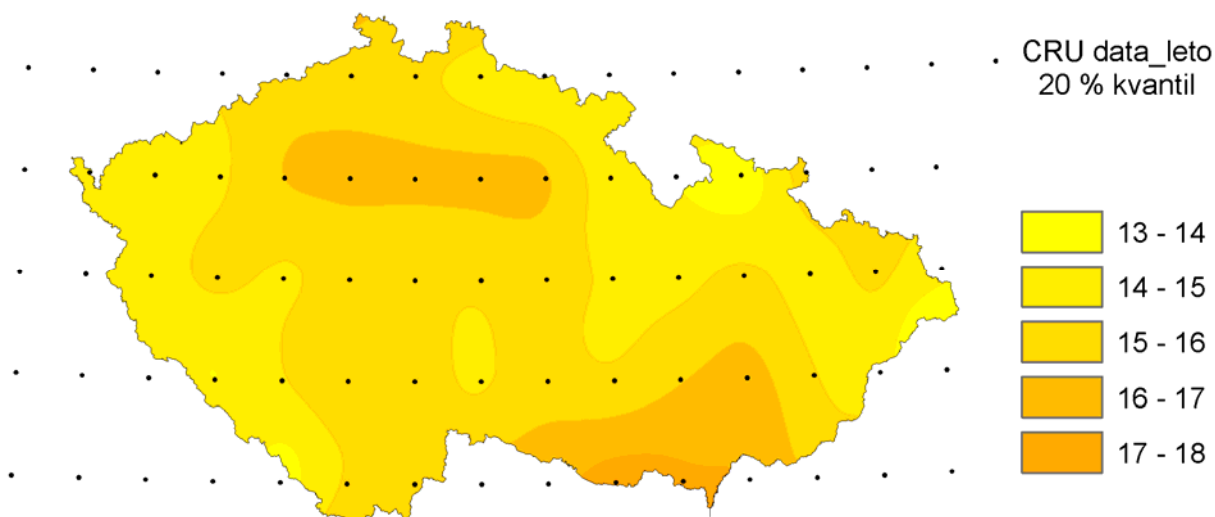
Obr. d.1: Hodnoty 10% kvantilů průměrné měsíční teploty v letním období podle CRU dat za období 1961-1990.



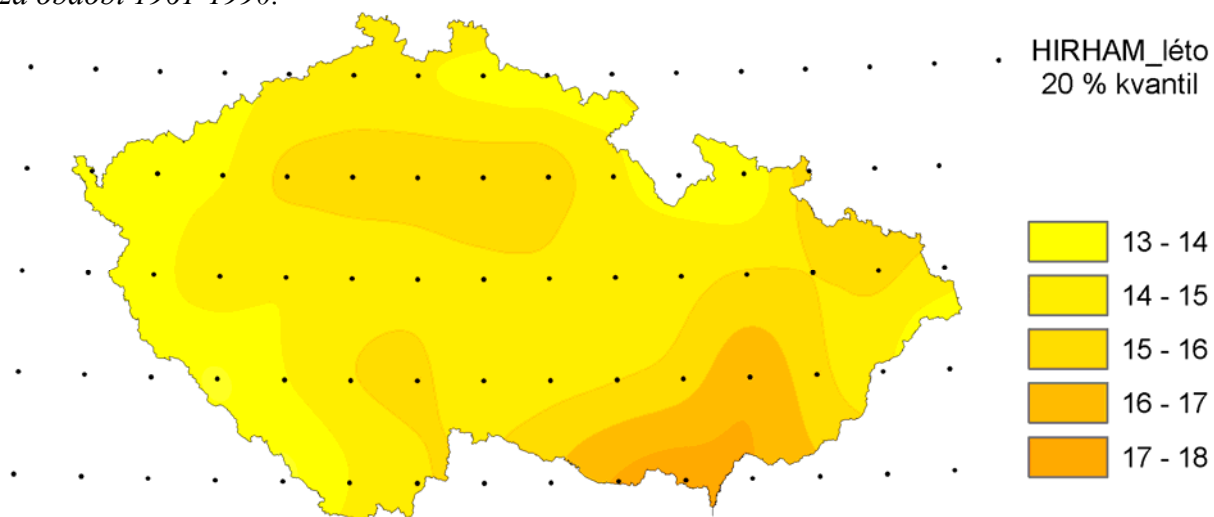
Obr. d.2: Hodnoty 10% kvantilů průměrné měsíční teploty v letním období podle modelu HIRHAM za období 1961-1990.



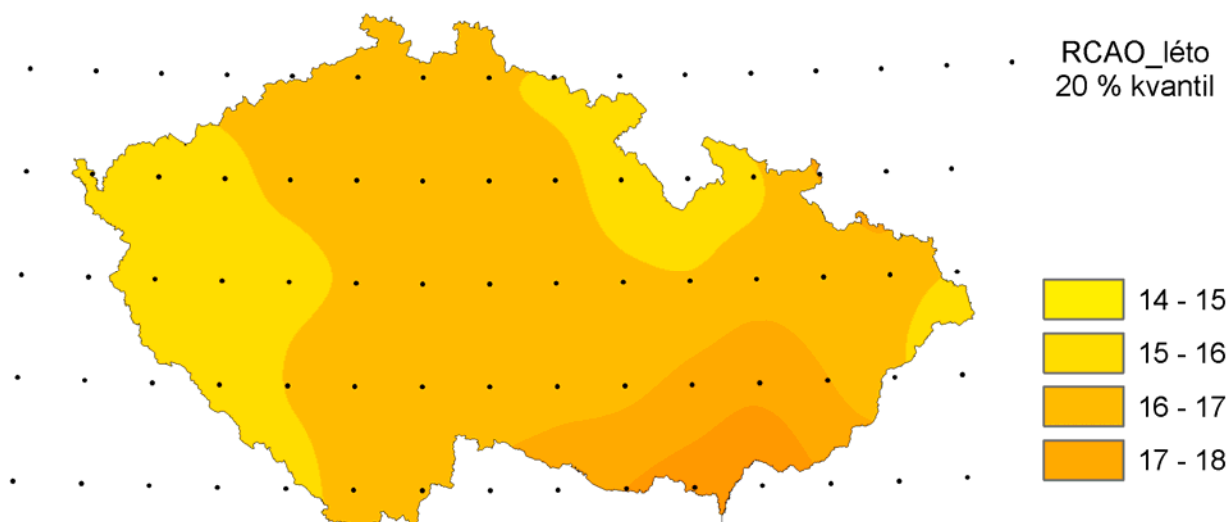
Obr. d.3: Hodnoty 10% kvantilů průměrné měsíční teploty v letním období podle modelu RCAO za období 1961-1990.



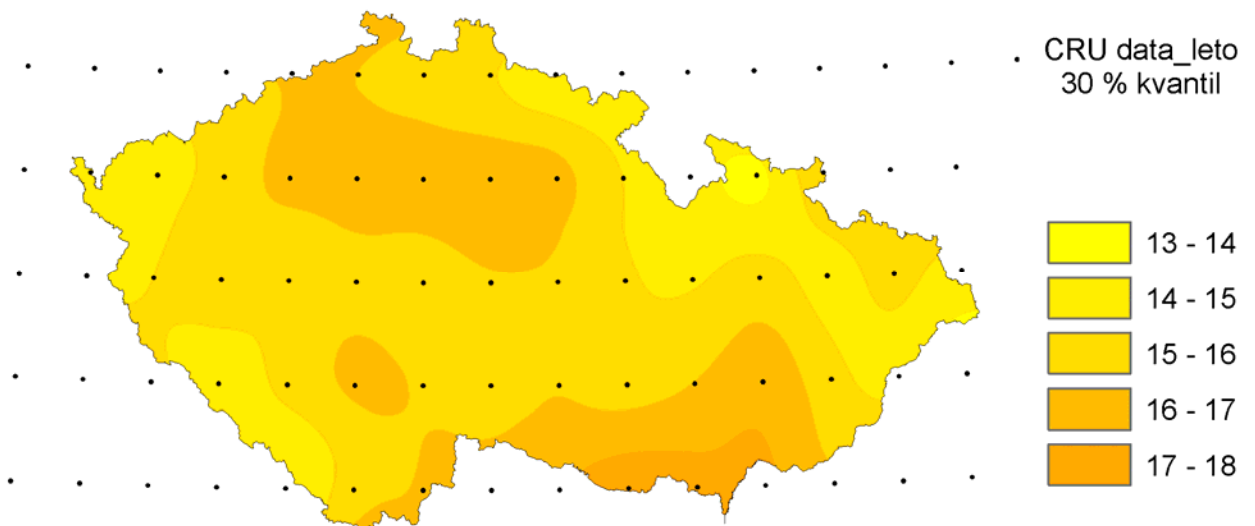
Obr. d.4: Hodnoty 20% kvantilů průměrné měsíční teploty v letním období podle CRU dat za období 1961-1990.



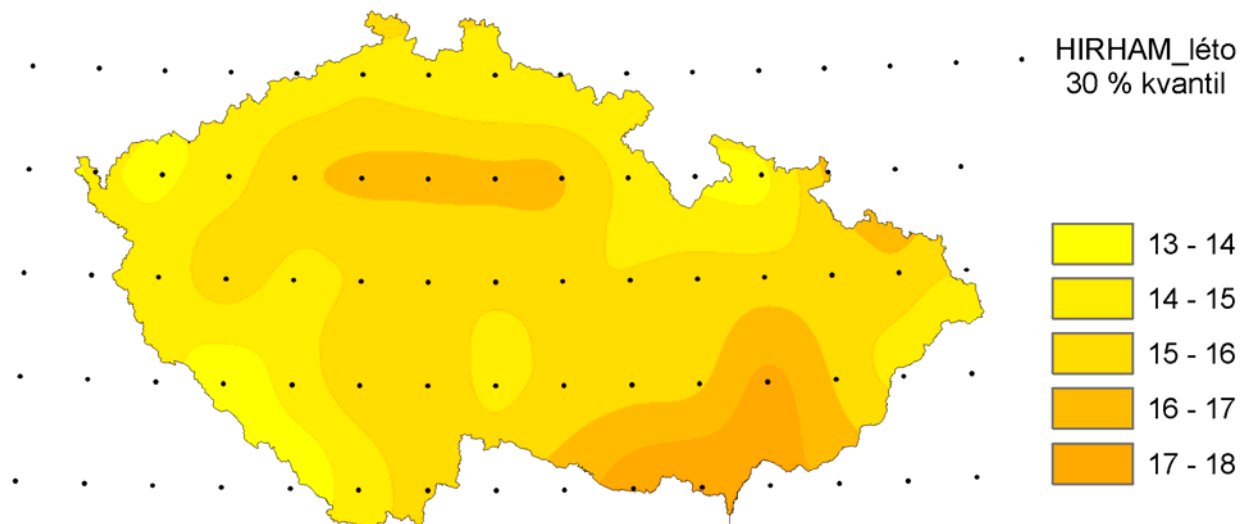
Obr. d.5: Hodnoty 20% kvantilů průměrné měsíční teploty v letním období podle modelu HIRHAM za období 1961-1990.



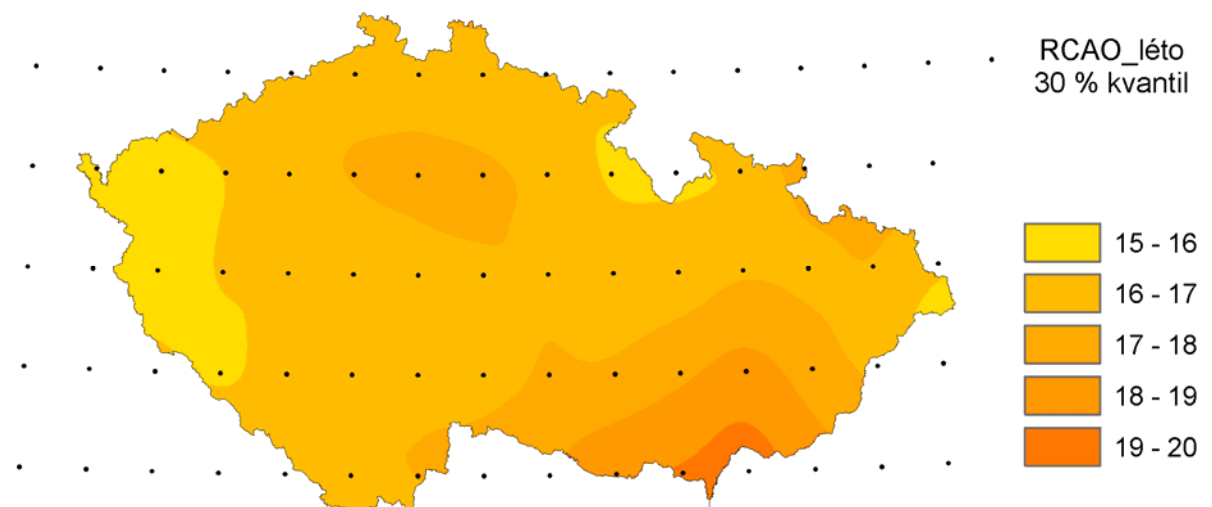
Obr. d.6: Hodnoty 20% kvantilů průměrné měsíční teploty v letním období podle modelu RCAO za období 1961-1990.



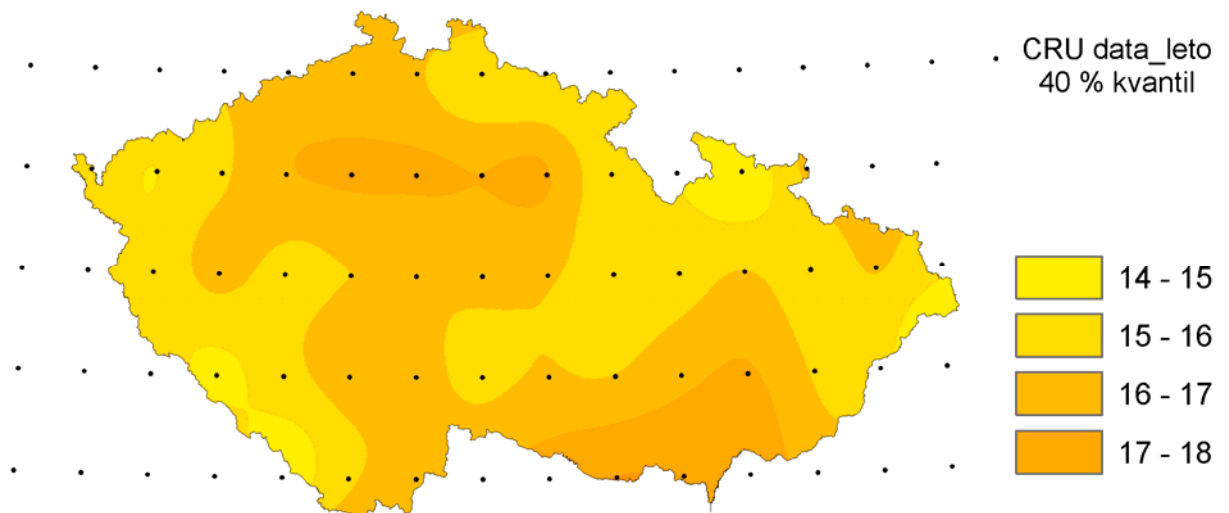
Obr. d.7: Hodnoty 30% kvantilů průměrné měsíční teploty v letním období podle CRU dat za období 1961-1990.



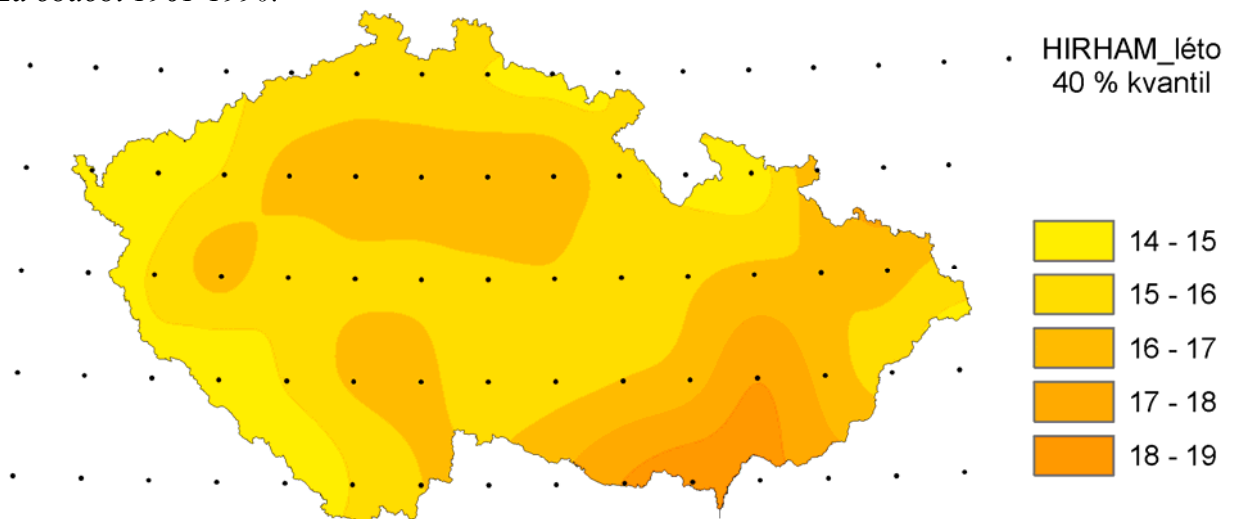
Obr. d.8: Hodnoty 30% kvantilů průměrné měsíční teploty v letním období podle modelu HIRHAM za období 1961-1990.



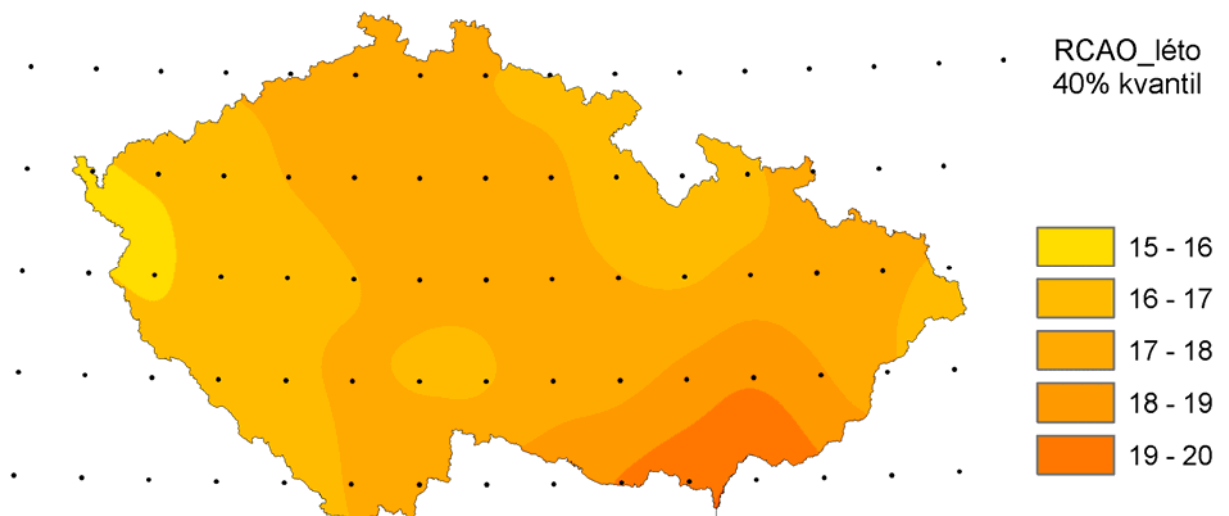
Obr. d.9: Hodnoty 30% kvantilů průměrné měsíční teploty v letním období podle modelu RCAO za období 1961-1990.



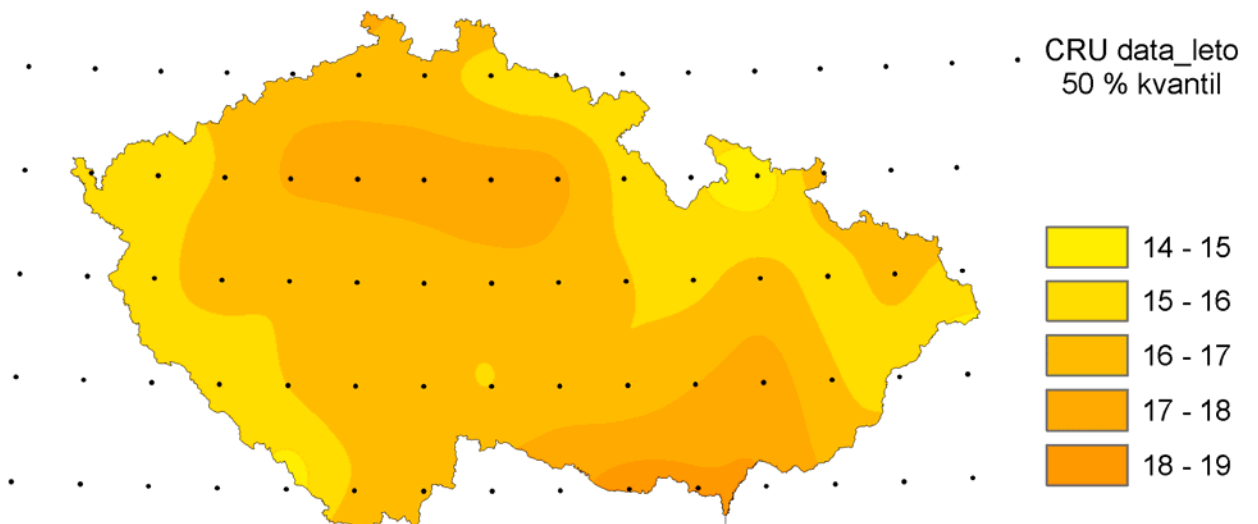
Obr. d.10: Hodnoty 40% kvantilů průměrné měsíční teploty v letním období podle CRU dat za období 1961-1990.



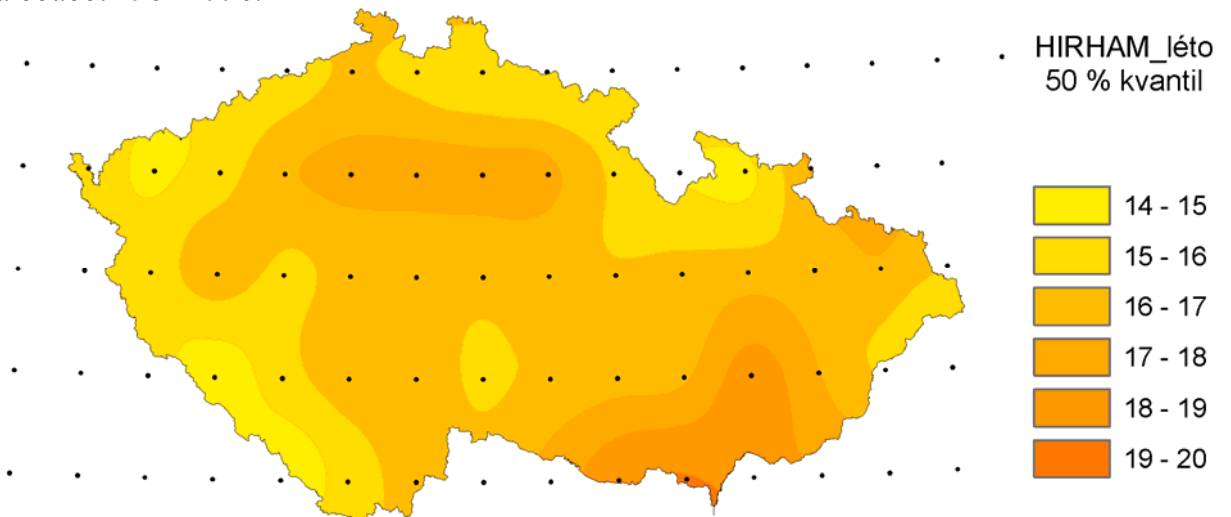
Obr. d.11: Hodnoty 40% kvantilů průměrné měsíční teploty v letním období podle modelu HIRHAM za období 1961-1990.



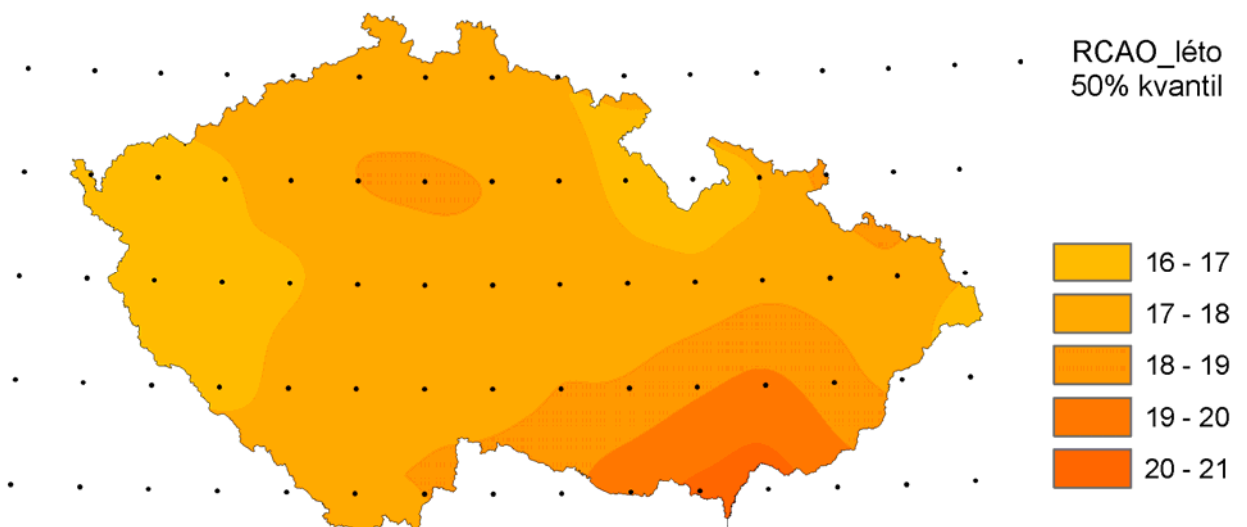
Obr. d.12: Hodnoty 40% kvantilů průměrné měsíční teploty v letním období podle modelu RCAO za období 1961-1990.



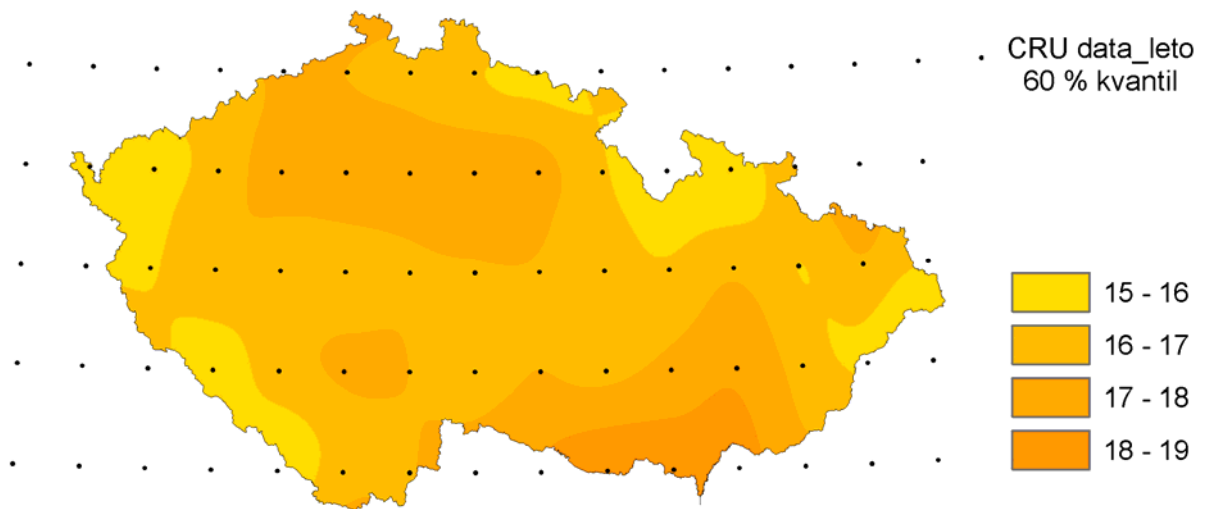
Obr. d.13: Hodnoty 50% kvantilů průměrné měsíční teploty v letním období podle CRU dat za období 1961-1990.



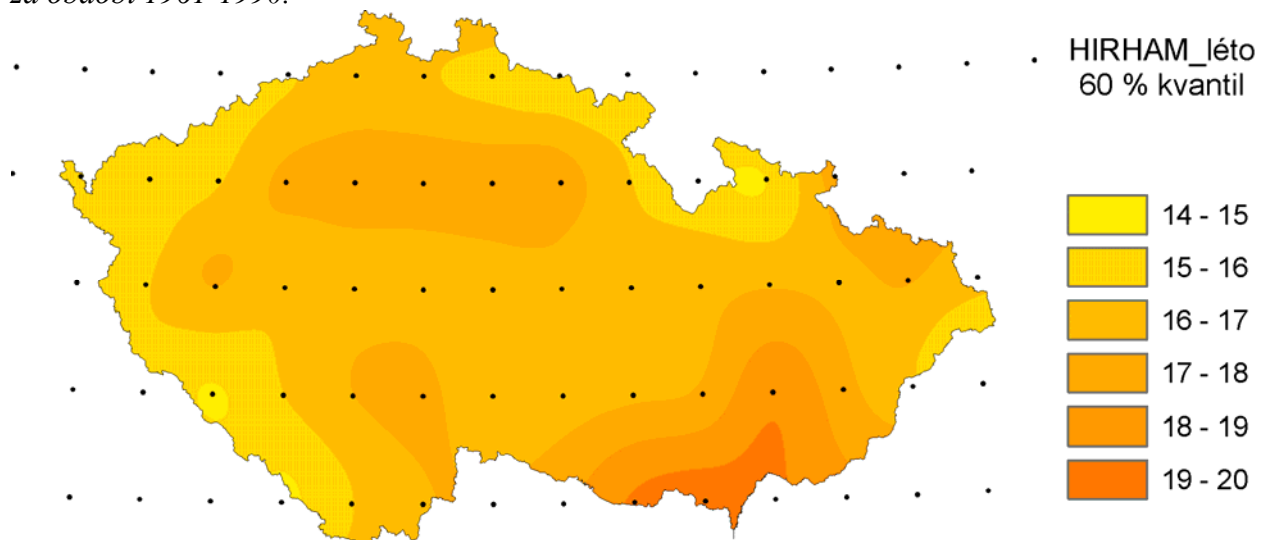
Obr. d.14: Hodnoty 50% kvantilů průměrné měsíční teploty v letním období podle modelu HIRHAM za období 1961-1990.



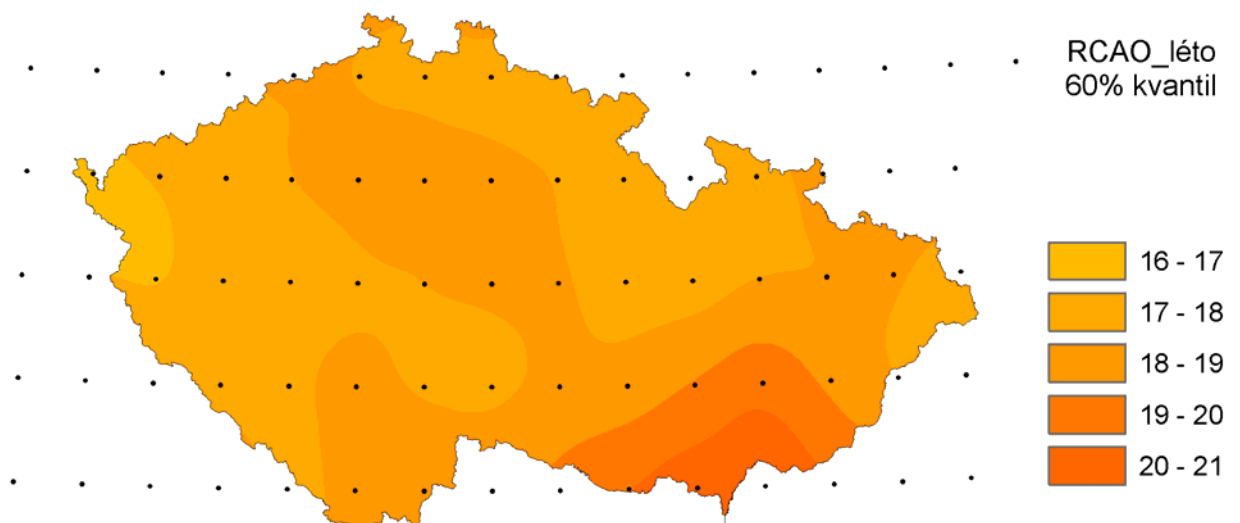
Obr. d.15: Hodnoty 50% kvantilů průměrné měsíční teploty v letním období podle modelu RCAO za období 1961-1990.



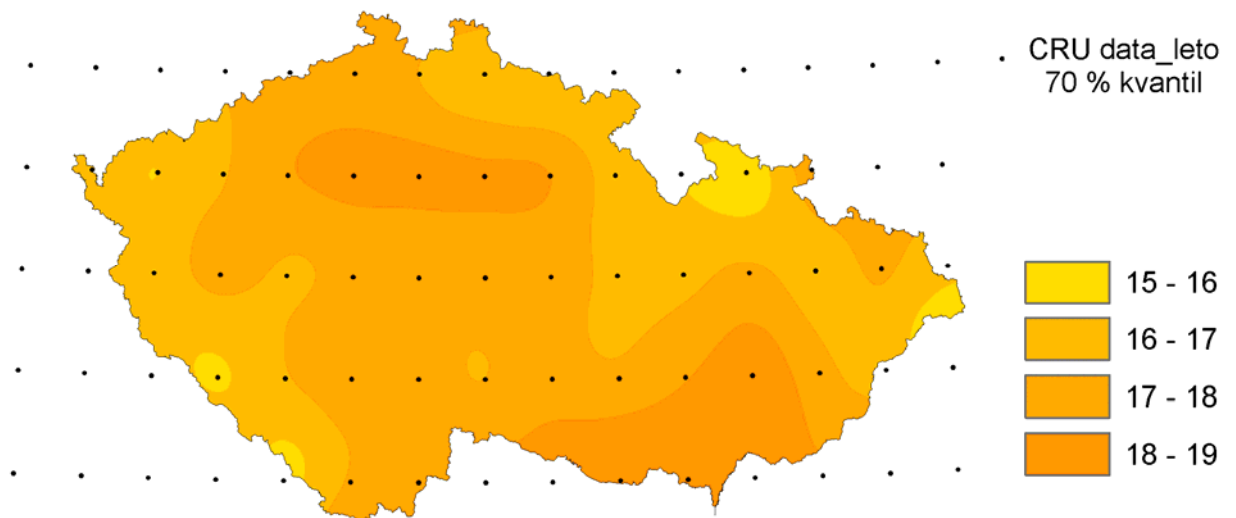
Obr. d.16: Hodnoty 60% kvantilů průměrné měsíční teploty v letním období podle CRU dat za období 1961-1990.



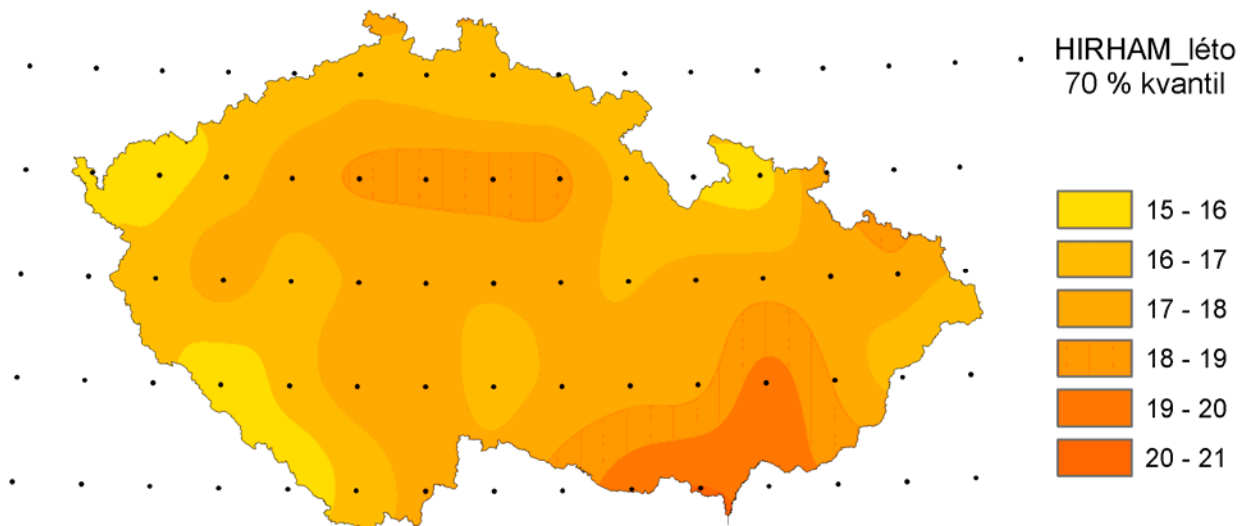
Obr. d.17: Hodnoty 60% kvantilů průměrné měsíční teploty v letním období podle modelu HIRHAM za období 1961-1990.



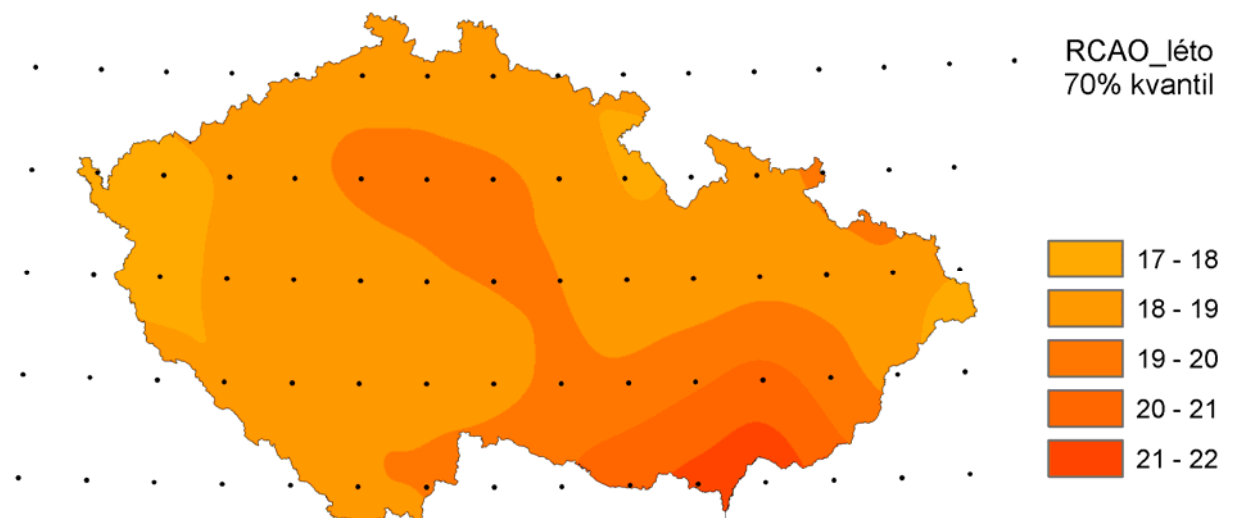
Obr. d.18: Hodnoty 60% kvantilů průměrné měsíční teploty v letním období podle modelu RCAO za období 1961-1990.



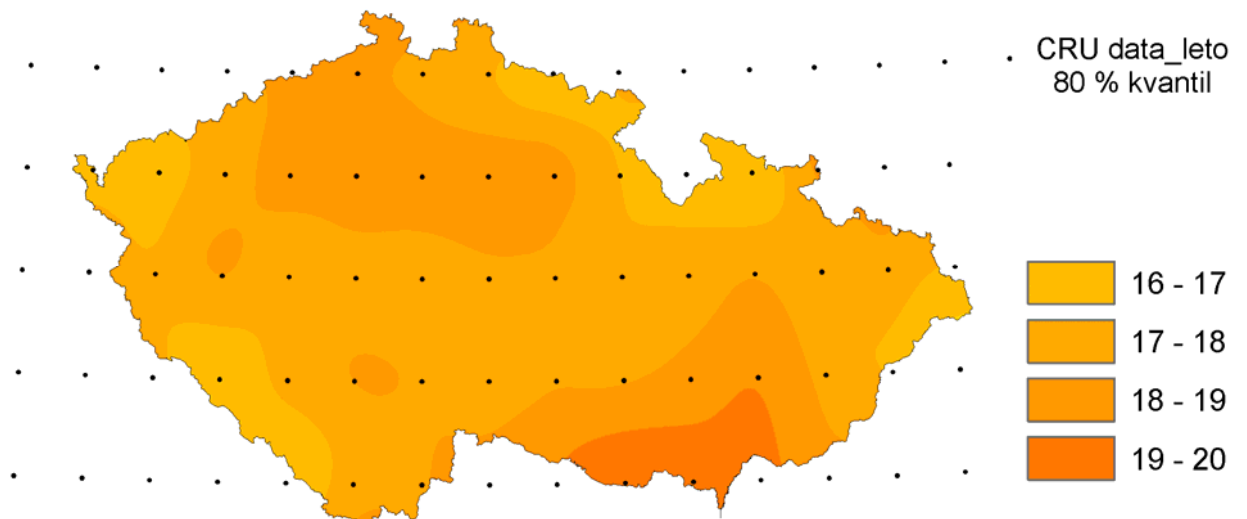
Obr. d.19: Hodnoty 70% kvantilů průměrné měsíční teploty v letním období podle CRU dat za období 1961-1990.



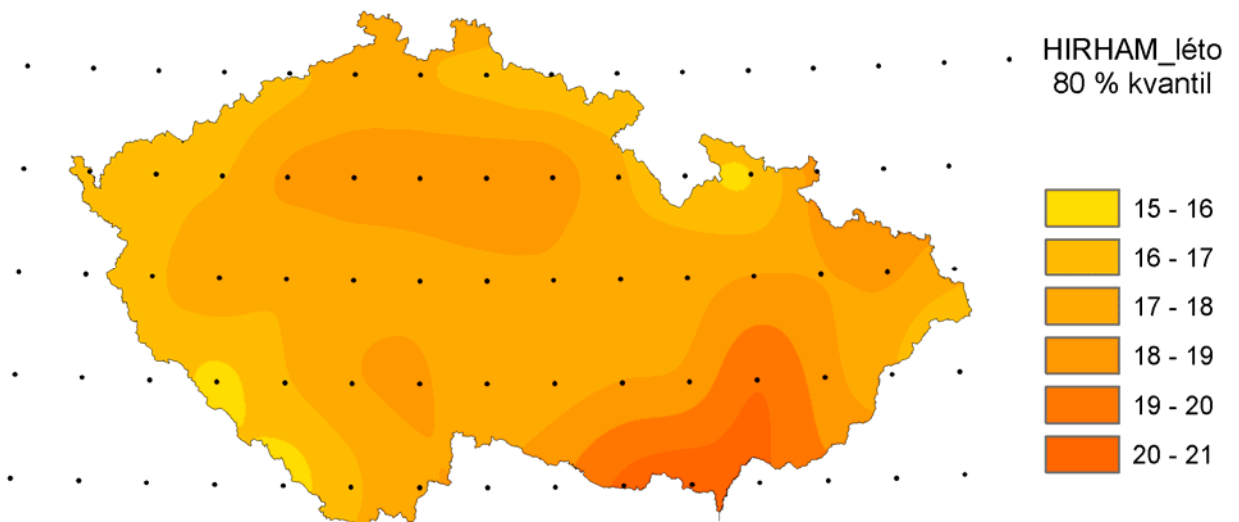
Obr. d.20: Hodnoty 70% kvantilů průměrné měsíční teploty v letním období podle modelu HIRHAM za období 1961-1990.



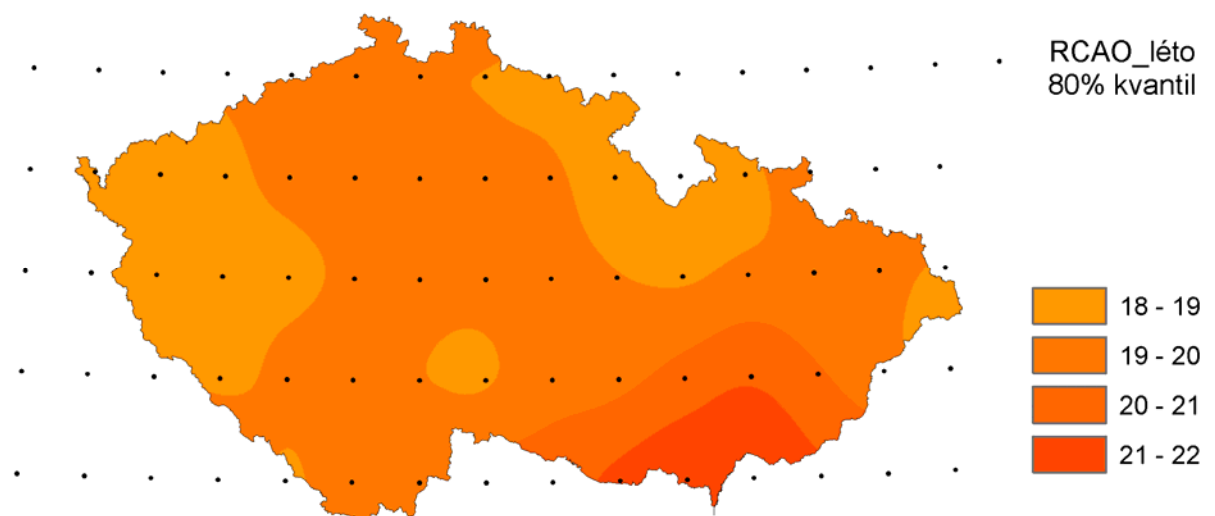
Obr. d.21: Hodnoty 70% kvantilů průměrné měsíční teploty v letním období podle modelu RCAO za období 1961-1990.



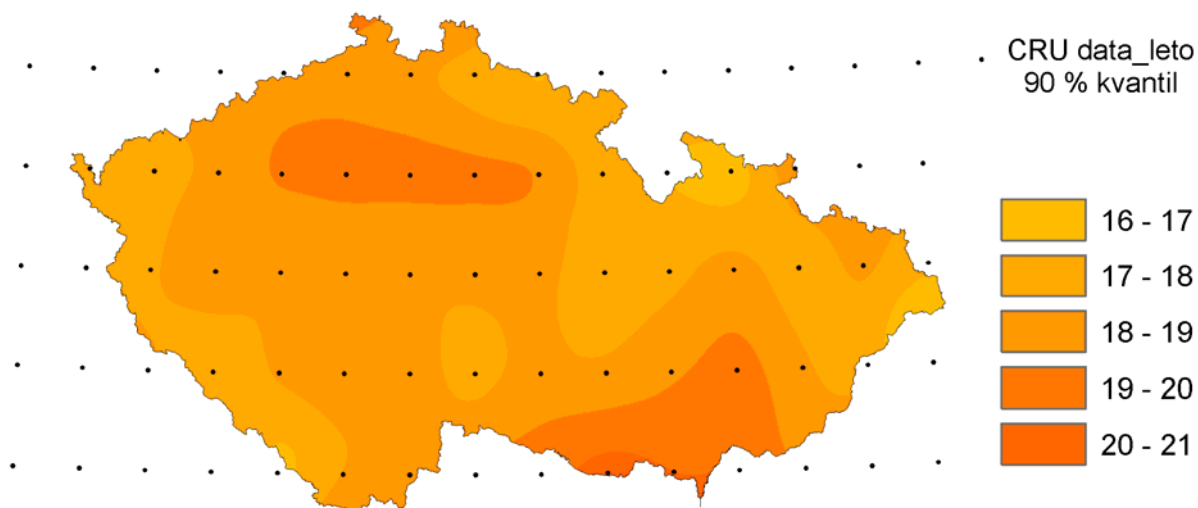
Obr. d.22: Hodnoty 80% kvantilů průměrné měsíční teploty v letním období podle CRU dat za období 1961-1990.



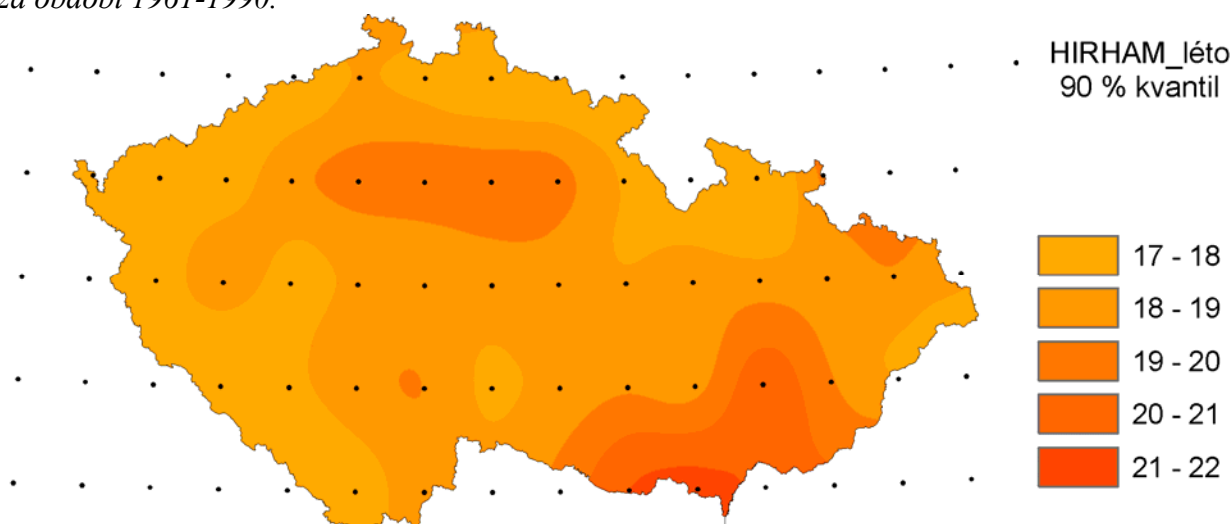
Obr. d.23: Hodnoty 80% kvantilů průměrné měsíční teploty v letním období podle modelu HIRHAM za období 1961-1990.



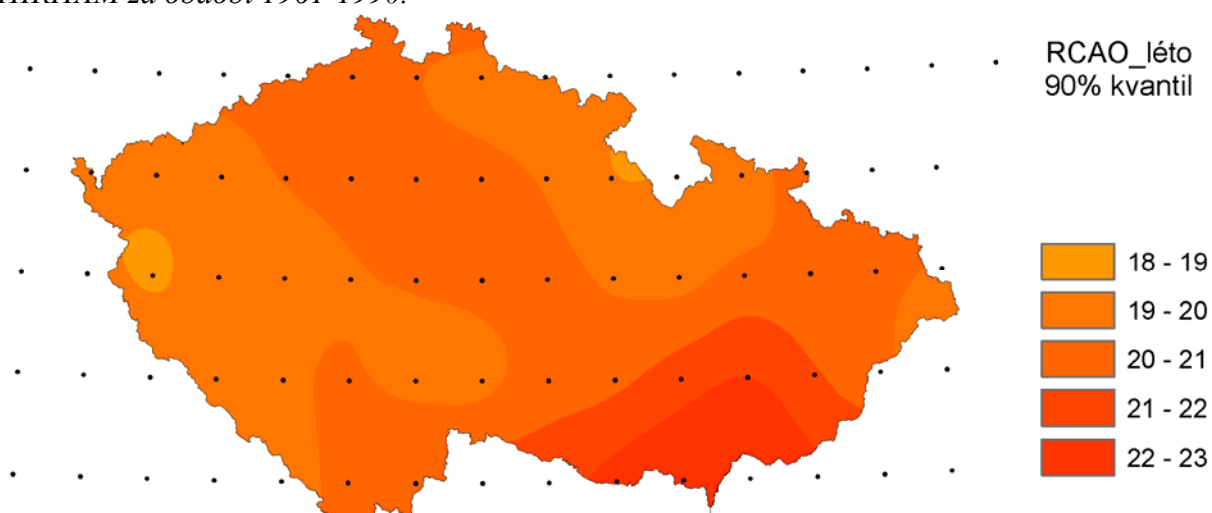
Obr. d.24: Hodnoty 80% kvantilů průměrné měsíční teploty v letním období podle modelu RCAO za období 1961-1990.



Obr. d.25: Hodnoty 90% kvantilů průměrné měsíční teploty v letním období podle CRU dat za období 1961-1990.



Obr. d.26: Hodnoty 90% kvantilů průměrné měsíční teploty v letním období podle modelu HIRHAM za období 1961-1990.



Obr. d.27: Hodnoty 90% kvantilů průměrné měsíční teploty v letním období podle modelu RCAO za období 1961-1990.

Příloha E1: Hodnoty míry vzájemné informace a autokorelační funkce při posunu 1 den a 10 dní na stanicích ČR

stanice	z. délka	z. šířka	MVI 1	MVI 10	MVI 0	AUTO1	AUTO10	autocor1	autocor10
Holešov	17.573	49.319	1.47	0.69	3.14	0.469	0.221	0.78	0.15
Brno, Tuřany	16.696	49.160	1.60	0.77	3.26	0.491	0.235	0.78	0.15
Kostelní Myslová	15.439	49.160	1.53	0.69	3.27	0.468	0.212	0.78	0.15
Kuchařovice	16.086	48.883	1.59	0.75	3.29	0.483	0.226	0.78	0.15
Velké Meziříčí	16.009	49.354	1.52	0.73	3.23	0.471	0.226	0.78	0.15
Husinec	13.993	49.040	1.40	0.65	3.15	0.444	0.206	0.78	0.15
Churáňov	13.613	49.068	1.27	0.50	3.10	0.410	0.161	0.78	0.15
Tábor	14.669	49.414	1.52	0.73	3.19	0.476	0.228	0.78	0.15
Třeboň	14.773	49.009	1.42	0.69	3.09	0.460	0.222	0.78	0.15
Hradec Králové	15.839	50.176	1.51	0.70	3.20	0.473	0.219	0.78	0.15
Svratouch	16.034	49.735	1.48	0.64	3.23	0.457	0.199	0.78	0.15
Klatovy	13.302	49.392	1.47	0.68	3.18	0.460	0.214	0.78	0.15
Kralovice	13.494	49.989	1.52	0.71	3.23	0.471	0.218	0.78	0.15
Přimda	12.679	49.669	1.46	0.64	3.23	0.452	0.196	0.78	0.15
Cheb	12.389	50.074	1.50	0.69	3.14	0.477	0.218	0.78	0.15
Červená	17.542	49.778	1.46	0.64	3.18	0.460	0.201	0.78	0.15
Lučina	18.443	49.731	1.37	0.62	3.09	0.443	0.200	0.78	0.15
Lysá hora	18.448	49.546	1.31	0.51	3.10	0.422	0.166	0.78	0.15
Mošnov	18.120	49.694	1.43	0.67	3.04	0.469	0.221	0.78	0.15
M. Albrechtice-Žáry	17.555	50.152	1.37	0.60	3.16	0.435	0.191	0.78	0.15
Olomouc-Slavonín	17.233	49.567	1.57	0.76	3.17	0.495	0.240	0.78	0.15
Valašské Meziříčí	17.975	49.464	1.42	0.64	3.13	0.455	0.206	0.78	0.15
Praha, Ruzyně	14.258	50.101	1.48	0.68	3.17	0.465	0.214	0.78	0.15
Semčice	15.004	50.367	1.53	0.72	3.20	0.476	0.226	0.78	0.15
Havlíčkův Brod	15.580	49.612	1.49	0.69	3.19	0.468	0.216	0.78	0.15
Ondřejov	14.781	49.911	1.50	0.66	3.27	0.458	0.203	0.78	0.15
Doksany	14.171	50.459	1.49	0.73	3.11	0.477	0.236	0.78	0.15
Žatec	13.547	50.333	1.50	0.72	3.12	0.480	0.232	0.78	0.15
Liberec	15.025	50.769	1.41	0.64	3.18	0.443	0.201	0.78	0.15

Příloha E2: Souřadnice uzlových bodů modelu HIRHAM a odpovídající hodnoty MVI, AUTO a autokorelačních funkcí pro referenční období 1961-1990

šířka	délka	nadm.v.	MVI 1	MVI 10	MVI 0	AUTO 1	AUTO 10	autocor1	autocor10
48.466	13.551	449.2	1.606	0.701	3.270	0.491	0.215	0.975	0.265
48.546	14.203	635.7	1.615	0.700	3.343	0.483	0.209	0.975	0.275
48.622	14.857	696.3	1.568	0.681	3.312	0.474	0.206	0.974	0.268
48.693	15.512	486.9	1.634	0.712	3.420	0.478	0.208	0.974	0.253
48.761	16.170	260.8	1.677	0.750	3.437	0.488	0.218	0.975	0.272
48.814	12.771	411.0	1.631	0.690	3.371	0.484	0.205	0.974	0.244
48.826	16.829	199.4	1.707	0.777	3.446	0.495	0.225	0.975	0.275
48.886	17.490	297.7	1.689	0.763	3.385	0.499	0.225	0.975	0.265
48.898	13.426	744.1	1.562	0.657	3.334	0.469	0.197	0.975	0.282
48.942	18.153	426.3	1.671	0.721	3.451	0.484	0.209	0.974	0.261
48.979	14.084	648.5	1.555	0.629	3.355	0.463	0.188	0.974	0.244
49.055	14.743	467.0	1.629	0.685	3.433	0.474	0.200	0.974	0.239
49.128	15.405	558.9	1.602	0.692	3.356	0.478	0.206	0.974	0.255
49.196	16.069	442.6	1.628	0.703	3.379	0.482	0.208	0.975	0.265
49.245	12.639	506.4	1.584	0.685	3.201	0.495	0.214	0.975	0.265
49.261	16.734	363.9	1.657	0.733	3.368	0.492	0.218	0.975	0.268
49.322	17.401	296.2	1.702	0.762	3.441	0.495	0.222	0.975	0.266
49.330	13.300	597.9	1.567	0.634	3.338	0.469	0.190	0.974	0.248
49.378	18.070	520.5	1.602	0.692	3.315	0.483	0.209	0.974	0.272
49.411	13.963	471.2	1.601	0.668	3.364	0.476	0.199	0.974	0.247
49.431	18.740	634.8	1.547	0.654	3.359	0.460	0.195	0.973	0.253
49.489	14.628	489.3	1.595	0.670	3.328	0.479	0.201	0.975	0.256
49.562	15.296	517.3	1.585	0.673	3.328	0.476	0.202	0.974	0.253
49.586	11.840	458.6	1.575	0.662	3.335	0.472	0.198	0.974	0.240
49.631	15.966	563.5	1.592	0.683	3.329	0.478	0.205	0.975	0.271
49.676	12.504	555.0	1.589	0.668	3.293	0.483	0.203	0.975	0.259
49.697	16.637	462.4	1.637	0.710	3.393	0.483	0.209	0.975	0.262
49.762	13.171	445.7	1.618	0.680	3.373	0.480	0.202	0.974	0.242
49.758	17.310	468.7	1.638	0.730	3.344	0.490	0.218	0.975	0.265
49.815	17.985	340.2	1.615	0.721	3.290	0.491	0.219	0.974	0.256
49.844	13.840	450.4	1.585	0.664	3.307	0.479	0.201	0.975	0.254
49.868	18.662	322.3	1.609	0.692	3.406	0.472	0.203	0.974	0.255
49.922	14.511	342.0	1.609	0.681	3.355	0.480	0.203	0.974	0.248
49.996	15.185	279.2	1.614	0.687	3.361	0.480	0.204	0.974	0.248
50.016	11.696	517.9	1.555	0.633	3.339	0.466	0.190	0.974	0.247
50.066	15.861	273.4	1.649	0.710	3.428	0.481	0.207	0.974	0.255
50.107	12.367	582.7	1.561	0.644	3.342	0.467	0.193	0.974	0.245
50.132	16.538	538.2	1.587	0.679	3.314	0.479	0.205	0.974	0.259
50.194	13.039	570.0	1.538	0.626	3.317	0.464	0.189	0.974	0.243
50.194	17.218	613.3	1.532	0.640	3.275	0.468	0.195	0.974	0.264
50.251	17.899	251.9	1.593	0.702	3.254	0.490	0.216	0.974	0.259
50.277	13.715	331.1	1.573	0.658	3.322	0.473	0.198	0.974	0.239
50.355	14.392	232.0	1.601	0.682	3.349	0.478	0.204	0.974	0.245
50.430	15.072	280.2	1.624	0.698	3.383	0.480	0.206	0.974	0.250
50.501	15.754	454.5	1.600	0.693	3.285	0.487	0.211	0.974	0.262
50.567	16.438	473.0	1.562	0.666	3.293	0.474	0.202	0.974	0.262
50.626	12.906	572.9	1.491	0.601	3.287	0.454	0.183	0.974	0.244
50.709	13.587	499.7	1.530	0.616	3.346	0.457	0.184	0.974	0.245
50.789	14.271	351.0	1.561	0.645	3.361	0.464	0.192	0.974	0.240
50.864	14.957	410.1	1.534	0.632	3.289	0.466	0.192	0.974	0.247
50.935	15.645	502.2	1.527	0.637	3.271	0.467	0.195	0.975	0.273

Příloha E3: Souřadnice uzlových bodů modelu HIRHAM a hodnoty MVI a AUTO pro scénář A2 v období 2071-2100

šířka	délka	nadm.v.	MVI 1	MVI 10	MVI 0	AUTO 1	AUTO 10
48.466	13.551	449.2	1.736	0.826	3.468	0.501	0.238
48.546	14.203	635.7	1.681	0.796	3.405	0.494	0.234
48.622	14.857	696.3	1.640	0.777	3.314	0.495	0.235
48.693	15.512	486.9	1.683	0.812	3.330	0.506	0.244
48.761	16.170	260.8	1.759	0.872	3.373	0.521	0.258
48.814	12.771	411.0	1.757	0.828	3.474	0.506	0.238
48.826	16.829	199.4	1.795	0.898	3.452	0.520	0.260
48.886	17.490	297.7	1.778	0.882	3.426	0.519	0.257
48.898	13.426	744.1	1.625	0.736	3.376	0.482	0.218
48.942	18.153	426.3	1.755	0.843	3.443	0.510	0.245
48.979	14.084	648.5	1.614	0.723	3.356	0.481	0.216
49.055	14.743	467.0	1.705	0.797	3.454	0.494	0.231
49.128	15.405	558.9	1.675	0.798	3.382	0.495	0.236
49.196	16.069	442.6	1.702	0.821	3.403	0.500	0.241
49.245	12.639	506.4	1.721	0.812	3.416	0.504	0.238
49.261	16.734	363.9	1.712	0.842	3.332	0.514	0.253
49.322	17.401	296.2	1.775	0.876	3.447	0.515	0.254
49.330	13.300	597.9	1.628	0.731	3.367	0.484	0.217
49.378	18.070	520.5	1.660	0.790	3.341	0.497	0.237
49.411	13.963	471.2	1.695	0.792	3.417	0.496	0.232
49.431	18.740	634.8	1.603	0.736	3.340	0.480	0.220
49.489	14.628	489.3	1.660	0.771	3.383	0.491	0.228
49.562	15.296	517.3	1.667	0.790	3.382	0.493	0.234
49.586	11.840	458.6	1.709	0.786	3.410	0.501	0.231
49.631	15.966	563.5	1.645	0.784	3.341	0.492	0.235
49.676	12.504	555.0	1.634	0.763	3.277	0.499	0.233
49.697	16.637	462.4	1.716	0.833	3.409	0.503	0.244
49.762	13.171	445.7	1.688	0.825	3.360	0.502	0.246
49.758	17.310	468.7	1.696	0.802	3.402	0.499	0.236
49.815	17.985	340.2	1.695	0.828	3.366	0.504	0.246
49.844	13.840	450.4	1.615	0.752	3.289	0.491	0.229
49.868	18.662	322.3	1.659	0.789	3.365	0.493	0.234
49.922	14.511	342.0	1.677	0.793	3.356	0.500	0.236
49.996	15.185	279.2	1.664	0.794	3.311	0.503	0.240
50.016	11.696	517.9	1.688	0.763	3.415	0.494	0.223
50.066	15.861	273.4	1.743	0.830	3.440	0.507	0.241
50.107	12.367	582.7	1.642	0.761	3.358	0.489	0.227
50.132	16.538	538.2	1.672	0.789	3.401	0.492	0.232
50.194	13.039	570.0	1.598	0.727	3.322	0.481	0.219
50.194	17.218	613.3	1.588	0.714	3.347	0.475	0.213
50.251	17.899	251.9	1.656	0.790	3.330	0.497	0.237
50.277	13.715	331.1	1.638	0.771	3.362	0.487	0.229
50.355	14.392	232.0	1.675	0.799	3.370	0.497	0.237
50.430	15.072	280.2	1.695	0.820	3.396	0.499	0.242
50.501	15.754	454.5	1.668	0.799	3.385	0.493	0.236
50.567	16.438	473.0	1.624	0.760	3.333	0.487	0.228
50.626	12.906	572.9	1.552	0.689	3.316	0.468	0.208
50.709	13.587	499.7	1.561	0.700	3.299	0.473	0.212
50.789	14.271	351.0	1.625	0.746	3.393	0.479	0.220
50.864	14.957	410.1	1.599	0.728	3.369	0.474	0.216
50.935	15.645	502.2	1.565	0.719	3.331	0.470	0.216

Příloha E4: Souřadnice uzlových bodů modelu HIRHAM a hodnoty MVI a AUTO pro scénář B2 v období 2071-2100

šířka	délka	nadm.v.	MVI 1	MVI 10	MVI 0	AUTO 1	AUTO 10
48.466	13.551	449.2	1.706	0.807	3.426	0.498	0.236
48.546	14.203	635.7	1.671	0.772	3.387	0.493	0.228
48.622	14.857	696.3	1.655	0.746	3.404	0.486	0.219
48.693	15.512	486.9	1.669	0.777	3.362	0.496	0.231
48.761	16.170	260.8	1.719	0.831	3.432	0.501	0.242
48.814	12.771	411.0	1.709	0.804	3.450	0.495	0.233
48.826	16.829	199.4	1.740	0.845	3.413	0.510	0.247
48.886	17.490	297.7	1.737	0.842	3.393	0.512	0.248
48.898	13.426	744.1	1.633	0.723	3.369	0.485	0.215
48.942	18.153	426.3	1.718	0.795	3.440	0.500	0.231
48.979	14.084	648.5	1.631	0.709	3.453	0.472	0.205
49.055	14.743	467.0	1.686	0.759	3.487	0.484	0.218
49.128	15.405	558.9	1.664	0.761	3.447	0.483	0.221
49.196	16.069	442.6	1.693	0.784	3.470	0.488	0.226
49.245	12.639	506.4	1.677	0.800	3.358	0.499	0.238
49.261	16.734	363.9	1.700	0.814	3.395	0.501	0.240
49.322	17.401	296.2	1.734	0.826	3.369	0.515	0.245
49.330	13.300	597.9	1.621	0.719	3.387	0.479	0.212
49.378	18.070	520.5	1.649	0.743	3.364	0.490	0.221
49.411	13.963	471.2	1.669	0.764	3.428	0.487	0.223
49.431	18.740	634.8	1.583	0.694	3.389	0.467	0.205
49.489	14.628	489.3	1.651	0.751	3.396	0.486	0.221
49.562	15.296	517.3	1.653	0.753	3.404	0.486	0.221
49.586	11.840	458.6	1.661	0.770	3.389	0.490	0.227
49.631	15.966	563.5	1.655	0.745	3.480	0.476	0.214
49.676	12.504	555.0	1.649	0.755	3.358	0.491	0.225
49.697	16.637	462.4	1.704	0.788	3.450	0.494	0.228
49.762	13.171	445.7	1.694	0.785	3.447	0.491	0.228
49.758	17.310	468.7	1.679	0.788	3.372	0.498	0.234
49.815	17.985	340.2	1.617	0.772	3.171	0.510	0.243
49.844	13.840	450.4	1.617	0.743	3.331	0.486	0.223
49.868	18.662	322.3	1.610	0.745	3.327	0.484	0.224
49.922	14.511	342.0	1.653	0.753	3.390	0.488	0.222
49.996	15.185	279.2	1.663	0.764	3.413	0.487	0.224
50.016	11.696	517.9	1.631	0.742	3.368	0.484	0.220
50.066	15.861	273.4	1.686	0.778	3.412	0.494	0.228
50.107	12.367	582.7	1.617	0.739	3.309	0.489	0.223
50.132	16.538	538.2	1.655	0.752	3.411	0.485	0.220
50.194	13.039	570.0	1.583	0.698	3.314	0.478	0.211
50.194	17.218	613.3	1.567	0.677	3.388	0.462	0.200
50.251	17.899	251.9	1.603	0.743	3.294	0.487	0.226
50.277	13.715	331.1	1.609	0.728	3.305	0.487	0.220
50.355	14.392	232.0	1.649	0.764	3.376	0.488	0.226
50.430	15.072	280.2	1.665	0.783	3.393	0.491	0.231
50.501	15.754	454.5	1.642	0.763	3.355	0.489	0.228
50.567	16.438	473.0	1.607	0.726	3.307	0.486	0.219
50.626	12.906	572.9	1.559	0.676	3.359	0.464	0.201
50.709	13.587	499.7	1.551	0.674	3.333	0.465	0.202
50.789	14.271	351.0	1.595	0.707	3.389	0.471	0.209
50.864	14.957	410.1	1.576	0.699	3.376	0.467	0.207
50.935	15.645	502.2	1.551	0.680	3.278	0.473	0.207

Příloha E5: Souřadnice uzlových bodů modelu RCAO a hodnoty MVI a AUTO
pro referenční období 1961-1990

šířka	délka	nadm.v.	MVI 1	MVI 10	MVI 0	AUTO 1	AUTO 10
48.598	13.964	611.2	1.525	0.632	3.145	0.485	0.201
48.668	14.614	639.2	1.520	0.637	3.140	0.484	0.203
48.733	15.265	534.4	1.590	0.678	3.243	0.490	0.209
48.794	15.918	341.6	1.626	0.712	3.255	0.500	0.219
48.851	16.573	239.6	1.621	0.752	3.199	0.507	0.235
48.903	17.229	254.4	1.662	0.780	3.211	0.518	0.243
48.951	17.887	363.6	1.676	0.781	3.235	0.518	0.241
48.958	13.200	578.4	1.541	0.649	3.151	0.489	0.206
49.032	13.854	691.2	1.544	0.641	3.136	0.492	0.204
49.102	14.510	517.6	1.558	0.652	3.161	0.493	0.206
49.168	15.167	531.2	1.602	0.675	3.262	0.491	0.207
49.230	15.827	466.0	1.623	0.705	3.259	0.498	0.216
49.287	16.488	362.0	1.617	0.729	3.182	0.508	0.229
49.312	12.424	473.6	1.556	0.665	3.106	0.501	0.214
49.340	17.151	317.2	1.654	0.756	3.231	0.512	0.234
49.391	13.082	549.6	1.563	0.654	3.124	0.500	0.209
49.389	17.815	413.2	1.681	0.752	3.282	0.512	0.229
49.433	18.481	549.6	1.645	0.722	3.286	0.501	0.220
49.466	13.742	519.6	1.571	0.649	3.132	0.501	0.207
49.537	14.404	457.2	1.595	0.678	3.151	0.506	0.215
49.603	15.068	492.0	1.590	0.677	3.205	0.496	0.211
49.666	15.734	492.4	1.625	0.702	3.253	0.500	0.216
49.723	16.402	460.0	1.623	0.713	3.217	0.505	0.222
49.744	12.297	518.4	1.540	0.633	3.094	0.498	0.205
49.777	17.071	409.6	1.621	0.720	3.180	0.510	0.226
49.824	12.961	503.6	1.538	0.639	3.088	0.498	0.207
49.826	17.742	400.4	1.638	0.727	3.217	0.509	0.226
49.871	18.414	336.8	1.625	0.712	3.196	0.508	0.223
49.900	13.628	453.6	1.543	0.638	3.098	0.498	0.206
49.971	14.296	357.6	1.580	0.666	3.130	0.505	0.213
50.038	14.967	326.0	1.581	0.670	3.162	0.500	0.212
50.101	15.639	328.8	1.607	0.693	3.238	0.496	0.214
50.160	16.314	450.8	1.574	0.677	3.154	0.499	0.215
50.176	12.168	534.0	1.503	0.621	3.021	0.498	0.206
50.214	16.990	523.6	1.567	0.685	3.119	0.503	0.220
50.257	12.838	578.8	1.497	0.607	3.008	0.498	0.202
50.264	17.668	344.4	1.579	0.697	3.126	0.505	0.223
50.333	13.511	409.6	1.531	0.638	3.052	0.502	0.209
50.406	14.187	294.8	1.566	0.656	3.140	0.499	0.209
50.473	14.864	288.0	1.587	0.675	3.182	0.499	0.212
50.537	15.543	393.2	1.596	0.674	3.216	0.496	0.210
50.596	16.224	452.4	1.547	0.659	3.050	0.507	0.216
50.690	12.713	498.0	1.485	0.607	2.989	0.497	0.203
50.767	13.393	476.0	1.487	0.626	3.002	0.495	0.208
50.840	14.075	348.0	1.541	0.653	3.065	0.503	0.213
50.908	14.759	353.2	1.589	0.674	3.206	0.496	0.210
50.973	15.445	451.2	1.535	0.664	3.011	0.510	0.221

Příloha E6: Souřadnice uzlových bodů modelu RCAO a hodnoty MVI a AUTO pro scénář A2 v období 2071-2100

šířka	délka	nadm.v.	MVI 1	MVI 10	MVI 0	AUTO 1	AUTO 10
48.598	13.964	611.2	1.588	0.697	3.235	0.491	0.215
48.668	14.614	639.2	1.559	0.692	3.175	0.491	0.218
48.733	15.265	534.4	1.601	0.723	3.183	0.503	0.227
48.794	15.918	341.6	1.629	0.758	3.210	0.507	0.236
48.851	16.573	239.6	1.679	0.800	3.211	0.523	0.249
48.903	17.229	254.4	1.693	0.819	3.198	0.529	0.256
48.951	17.887	363.6	1.735	0.817	3.254	0.533	0.251
48.958	13.200	578.4	1.597	0.709	3.188	0.501	0.222
49.032	13.854	691.2	1.576	0.698	3.174	0.496	0.220
49.102	14.510	517.6	1.582	0.706	3.156	0.501	0.224
49.168	15.167	531.2	1.592	0.726	3.134	0.508	0.232
49.230	15.827	466.0	1.613	0.751	3.150	0.512	0.238
49.287	16.488	362.0	1.653	0.779	3.224	0.513	0.242
49.312	12.424	473.6	1.582	0.722	3.114	0.508	0.232
49.340	17.151	317.2	1.686	0.800	3.236	0.521	0.247
49.391	13.082	549.6	1.592	0.714	3.104	0.513	0.230
49.389	17.815	413.2	1.700	0.781	3.268	0.520	0.239
49.433	18.481	549.6	1.695	0.747	3.301	0.514	0.226
49.466	13.742	519.6	1.573	0.702	3.127	0.503	0.225
49.537	14.404	457.2	1.608	0.726	3.154	0.510	0.230
49.603	15.068	492.0	1.571	0.717	3.113	0.505	0.230
49.666	15.734	492.4	1.597	0.743	3.108	0.514	0.239
49.723	16.402	460.0	1.619	0.757	3.115	0.520	0.243
49.744	12.297	518.4	1.589	0.703	3.139	0.506	0.224
49.777	17.071	409.6	1.636	0.755	3.162	0.517	0.239
49.824	12.961	503.6	1.575	0.697	3.109	0.506	0.224
49.826	17.742	400.4	1.660	0.759	3.220	0.515	0.236
49.871	18.414	336.8	1.665	0.736	3.232	0.515	0.228
49.900	13.628	453.6	1.562	0.687	3.125	0.500	0.220
49.971	14.296	357.6	1.594	0.710	3.152	0.506	0.225
50.038	14.967	326.0	1.589	0.720	3.134	0.507	0.230
50.101	15.639	328.8	1.588	0.726	3.104	0.511	0.234
50.160	16.314	450.8	1.578	0.713	3.092	0.510	0.231
50.176	12.168	534.0	1.599	0.694	3.229	0.495	0.215
50.214	16.990	523.6	1.595	0.721	3.107	0.513	0.232
50.257	12.838	578.8	1.557	0.667	3.176	0.490	0.210
50.264	17.668	344.4	1.594	0.721	3.124	0.510	0.231
50.333	13.511	409.6	1.576	0.690	3.151	0.500	0.219
50.406	14.187	294.8	1.585	0.703	3.187	0.497	0.221
50.473	14.864	288.0	1.585	0.705	3.178	0.499	0.222
50.537	15.543	393.2	1.592	0.704	3.143	0.506	0.224
50.596	16.224	452.4	1.586	0.697	3.132	0.506	0.222
50.690	12.713	498.0	1.521	0.657	3.086	0.493	0.213
50.767	13.393	476.0	1.532	0.667	3.104	0.494	0.215
50.840	14.075	348.0	1.577	0.694	3.194	0.494	0.217
50.908	14.759	353.2	1.599	0.705	3.244	0.493	0.217
50.973	15.445	451.2	1.598	0.704	3.220	0.496	0.219

Příloha E7: Souřadnice uzlových bodů modelu RCAO a hodnoty MVI a AUTO pro scénář B2 v období 2071-2100

šířka	délka	nadm.v.	MVI 1	MVI 10	MVI 0	AUTO 1	AUTO 10
48.598	13.964	611.2	1.611	0.691	3.251	0.495	0.213
48.668	14.614	639.2	1.590	0.689	3.169	0.502	0.217
48.733	15.265	534.4	1.595	0.712	3.088	0.516	0.231
48.794	15.918	341.6	1.615	0.739	3.068	0.526	0.241
48.851	16.573	239.6	1.689	0.802	3.151	0.536	0.254
48.903	17.229	254.4	1.716	0.825	3.211	0.534	0.257
48.951	17.887	363.6	1.746	0.831	3.219	0.542	0.258
48.958	13.200	578.4	1.649	0.717	3.260	0.506	0.220
49.032	13.854	691.2	1.606	0.689	3.185	0.504	0.216
49.102	14.510	517.6	1.590	0.706	3.095	0.514	0.228
49.168	15.167	531.2	1.570	0.714	3.043	0.516	0.235
49.230	15.827	466.0	1.593	0.740	3.042	0.524	0.243
49.287	16.488	362.0	1.679	0.786	3.134	0.536	0.251
49.312	12.424	473.6	1.655	0.724	3.242	0.510	0.223
49.340	17.151	317.2	1.692	0.800	3.161	0.535	0.253
49.391	13.082	549.6	1.624	0.716	3.121	0.520	0.229
49.389	17.815	413.2	1.695	0.790	3.172	0.534	0.249
49.433	18.481	549.6	1.675	0.770	3.157	0.531	0.244
49.466	13.742	519.6	1.609	0.708	3.103	0.518	0.228
49.537	14.404	457.2	1.607	0.729	3.078	0.522	0.237
49.603	15.068	492.0	1.565	0.713	3.009	0.520	0.237
49.666	15.734	492.4	1.580	0.734	3.003	0.526	0.244
49.723	16.402	460.0	1.607	0.743	3.052	0.527	0.243
49.744	12.297	518.4	1.618	0.690	3.169	0.510	0.218
49.777	17.071	409.6	1.630	0.756	3.097	0.526	0.244
49.824	12.961	503.6	1.597	0.697	3.090	0.517	0.225
49.826	17.742	400.4	1.665	0.768	3.138	0.530	0.245
49.871	18.414	336.8	1.651	0.751	3.121	0.529	0.241
49.900	13.628	453.6	1.572	0.680	3.051	0.515	0.223
49.971	14.296	357.6	1.579	0.707	3.047	0.518	0.232
50.038	14.967	326.0	1.571	0.715	3.020	0.520	0.237
50.101	15.639	328.8	1.565	0.716	2.966	0.528	0.241
50.160	16.314	450.8	1.569	0.710	2.965	0.529	0.239
50.176	12.168	534.0	1.603	0.685	3.180	0.504	0.215
50.214	16.990	523.6	1.582	0.721	3.019	0.524	0.239
50.257	12.838	578.8	1.572	0.663	3.113	0.505	0.213
50.264	17.668	344.4	1.620	0.739	3.077	0.527	0.240
50.333	13.511	409.6	1.578	0.694	3.037	0.520	0.229
50.406	14.187	294.8	1.547	0.704	3.012	0.514	0.234
50.473	14.864	288.0	1.562	0.711	3.003	0.520	0.237
50.537	15.543	393.2	1.554	0.706	2.963	0.524	0.238
50.596	16.224	452.4	1.536	0.701	2.927	0.525	0.240
50.690	12.713	498.0	1.571	0.673	3.163	0.497	0.213
50.767	13.393	476.0	1.567	0.676	3.098	0.506	0.218
50.840	14.075	348.0	1.557	0.694	3.024	0.515	0.230
50.908	14.759	353.2	1.537	0.703	2.971	0.517	0.236
50.973	15.445	451.2	1.532	0.700	2.935	0.522	0.239

Příloha E8: Souřadnice uzlových bodů CRU dat a hodnoty MVI, podílů MVI a autokorelačních funkcí pro referenční období 1961-1990 (str. 170)

šířka	délka	MVI 1	MVI 10	MVI 0	AUTO 1	AUTO 10	autocor1	autocor10
48.25	11.25	0.212	0.180	0.713	0.059	0.051	0.203	-0.005
48.25	11.75	0.218	0.170	0.708	0.062	0.048	0.203	-0.005
48.25	12.25	0.221	0.181	0.715	0.062	0.050	0.203	-0.005
48.25	12.75	0.221	0.176	0.715	0.062	0.049	0.203	-0.005
48.25	13.25	0.225	0.181	0.714	0.063	0.051	0.203	-0.005
48.25	13.75	0.231	0.178	0.721	0.064	0.049	0.203	-0.005
48.25	14.25	0.230	0.191	0.726	0.063	0.053	0.204	-0.005
48.25	14.75	0.224	0.186	0.719	0.062	0.052	0.204	-0.005
48.25	15.25	0.231	0.182	0.723	0.064	0.050	0.204	-0.005
48.25	16.25	0.224	0.174	0.730	0.061	0.048	0.205	-0.005
48.25	17.25	0.230	0.183	0.733	0.063	0.050	0.206	-0.005
48.25	18.25	0.224	0.172	0.729	0.062	0.047	0.206	-0.005
48.25	19.25	0.237	0.180	0.733	0.065	0.049	0.206	-0.005
48.75	11.25	0.215	0.178	0.671	0.064	0.053	0.203	-0.005
48.75	12.25	0.218	0.173	0.715	0.061	0.049	0.204	-0.005
48.75	13.25	0.217	0.178	0.671	0.065	0.053	0.202	-0.005
48.75	14.25	0.223	0.189	0.721	0.062	0.052	0.204	-0.005
48.75	15.25	0.222	0.181	0.723	0.061	0.050	0.205	-0.005
48.75	16.25	0.219	0.181	0.724	0.060	0.050	0.205	-0.005
48.75	17.25	0.224	0.178	0.726	0.062	0.049	0.205	-0.005
48.75	18.25	0.222	0.168	0.717	0.062	0.047	0.204	-0.005
48.75	19.25	0.224	0.165	0.730	0.061	0.045	0.204	-0.004
49.25	11.25	0.210	0.166	0.717	0.059	0.046	0.203	-0.005
49.25	12.25	0.209	0.165	0.715	0.058	0.046	0.204	-0.005
49.25	13.25	0.210	0.166	0.717	0.059	0.046	0.203	-0.005
49.25	14.25	0.219	0.172	0.716	0.061	0.048	0.204	-0.005
49.25	15.25	0.229	0.176	0.727	0.063	0.049	0.204	-0.005
49.25	16.25	0.218	0.165	0.722	0.060	0.046	0.204	-0.005
49.25	17.25	0.218	0.165	0.722	0.060	0.046	0.204	-0.005
49.25	18.25	0.220	0.165	0.715	0.062	0.046	0.203	-0.005
49.25	19.25	0.219	0.167	0.726	0.060	0.046	0.202	-0.004
49.75	11.25	0.210	0.172	0.719	0.058	0.048	0.203	-0.005
49.75	12.25	0.204	0.169	0.721	0.057	0.047	0.202	-0.005
49.75	13.25	0.199	0.150	0.715	0.056	0.042	0.203	-0.005
49.75	14.25	0.213	0.180	0.715	0.060	0.050	0.204	-0.005
49.75	15.25	0.224	0.175	0.732	0.061	0.048	0.204	-0.005
49.75	16.25	0.219	0.170	0.724	0.060	0.047	0.203	-0.005
49.75	17.25	0.211	0.153	0.717	0.059	0.043	0.203	-0.005
49.75	18.25	0.225	0.168	0.720	0.063	0.047	0.203	-0.005
49.75	19.25	0.208	0.161	0.717	0.058	0.045	0.202	-0.004
50.25	11.25	0.214	0.170	0.722	0.059	0.047	0.202	-0.005
50.25	12.25	0.208	0.164	0.722	0.058	0.045	0.202	-0.005
50.25	13.25	0.214	0.157	0.722	0.059	0.043	0.203	-0.005
50.25	14.25	0.218	0.172	0.723	0.060	0.048	0.204	-0.005
50.25	15.25	0.230	0.166	0.725	0.063	0.046	0.204	-0.005
50.25	16.25	0.217	0.172	0.712	0.061	0.048	0.202	-0.005
50.25	17.25	0.208	0.155	0.719	0.058	0.043	0.203	-0.005
50.25	19.25	0.210	0.162	0.720	0.058	0.045	0.200	-0.004
50.75	11.25	0.213	0.164	0.721	0.059	0.045	0.201	-0.005
50.75	13.25	0.215	0.172	0.723	0.059	0.048	0.202	-0.005
50.75	15.25	0.227	0.172	0.724	0.063	0.047	0.203	-0.005
50.75	17.25	0.213	0.166	0.719	0.059	0.046	0.203	-0.005
50.75	19.25	0.205	0.158	0.718	0.057	0.044	0.197	-0.004
51.25	11.25	0.208	0.157	0.714	0.058	0.044	0.202	-0.005
51.25	13.25	0.207	0.158	0.721	0.057	0.044	0.203	-0.005
51.25	15.25	0.206	0.161	0.725	0.057	0.044	0.203	-0.005
51.25	17.25	0.224	0.173	0.716	0.063	0.048	0.202	-0.004
51.25	19.25	0.204	0.157	0.713	0.057	0.044	0.198	-0.004
51.75	11.25	0.208	0.151	0.718	0.058	0.042	0.202	-0.005
51.75	13.25	0.217	0.154	0.716	0.060	0.043	0.204	-0.005
51.75	15.25	0.202	0.159	0.730	0.055	0.044	0.200	-0.004
51.75	17.25	0.209	0.169	0.716	0.058	0.047	0.201	-0.004
51.75	19.25	0.202	0.152	0.700	0.058	0.043	0.198	-0.004